



ใบรับรองวิทยานิพนธ์

บัณฑิตวิทยาลัย สถาบันเทคโนโลยีพระจอมเกล้าพระนครเหนือ

เรื่อง การบำบัดน้ำเสียจากโรงงานหมึกพิมพ์โดยกระบวนการไอโซเนชัน ร่วมกับการลอยตะกอน
ด้วยหลักการละลายของอากาศ

โดย นางสาวอรชุดา ขันดีกุล

ได้รับอนุมัติให้นับเป็นส่วนหนึ่งของการศึกษาตามหลักสูตร
วิศวกรรมศาสตรมหาบัณฑิต สาขาวิชาวิศวกรรมเคมี

คณบดีบัณฑิตวิทยาลัย
(อาจารย์ ดร.มงคล วงศิตยวงศ์)

13 ตุลาคม 2549

คณะกรรมการสอบวิทยานิพนธ์

(ผู้ช่วยศาสตราจารย์ ดร.อนุรักษ์ ปีดิรักษ์สกุล) ประธานกรรมการ

(ผู้ช่วยศาสตราจารย์ ดร.จันทรพร ผลกรกุล) กรรมการ

(ดร.จินดารัตน์ พิมพ์สมาน) กรรมการ

การบันดัชน์เสียจากโรงงานหมึกพิมพ์โดยกระบวนการโอลูซิเนชันร่วมกับการลอกยวดก่อน
ด้วยหลักการละลายของอากาศ

นางสาวอรุณรดา ขันตีกุล

วิทยานิพนธ์นี้เป็นส่วนหนึ่งของการศึกษาตามหลักสูตร
วิศวกรรมศาสตรมหาบัณฑิต
สาขาวิศวกรรมเคมี ภาควิชาเคมี
บัณฑิตวิทยาลัย สถาบันเทคโนโลยีพระจอมเกล้าพระนครเหนือ
ปีการศึกษา 2549
ISBN 974-19-0862-8
ลิขสิทธิ์ของสถาบันเทคโนโลยีพระจอมเกล้าพระนครเหนือ

ชื่อ : นางสาวอรุณดา ขันติกุล
 ชื่อวิทยานิพนธ์ : การนำตัวน้ำเสียจากโรงงานหมึกพิมพ์โดยกระบวนการไอโซเนชันร่วมกับการลอกด้วยหลักการละลายของอากาศ
 สาขาวิชา : วิศวกรรมเคมี
 สถาบันเทคโนโลยีพระจอมเกล้าพระนครเหนือ
 ที่ปรึกษาวิทยานิพนธ์ : ผู้ช่วยศาสตราจารย์ ดร.อนุรักษ์ ปีติรักษ์สกุล
 ปีการศึกษา : 2549

บทคัดย่อ

ในงานวิจัยนี้ได้ศึกษาการหาสภาวะที่เหมาะสมในการกำจัดสี และการกำจัดความชุ่นของน้ำเสียจากโรงงานหมึกพิมพ์ ด้วยกระบวนการไอโซเนชันร่วมกับการลอกด้วยหลักการละลายของอากาศ โดยใช้วิธีการออกแบบส่วนประสมกลาง ซึ่งดูแปรที่คาดว่ามีผลต่อการลดลงของสีของน้ำเสีย คือ ภาระอินทรีย์ ค่าพีเอช และเวลาที่ใช้ในการไอโซเนชัน โดยภาระอินทรีย์ของน้ำเสียที่ใช้ในการทดลอง อยู่ระหว่าง 650-1,950 มิลลิกรัม/ลิตร ค่าพีเอชอยู่ระหว่าง 3-11 และเวลาที่ใช้ในการไอโซเนชัน อยู่ระหว่าง 10-60 นาที และดูแปรที่คาดว่ามีผลต่อประสิทธิภาพในการกำจัดความชุ่น คือ อัตราส่วนวีอาร์ (ปริมาตรน้ำจากถังความดัน/ปริมาตรสารแขวนลอย) ค่าพีเอชและเวลาในการไอโซเนชัน โดยอัตราส่วนวีอาร์ อยู่ระหว่าง 0.05-0.3 พีเอช อยู่ระหว่าง 3-11 และเวลาในการไอโซเนชัน อยู่ระหว่าง 25-60 นาที ซึ่งทำการทดลองที่อัตราการไหลของอากาศผ่านเครื่องผลิตไอโซนคิงที่เท่ากับ 700 มิลลิลิตร/นาที และปริมาณของไอโซนที่ผลิตจากเครื่องผลิตไอโซน เท่ากับ 26.2 มิลลิกรัม/ชั่วโมง ผลที่ได้จากการวิเคราะห์ทางสถิติ คือ ประสิทธิภาพในการกำจัดสีเพิ่มขึ้นเมื่อเพิ่มค่าพีเอช และเวลาที่ใช้ในการไอโซเนชัน แต่ประสิทธิภาพในการกำจัดสีลดลงเมื่อเพิ่มภาระอินทรีย์ของน้ำเสีย และประสิทธิภาพในการกำจัดความชุ่นเพิ่มขึ้นเมื่อเพิ่มอัตราส่วนวีอาร์ ค่าพีเอชและเวลาในการไอโซเนชัน นอกจากนั้นผลการวิเคราะห์ทางสถิติพบว่า สภาวะที่เหมาะสมที่ทำให้ประสิทธิภาพในการกำจัดสี เท่ากับ 100 % คือ ภาระอินทรีย์ 650 มิลลิกรัม/ลิตร ค่าพีเอช 8.7 และเวลา 20 นาที ผลการทดลองเพื่อยืนยันผลที่สภาวะดังกล่าว พบว่า ประสิทธิภาพในการกำจัดสี มีความแตกต่างน้อยกว่า 1.5 % และสภาวะที่เหมาะสมที่ทำให้ประสิทธิภาพในการกำจัดความชุ่นเท่ากับ 68 % คือ อัตราส่วนวีอาร์ 0.3 ค่าพีเอช 7.3 และเวลา 60 นาที ผลการทดลองเพื่อยืนยันผลที่สภาวะดังกล่าว พบว่าประสิทธิภาพในการกำจัดความชุ่นมีความแตกต่าง 0.64 %

(วิทยานิพนธ์มีจำนวนทั้งสิ้น 113 หน้า)

คำสำคัญ : ไอโซเนชัน, การลอกด้วยหลักการละลายของอากาศ, การกำจัดสี,
 การกำจัดความชุ่น, การออกแบบส่วนประสมกลาง

อาจารย์ที่ปรึกษาวิทยานิพนธ์

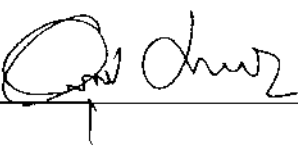
Name : Miss Ornchuda Khunteegul
Thesis Title : Ink Wastewater Treatment by Ozonation Combined with Dissolved Air Flotation (DAF) Processes
Major Field : Chemical Engineering
King Mongkut's Institute of Technology North Bangkok
Thesis Advisor : Assistant Professor Dr.Anurak Petiraksakul
Academic Year : 2006

Abstract

The objective of this research is to study on the optimum condition of the color and turbidity removal of ink wastewater by ozonation combined with DAF. Central composite design was applied with three independent variables which effect on color removal namely, organic loading, pH and reaction time in the ranges of 650-1,950 mg/l, 3-11 and 10-60 min., respectively. Three independent variables which effect on turbidity removal namely, volume ratio (VR), defined as the ratio of pressurized water volume and influent volume, pH and reaction time were in the ranges of 0.05-0.3, 3-11 and 25-60 min., respectively. Constant air flow rate of 700 cm³/min and ozone dose of 26.2 mg/h are generated from an ozone generator. Statistic analysis indicated that the decoloration efficiencies were increased with increasing pH and the reaction time while the efficiencies were decreased with increasing the organic loading. Turbidity removal efficiencies were increased with increasing VR, pH and reaction time. Statistic analysis also indicated that the optimum decoloration process condition was organic loading of 650 mg/l, pH of 8.7 and treatment time of 20 min. Verification results at this condition gave an error less than 1.5 %. The optimum turbidity removal process condition was VR of 0.3, pH of 7.3 and treatment time of 60 min. Verification results at this condition also gave an error less than 0.64 %.

(Total 113 pages)

Keywords : Ozonation, DAF, decoloration, turbidity removal, Central composite design



Advisor

กิตติกรรมประกาศ

วิทยานิพนธ์ฉบับนี้สำเร็จลุล่วงตามวัตถุประสงค์ไปได้ด้วยความช่วยเหลืออย่างตึงใจของ
ผู้ช่วยศาสตราจารย์ ดร.อนุรักษ์ ปิติรักษ์สกุล ซึ่งเป็นอาจารย์ที่ปรึกษาวิทยานิพนธ์ที่ช่วยแก้ไข
วิทยานิพนธ์ให้คำแนะนำ และข้อคิดเห็นต่างๆ ของการวิจัย อันเป็นประโยชน์ของการวิจัยครั้งนี้
มาโดยตลอด

การวิจัยนี้ได้รับทุนอุดหนุนบางส่วนจากทุนอุดหนุนการวิจัย เพื่อทำวิทยานิพนธ์สำหรับ
นักศึกษาระดับบัณฑิตศึกษา บัณฑิตวิทยาลัย สถาบันเทคโนโลยีพระจอมเกล้าพระนครเหนือ
ขอขอบพระคุณ บริษัทอินเตอร์อิง จำกัด ที่ให้ความอนุเคราะห์มีกีฬาฟลีกโซ่ เพื่อใช้ในการ
ทำการวิจัย

ขอขอบคุณ เจ้าหน้าที่ธุรการ และเจ้าหน้าที่ห้องปฏิบัติการ ภาควิชาศึกษาครุภัณฑ์
คณะวิศวกรรมศาสตร์ สถาบันเทคโนโลยีพระจอมเกล้าพระนครเหนือ

ท้ายนี้ผู้วิจัยได้ขอกราบขอบพระคุณบิดา มารดา ที่ให้กำลังใจ และให้ความสนับสนุน
ในด้านทุนการศึกษามาโดยตลอด หากวิทยานิพนธ์ฉบับนี้ก่อให้เกิดประโยชน์แก่ท่านผู้ใด ผู้วิจัย
ขอขอบความดีทั้งปวงให้แก่บิดา มารดา และคณาจารย์ทุกท่าน ที่ได้ช่วยส่งเสริมให้ผู้วิจัย
มีความรู้ ความสามารถ จนสำเร็จการศึกษา

อรชุดา ขันตีกุล

สารบัญ

	หน้า
บทคัดย่อภาษาไทย	๙
บทคัดย่อภาษาอังกฤษ	๑
กิตติกรรมประกาศ	๑
สารบัญตาราง	๒
สารบัญภาพ	๓
บทที่ ๑ บทนำ	๑
1.๑ ความเป็นมาและความสำคัญของปัจจุหา	๑
1.๒ วัตถุประสงค์ของงานวิจัย	๓
1.๓ ขอบเขตของการวิจัย	๓
1.๔ ประโยชน์ที่ได้รับจากการวิจัย	๔
บทที่ ๒ ทดลอง	๕
2.๑ น้ำเสียและการกำจัดน้ำเสีย	๕
2.๒ กระบวนการบำบัดน้ำเสีย	๕
2.๓ ขั้นตอนการบำบัดน้ำเสีย	๖
2.๔ ลักษณะพื้นฐานของโอโซน	๗
2.๕ ความเป็นพิษของโอโซนต่อมนุษย์	๘
2.๖ การละลายของโอโซนในน้ำ (Solvability of Ozone in Water)	๘
2.๗ การเกิดโอโซน	๑๐
2.๘ การเกิดปฏิกิริยาของโอโซนกับสารอินทรีย์	๑๒
2.๙ การบำบัดน้ำเสียด้วยโอโซน	๑๗
2.๑๐ การหาสภาวะที่เหมาะสมของกระบวนการ	๒๐
2.๑๑ การลองตะกอน	๒๘
2.๑๒ เสียงรบกวนของคลื่นเสียง	๓๙
2.๑๓ งานวิจัยที่เกี่ยวข้อง	๔๖
บทที่ ๓ วิธีดำเนินงานวิจัย	๕๑
3.๑ รูปแบบการวิจัย	๕๑
3.๒ อุปกรณ์ที่ใช้ในการทดลอง	๕๑
3.๓ สารเคมีที่ใช้ในการทดลอง	๕๕
3.๔ เก็บตัวอย่างน้ำเสียและวิเคราะห์คุณภาพของน้ำเสีย	๕๖
3.๕ วิธีการทดลอง	๕๘

สารบัญ (ต่อ)

	หน้า
บทที่ 4 ผลและวิจารณ์การทดลอง	67
4.1 ปริมาณของโอโซนที่ผลิตได้จากเครื่องผลิตโอโซน	67
4.2 คุณภาพน้ำเสีย	67
4.3 การวิเคราะห์หาพื้นผิวผลตอบ	67
4.4 การทดสอบภาวะที่เหมาะสม	82
4.5 ผลของค่าพีอีซต่อประสิทธิภาพในการกำจัดสีและกำจัดความชื้น	86
4.6 ผลของพีอีซต่อค่าศักย์ชีด้า	88
4.7 ผลของภาวะสารอินทรีย์ต่อประสิทธิภาพในการกำจัดสี	89
4.8 ผลของอัตราส่วนวีอาร์ต่อประสิทธิภาพในการกำจัดความชื้น	90
บทที่ 5 สรุปผลการทดลองและข้อเสนอแนะ	91
5.1 สรุปผลการทดลอง	91
5.2 ข้อเสนอแนะ	92
บรรณานุกรม	93
ภาคผนวก ก	97
การหาค่าพารามิเตอร์ด่างๆ	98
ภาคผนวก ข	105
ผลการทดลอง	106
ประวัติผู้วิจัย	113

สารบัญตาราง

ตารางที่	หน้า
2-1 การเปรียบเทียบความสามารถในการออกซิไดซ์ของสารออกซิแทนท์ต่างๆ	7
2-2 การละลายของไอโซนและออกซิเจนในน้ำตามกฎของเอนรี	9
2-3 ชนิดของสารที่เป็นตัวเริ่ม (Initiator), ตัวกระตุ้น (Promotor) และตัวยับยั้ง (Scavenger) สำหรับการสลายตัวของไอโซนในน้ำ	16
2-4 การเปรียบเทียบค่าความเป็นกรดด่างเมื่อใช้ไอโซนร่วมกับบูนขาวในการดักตะกอนโลหะหนัก	20
2-5 การออกแบบส่วนประสมกลาง	22
3-1 ความสัมพันธ์ระหว่างค่าจริงและค่าเข้ารหัสของตัวแปรอิสระแต่ละตัว	59
3-2 การออกแบบส่วนประสมกลางในการทดลองส่วนที่ 1 สำหรับตัวแปรอิสระ 3 ตัว	60
3-3 ความสัมพันธ์ระหว่างค่าจริงและค่าเข้ารหัสของตัวแปรอิสระแต่ละตัว	62
3-4 การออกแบบส่วนประสมกลางในการทดลองส่วนที่ 2 สำหรับตัวแปรอิสระ 3 ตัว	62
4-1 ผลการวิเคราะห์ทางสถิติของประสิทธิภาพในการกำจัดสีโดยมีระดับนัยสำคัญที่ 0.05	68
4-2 การเปรียบเทียบค่าผลตอบที่ได้จากการทดลองและการคำนายนของแบบจำลอง การลดด้อยของประสิทธิภาพในการกำจัดสี	71
4-3 ผลการวิเคราะห์ทางสถิติของประสิทธิภาพการกำจัดความชุ่นโดยมีระดับนัยสำคัญที่ 0.05	75
4-4 การเปรียบเทียบค่าผลตอบที่ได้จากการทดลองและการคำนายนของแบบจำลอง การลดด้อยของประสิทธิภาพในการกำจัดความชุ่น	78
4-5 ผลการวิเคราะห์ทางสถิติของค่าศักย์ชีด้า	79
4-6 การเปรียบเทียบค่าผลตอบที่ได้จากการทดลองและการคำนายนของแบบจำลอง การลดด้อยของค่าศักย์ชีด้า	82
4-7 สภาวะที่เหมาะสมของกระบวนการไอโซเนชันร่วมกับการลดด้อยตะกอน	83
4-8 การเปรียบเทียบค่าผลตอบจาก การวิเคราะห์ทางสถิติและผลการทดลอง	83
4-9 สภาวะที่เหมาะสมตามแบบจำลองที่ค่าพีอีช เท่ากับ 7.3	86
ข-1 ผลการวิเคราะห์คุณภาพน้ำเสีย	106
ข-2 ประสิทธิภาพในการกำจัดสีที่เวลาในการไอโซเนชันต่างๆ ที่ซีไอดี เท่ากับ 1,940 มิลลิกรัม/ลิตร และพีอีช เท่ากับ 4.3	107
ข-3 ผลของประสิทธิภาพการกำจัดสีที่สภาวะต่างๆ	108

สารบัญตาราง (ต่อ)

ตารางที่	หน้า
ข-4 ประสิทธิภาพในการกำจัดสีและความชุ่นที่เวลาในการโอโซเนชั่นต่างๆ ที่ซีโอดี เท่ากับ 1,960 มิลลิกรัม/ลิตร ความชุ่นเริ่มต้น เท่ากับ 22 N.T.U. พีเอช เท่ากับ 4.2 ทดลองที่อัตราส่วนวีอาร์ เท่ากับ 25%	109
ข-5 ประสิทธิภาพในการกำจัดความชุ่นที่อัตราส่วนวีอาร์ต่างๆ ที่ซีโอดี เท่ากับ 1,960 มิลลิกรัม/ลิตร ความชุ่นเริ่มต้น เท่ากับ 22 N.T.U. พีเอช เท่ากับ 4.2เวลา ในการโอโซเนชั่น เท่ากับ 60 นาที	110
ข-6 ประสิทธิภาพในการกำจัดความชุ่นหลังโดยตะกอนที่อัตราส่วนวีอาร์ต่างๆ ที่ซีโอดีเท่ากับ 1,310 ความชุ่นเริ่มต้น เท่ากับ 11.6 เอ็นทียู พีเอช เท่ากับ 4.1 เวลาในการโอโซเนชั่น เท่ากับ 30 นาที	110
ข-7 ผลของประสิทธิภาพในการกำจัดความชุ่นและประสิทธิภาพชุดอุปกรณ์โดย ตะกอนที่สภาวะต่างๆ ที่ซีโอดี เท่ากับ 1,960 มิลลิกรัม/ลิตร ความชุ่นเริ่มต้น เท่ากับ 22 N.T.U. พีเอชเริ่มต้น เท่ากับ 4.2	111
ข-8 ผลของศักย์ซีด้าที่สภาวะต่างๆ ที่ซีโอดี เท่ากับ 1,960 มิลลิกรัม/ลิตร พีเอช เริ่มต้นเท่ากับ 4.2 ศักย์ซีด้าเริ่มต้น เท่ากับ 7.8 มิลลิโวลล์	112

สารบัญภาพ

ภาพที่	หน้า
1-1 โครงสร้างของสีอะโซ่ ชนิดดิสเพรสบลู	3
2-1 การละลายของไอโอดินในน้ำ	9
2-2 การผลิตไอโอดินแบบวิธีอัลตราไวโอลेट	10
2-3 รูปแบบเครื่องผลิตไอโอดินแบบวิธีโคโรนาดิสชาร์จ	11
2-4 กลไกการเกิดปฏิกิริยาของกระบวนการไอโอดินซึ่งทั้งทางตรงและทางอ้อม S = Scavenger , R = Reaction product , M = Micropollutant	13
2-5 กราฟเส้นโครงร่างของพื้นผิวผลตอบ	21
2-6 การออกแบบส่วนประสมกลาง สำหรับ $k = 3$	22
2-7 ตัวอย่างกราฟความนำจะเป็นของส่วนดักค้างของแบบจำลองที่ได้	26
2-8 ระบบลอยดะกอนด้วยหลักการละลายของอากาศ	30
2-9 ระบบอัดอากาศแบบฟูลสดรีม	30
2-10 ระบบอัดอากาศแบบสปริงสดรีม	31
2-11 ระบบอัดอากาศแบบบีไซค์เคิลสดรีม	32
2-12 ระบบลอยดะกอนแบบสีนาโนเดอร์	32
2-13 ระบบลอยดะกอนแบบดิสเพร็สแวร์	33
2-14 ระบบลอยดะกอนแบบฟรอห์	34
2-15 ระบบลอยดะกอนแบบอิเล็กโทรไลทิก	34
2-16 ระบบลอยดะกอนแบบสุญญาการ	35
2-17 การยึดติดของฟองอากาศบนตะกอนแนวลอย	37
2-18 การจัดเรียงทางกายภาพของฟองอากาศ	38
2-19 การดูดซับของฟองก๊าซขณะที่เกิดตะกอน	38
2-20 ความสัมพันธ์ระหว่างพลังงานศักย์และระหง่านระหว่างอนุภาค	41
2-21 ประจุบนผิวที่เกิดจากการแตกตัวของหมู่กรด	42
2-22 ประจุบนผิวที่เกิดจากการแตกตัวของหมู่เบส	42
2-23 ประจุบนผิวที่เกิดจากการแตกตัวของไอออนสาร	43
2-24 ประจุบนผิวที่เกิดจากการดูดซับไอออนของสารลดแรงดึงผิวนิดบวก	43
2-25 ประจุบนผิวที่เกิดจากการดูดซับไอออนของสารลดแรงดึงผิวนิดลบ	43
2-26 แรงสเตอร์ริก	44
2-27 ชั้นของประจุที่ล้อมรอบอนุภาค (Electrical Double Layer)	45
2-28 ความสัมพันธ์ระหว่างค่าศักย์ซึ่งตัวและพีเอช	46

สารบัญภาพ (ต่อ)

ภาพที่	หน้า
3-1 ระบบบำบัดด้วยโอโซนที่ใช้ในงานวิจัย	52
3-2 ระบบบำบัดด้วยโอโซนร่วมกับการลอยตะกอนด้วยหลักการละลายของอากาศ ที่ใช้ในงานวิจัย	52
3-3 แผนผังระบบบำบัดด้วยโอโซน	54
3-4 แผนผังระบบบำบัดด้วยโอโซนร่วมกับการลอยตะกอนด้วยหลักการละลาย ของอากาศ	54
3-5 แผนผังระบบบำบัดขั้นต้นของโรงงานอินเดอร์อิง	57
4-1 ประสิทธิภาพในการกำจัดสีที่เวลาในการโอโซเนชันต่างๆ ที่ซีโอดี เท่ากับ 1,940 มิลลิกรัม/ลิตร และพีเอช เท่ากับ 4.3	68
4-2 กราฟความนำจะเป็นปกติของส่วนตกลงของแบบจำลองของประสิทธิภาพ ในการกำจัดสี	70
4-3 กราฟความสัมพันธ์ระหว่างความชุ่มกับเวลาในการโอโซเนชัน ที่ซีโอดี เท่ากับ 1,960 มิลลิกรัม/ลิตร ความชุ่ม เท่ากับ 22 เอ็นทีyu พีเอช เท่ากับ 4.2 ทดลองที่ อัตราส่วนวีอาร์ เท่ากับ 25 เปอร์เซ็นต์	72
4-4 กราฟความสัมพันธ์ระหว่างค่าพีเอชและความเข้มข้นของเพอร์คิโอลอน	73
4-5 ประสิทธิภาพในการกำจัดสีและความชุ่มที่เวลาในการโอโซเนชันต่างๆ ที่ซีโอดี เท่ากับ 1,960 มิลลิกรัม/ลิตร ความชุ่ม เท่ากับ 22 เอ็นทีyu พีเอช เท่ากับ 4.2 ทดลองที่อัตราส่วนวีอาร์ เท่ากับ 25 เปอร์เซ็นต์	73
4-6 ประสิทธิภาพในการกำจัดความชุ่มที่อัตราส่วนวีอาร์ต่างๆ ที่ซีโอดีเท่ากับ 1,960 มิลลิกรัม/ลิตร ความชุ่มเริ่มต้น เท่ากับ 22 เอ็นทีyu พีเอชเท่ากับ 4.2 ทดลองที่เวลา ในการโอโซเนชัน เท่ากับ 60 นาที	74
4-7 กราฟความสัมพันธ์ระหว่างความชุ่มกับอัตราส่วนวีอาร์ ที่ซีโอดีเริ่มต้น เท่ากับ 1,305 มิลลิกรัม/ลิตร ความชุ่มเริ่มต้น เท่ากับ 11.6 เอ็นทีyu พีเอช เท่ากับ 4.1 ทดลองที่เวลาในการโอโซเนชัน เท่ากับ 30 นาที	74
4-8 กราฟความนำจะเป็นปกติของส่วนตกลงของแบบจำลองของประสิทธิภาพ ในการกำจัดความชุ่ม	78
4-9 กราฟความนำจะเป็นปกติของส่วนตกลงของแบบจำลองของศักย์ซีต้า	81
4-10 กราฟความสัมพันธ์ระหว่างพีเอชและเวลาในการโอโซเนชัน ที่ภาวะสารอินทรีย์ คงที่ที่ 1,965 มิลลิกรัม/ลิตร ที่ประสิทธิภาพในการกำจัดสีต่างๆ	84

สารบัญภาพ (ต่อ)

ภาพที่	หน้า
4-11 กราฟความสัมพันธ์ระหว่างพีเอชและเวลาในการโอโซเนชัน ที่ภาระสารอินทรีย์คงที่ที่ 1,490 มิลลิกรัม/ลิตร ที่ประสิทธิภาพในการกำจัดสีต่างๆ	85
4-12 กราฟความสัมพันธ์ระหว่างพีเอชและเวลาในการโอโซเนชัน ที่ภาระสารอินทรีย์คงที่ที่ 1,015 มิลลิกรัม/ลิตร ที่ประสิทธิภาพในการกำจัดสีต่างๆ	85
4-13 กราฟความสัมพันธ์ระหว่างพีเอชและเวลาในการโอโซเนชัน ที่ภาระสารอินทรีย์คงที่ที่ 650 มิลลิกรัม/ลิตร ที่ประสิทธิภาพในการกำจัดสีต่างๆ	87
4-14 กราฟความสัมพันธ์ระหว่างพีเอชและเวลาในการโอโซเนชัน ที่อัตราส่วนวีอาร์คงที่ที่ 30 เปอร์เซ็นต์ ภาระสารอินทรีย์ เท่ากับ 1,960 มิลลิกรัม/ลิตร ที่ประสิทธิภาพในการกำจัดความชุ่นต่างๆ	88
4-15 กราฟความสัมพันธ์ระหว่างพีเอชและเวลาในการโอโซเนชัน ที่ภาระสารอินทรีย์เท่ากับ 1,960 มิลลิกรัม/ลิตร ที่ศักย์ศักดิ์ต่างๆ	88
4-16 กราฟความสัมพันธ์ระหว่างพีเอชและเวลาในการโอโซเนชัน ที่พีเอชคงที่ที่ 8.7 ที่ประสิทธิภาพในการกำจัดสีต่างๆ	89
4-17 กราฟความสัมพันธ์ระหว่างอัตราส่วนวีอาร์และเวลาในการโอโซเนชัน ภาระสารอินทรีย์ เท่ากับ 1,960 มิลลิกรัม/ลิตร พีเอช เท่ากับ 7.3 ที่ประสิทธิภาพในการกำจัดความชุ่นต่างๆ	90
ก-1 กราฟมาตรฐานระหว่างความเข้มข้นของสารโพแทสเซียมเปอร์แมงกาเนตและค่าการดูดกลืนแสง	100
ก-2 กราฟแสดงค่าการดูดกลืนแสงของสารโพแทสเซียมเปอร์แมงกาเนต	101
ก-3 การทดลองหาปริมาณโอโซนที่ผลิตได้จากเครื่องผลิตโอโซน	103

บทที่ 1

บทนำ

1.1 ความเป็นมาและความสำคัญของปัจจุบัน

คุณภาพน้ำทึ้งจากโรงงานอุตสาหกรรมที่ไม่ได้มาตรฐาน ก่อให้เกิดปัญหามลภาวะทางน้ำ ดังนั้นจึงมีความจำเป็นต้องมีการบำบัดน้ำเสียที่มีประสิทธิภาพ เพื่อปรับปรุงคุณภาพน้ำทึ้งก่อนปล่อยลงสู่แหล่งรับน้ำธรรมชาติ การบำบัดน้ำเสียของโรงงานอุตสาหกรรมส่วนใหญ่นิยมใช้ระบบตะกอนเร่ง (Activated sludge) ซึ่งเป็นวิธีการบำบัดทางชีววิทยา (Biological Treatment) โดยอาศัยกระบวนการย่อยสลายสารอินทรีย์ของจุลินทรีย์ (Microorganism) ซึ่งได้ผลิตภัณฑ์ที่ไม่เป็นพิษต่อธรรมชาติและสิ่งแวดล้อม แต่น้ำเสียจากโรงงานอุตสาหกรรมบางประเภท มีปริมาณสารอินทรีย์ค่อนข้างสูงและเป็นสารอินทรีย์ที่มีโครงสร้างซับซ้อน (Complex Organic) จุลินทรีย์อาจต้องใช้เวลาในการย่อยสลายที่นานขึ้น ทำให้การบำบัดทางชีววิทยาโดยตรงเพียงอย่างเดียวมีประสิทธิภาพต่ำ วิธีการหนึ่งที่นาสนใจคือ วิธีการทำปฏิกิริยาออกซิเดชัน (Chemical Oxidation) กับสารอินทรีย์ ซึ่งตัวออกซิไดซ์ (Oxidizing Agent) ที่นิยมใช้ได้แก่ คลอรีน คลอริน ไดออกไซด์ โอโซน ไฮโดรเจนperอ๊อกไซด์ โพแทสเซียมperมังกานेट และการฉายรังสี อุลดรรไวน์โอลे�ต ซึ่งสามารถออกซิไดซ์สารประกอบที่ยากต่อการย่อยสลายได้ [1] แต่การเกิดปฏิกิริยาระหว่างคลอรีนกับสารอินทรีย์ ที่มีอยู่ในน้ำเสียจะเกิดสารเคมีที่อันตรายอีกทั้งคลอรีน เป็นสารที่สลายตัวในช่วงเวลาปานกลางทำให้เป็นอันตรายต่อสิ่งมีชีวิตที่อาศัยอยู่ในน้ำ ดังนั้น การใช้โอโซนซึ่งสลายตัวได้เร็วกว่าคลอรีนจึงได้รับความสนใจอย่างมาก ทั้งนี้เนื่องจากโอโซน เป็นสารออกซิไดซ์ที่รุนแรง (Strong Oxidizing Agent) และไม่เกิดสารอันตรายตกค้างเนื่องจากโอโซนสามารถเปลี่ยนรูปไปเป็นออกซิเจนได้ง่าย นอกจากนั้นโอโซนยังสามารถกำจัดสาร กลิ่น และรสของน้ำเสียได้เป็นอย่างดี [2]

น้ำทึ้งที่คุณภาพไม่ได้มาตรฐานจากโรงงานมีกัมพิมพ์ เป็นสาเหตุสำคัญที่ก่อให้เกิดปัญหา ต่อสภาวะแวดล้อมทางน้ำ ดังนั้นงานวิจัยนี้จึงได้ศึกษาการปรับปรุงระบบบำบัดขั้นต้น (Primary Treatment) เพื่อบำบัดน้ำเสียของโรงงานอินเตอร์วิ้ง จำกัด เชิงเทรา ซึ่งน้ำเสียส่วนใหญ่นั้นเกิดจากขั้นตอนการล้างภาชนะที่ใช้ในกระบวนการ ปัจจุบันสำคัญของการบำบัดน้ำเสียจากโรงงาน มีกัมพิมพ์ คือสีและความชุ่ม ที่เกิดจากหมึกฐานน้ำหรือหมึกเฟลิกโซ (Flexo) หมึกนี้ประกอบไปด้วยเม็ดสี ชนิดอะโซ (Azo Dye) ซึ่งเป็นสารอินทรีย์ที่มีโครงสร้างซับซ้อน ประกอบไปด้วยหมู่อะโซ (N=N) ดังแต่หนึ่งถึงสามหมู่ เชื่อมต่อด้วย ฟีนิวเรดิคอล (Phenyl Radical) และเนฟทิวเรดิคอล (Naphthyl Radical) ซึ่งถูกแทนที่ด้วยหมู่พังก์ชัน (Functional Groups) เช่น อะมิโน

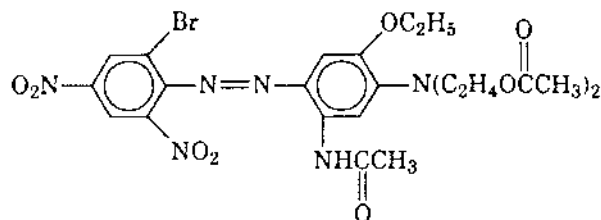
(Amino, -NH₂) คลอโร (Chloro, -Cl) ไฮดรอฟิล (Hydroxyl, -OH) เมทิล (-CH₃) ในไตร (nitro, -NO₂) และกราตซ์โลฟนิคเกลือโซเดียม (sulfonic acid sodium salt, -SO₃Na) [3] ซึ่งสีเหล่านี้หากปล่อยลงสู่แหล่งน้ำ อาจก่อให้เกิดอันตรายต่อสิ่งมีชีวิตและอนุภาคของสิ่งที่ไปขัดขวางการกระจายของแสงในน้ำ ทำให้พืชไม่สามารถสังเคราะห์แสงได้ ส่งผลให้เกิดความเสียหายต่อระบบนิเวศน์ตามมา [4]

การนำน้ำเสียจากโรงงานหมักพิมพ์ มักจะใช้หล่ายวิธีรวมกันทั้งทางด้านชีววิทยา ทางกายภาพ และทางเคมี โดยทั่วไปมักจะนำน้ำเสียโดยใช้วิธีการถูกตะกอนทางเคมีและกระบวนการกำจัดทางกายภาพ เพื่อกำจัดสีซึ่งเป็นส่วนที่กำจัดยากที่สุดแล้วตามด้วยกระบวนการกำจัดทางชีววิทยาเพื่อกำจัดสารอินทรีย์ที่ยังเหลืออยู่ หรืออาจใช้เพียงวิธีการไดวิธีการหนึ่งในการกำจัดซึ่งน้ำเสียกับคุณสมบัติของน้ำเสีย แต่อย่างไรก็ตามระบบบำบัดที่เลือกใช้จะต้องสามารถบำบัดสีและความ浑浊ในน้ำเสียได้เป็นอย่างดี การนำกระบวนการไอโอดีนเข้ามาระบุกที่ใช้ร่วมกับการลอยตะกอนด้วยหลักการละลายของอากาศ เพื่อบำบัดน้ำเสียจากโรงงานหมักพิมพ์ เป็นอีกทางเลือกหนึ่ง เนื่องจากไอโอดีนเป็นก๊าซที่มีความสามารถในการออกซิไดซ์สูงและเกิดปฏิกิริยาได้อย่างรวดเร็ว โดยไอโอดีนจะเข้าไปออกซิไดซ์โครโนฟอร์ (Chromophores) ซึ่งเป็นส่วนของเมล็ดของสารอินทรีย์ที่เชื่อมต่อกันด้วยพันธะคู่ ซึ่งดูดซับแสงที่สามารถมองเห็นได้โดยโครโนฟอร์ของสีอะโซ่ ได้แก่ พันธะคู่ของไนโตรเจน (N=N) พันธะคู่ของคาร์บอน (C=C) พันธะคู่ของคาร์บอนในไตรเจน (C=N) วงอะโรเมติก (Aromatic Ring) วงเขตเทอร์ไซคลิก (Heterocyclic Ring) ที่ประกอบไปด้วยออกซิเจน ในไตรเจน และชัลเฟอร์ [3] โดยไอโอดีนจะไปแตกพันธะทั้งทางตรงและทางอ้อม ทำให้ได้เมล็ดที่มีขนาดเล็กลงซึ่งไม่ดูดซับแสงที่สามารถมองเห็นได้เป็นสาเหตุให้สีของน้ำเสียลดลง [2]

กระบวนการไอโอดีนเป็นวิธีการที่สามารถกำจัดสีของน้ำเสียได้สูงถึง 87-99 เปอร์เซ็นต์ [5] นอกจากรักษาอนุภาคคลอลลอยด์ (Colloids) ที่แขวนลอยอยู่ในน้ำเสียเป็นสาเหตุทำให้เกิดความ浑浊 (Turbidity) ไอโอดีนสามารถทำลายเส้นใยรากพืชของคลอลลอยด์ทำให้เกิดการรวมตัวกันเป็นตะกอน [6] ซึ่งตะกอนสามารถถูกกำจัดออกไปโดยการลอยตะกอนด้วยหลักการละลายของอากาศ เป็นการเพิ่มประสิทธิภาพในการบำบัดน้ำเสียให้ดียิ่งขึ้น

ในงานวิจัยนี้ได้ศึกษาหาสภาวะที่เหมาะสม ในการกำจัดสีและความ浑浊ของน้ำเสียสังเคราะห์ ซึ่งได้รับจากสีอะโซ่ ชนิดดิสเพรสบลู (Disperse Blue) ด้วยกระบวนการไอโอดีนร่วมกับการลอยตะกอนด้วยหลักการละลายของอากาศ และหาสภาวะที่เหมาะสมในการทำลายเส้นใยรากพืชของอนุภาคคลอลลอยด์ โดยวิธีการออกแบบส่วนประสมกลาง ซึ่งโดยทั่วไปกระบวนการในการหาสภาวะที่เหมาะสมจะแบ่งเป็น 3 ขั้นตอนคือ ก) การออกแบบการทดลองเชิงสถิติ (Statistical Design Of Experiment) เป็นกระบวนการในการวางแผนการทดลองเพื่อจะได้มาซึ่งข้อมูลที่เหมาะสมที่สามารถนำไปใช้ในการวิเคราะห์ โดยวิธีการทางสถิติในงานวิจัยนี้จะใช้วิธีการพื้นผิวผลตอบ (Respond Surface Methodology) โดยที่ผลตอบที่สนใจขึ้นอยู่กับหลายตัวแปร

ในการออกแบบการทดลอง เพื่อศึกษาพื้นผิวผลตอบที่ใช้ในงานวิจัยนี้คือ การออกแบบ ส่วนประสมกลาง ซึ่งเป็นที่นิยมกันมากสำหรับการสร้างแบบจำลองอันดับที่สอง (Second-Order Response Surface Model) เนื่องจากมีการเพิ่มการทดลองในแนวแกน (Axial Run) ทำให้มีจำนวนการทดลองเพียงพอที่จะใช้ในการประมาณพารามิเตอร์ที่ไม่ทราบค่าในแบบจำลอง ข.) วิเคราะห์สัมประสิทธิ์ในแบบจำลองคณิตศาสตร์ ทำให้ทราบถึงความสัมพันธ์ระหว่างตัวแปร และผลตอบในแบบจำลองเพื่อเป็นแนวทางในการปรับปรุงผลตอบให้ดีขึ้น ค) ท่านายผลตอบจากแบบจำลองคณิตศาสตร์และตรวจสอบความถูกต้องของแบบจำลอง [7]



ภาพที่ 1-1 โครงสร้างของสีอะโกร ชนิดดิสเพสบลู [8]

1.2 วัสดุประสังค์ของงานวิจัย

1.2.1 ศึกษาประสิทธิภาพการกำจัดสีของน้ำเสียสังเคราะห์ โดยกระบวนการไอโซเนชัน ที่สภาวะต่างๆ

1.2.2 ศึกษาประสิทธิภาพการกำจัดความนำ่นของน้ำเสียสังเคราะห์ โดยกระบวนการ ไอโซเนชันร่วมกับการลอยตะกอนด้วยหลักการละลายของอากาศที่สภาวะต่างๆ

1.2.3 วิเคราะห์หาสภาวะที่เหมาะสมในการกำจัดสีของน้ำเสียสังเคราะห์ โดยกระบวนการ ไอโซเนชัน

1.2.4 วิเคราะห์หาสภาวะที่เหมาะสม ในการกำจัดความนำ่นของน้ำเสียสังเคราะห์โดย กระบวนการไอโซเนชันร่วมกับการลอยตะกอนด้วยหลักการละลายของอากาศ และหาสภาวะ ที่เหมาะสมในการทำลายเสียรภาพของอนุภาค colloidal

1.2.5 ศึกษาความสัมพันธ์ระหว่างตัวแปรและผลตอบจากแบบจำลองทางคณิตศาสตร์

1.3 ขอบเขตของการวิจัย

1.3.1 ออกแบบการทดลองเชิงสถิติเพื่อหาสภาวะที่เหมาะสมของการกำจัดสีของน้ำเสีย สังเคราะห์โดยกระบวนการไอโซเนชัน

1.3.2 ออกแบบการทดลองเชิงสถิติ เพื่อหาสภาวะสภาวะที่เหมาะสมในการก้าจัดความชุนของน้ำเสียสังเคราะห์ โดยกระบวนการโอลูโซนร่วมกับการloyaltyต่อกันด้วยหลักการละลายของอากาศ และหาสภาวะที่เหมาะสมในการทำลายเสบียงภาพของอนุภาค colloidal

1.3.3 ทำการเดรียมน้ำเสียสังเคราะห์โดยปรับค่าต่างๆ คือ ภาระสารอินทรีย์และค่าพีเอช

1.3.4 ทำการทดลองเพื่อศึกษาประสิทธิภาพการกำจัดสีของน้ำเสียสังเคราะห์ด้วยโอลูโซนที่สภาวะต่างๆ และวิเคราะห์หาสภาวะที่เหมาะสมในการกำจัดสี

1.3.5 ทำการทดลองเพื่อศึกษาประสิทธิภาพ การกำจัดความชุนของน้ำเสียสังเคราะห์ด้วยกระบวนการโอลูโซนร่วมกับการloyaltyต่อกันด้วยหลักการละลายของอากาศแบบง่ายและวิเคราะห์หาสภาวะที่เหมาะสมในการก้าจัดความชุนและการทำลายเสบียงภาพของอนุภาค colloidal

1.3.6 สร้างแบบจำลองทางคณิตศาสตร์ เพื่อใช้อธิบายความสัมพันธ์ระหว่างตัวแปรและผลตอบปันแบบจำลอง

1.4 ประโยชน์ที่ได้รับจากการวิจัย

1.4.1 ทราบถึงแนวทางในการบำบัดน้ำเสียของโรงงานหมึกพิมพ์ รวมทั้งประสิทธิภาพการบำบัดน้ำเสียของกระบวนการโอลูโซน ร่วมกับการloyaltyต่อกันด้วยหลักการละลายของอากาศ

1.4.2 สามารถนำไปประยุกต์ใช้กับระบบบำบัดน้ำเสียของโรงงานประเภทอื่นได้

บทที่ 2

ทฤษฎี

ในบทนี้จะกล่าวถึงทฤษฎีที่เกี่ยวข้องกับงานวิจัย ได้แก่ ความรู้เบื้องต้นของกระบวนการบำบัดน้ำเสีย ลักษณะพื้นฐานของโอลูชัน การผลิตโอลูชัน การเกิดปฏิกิริยาของโอลูชันกับสารอินทรีย์ การบำบัดน้ำเสียด้วยโอลูชัน การหาสภาวะที่เหมาะสมของกระบวนการ การออกแบบพื้นผิวดอน การวิเคราะห์ทางสถิติ การloyตะกอน และสิ่งแวดล้อมของคอลลอยด์ เป็นต้น

2.1 น้ำเสียและการกำจัดน้ำเสีย

น้ำเสีย หมายถึง น้ำที่มีสารใดๆ หรือสิ่งปฏิกูลที่ไม่พึงปรารถนาอยู่ การปนเปื้อนของสิ่งสกปรกเหล่านี้จะทำให้คุณสมบัติของน้ำเปลี่ยนแปลงไป จนอยู่ในสภาพที่ไม่สามารถนำกลับมาใช้ประโยชน์ได้ สิ่งปนเปื้อนที่อยู่ในน้ำเสีย ได้แก่ น้ำมัน ไขมัน ผงซักฟอก สมุนไพร ยาฆ่าแมลง สารอินทรีย์ที่ทำให้เกิดการเน่าเหม็นและเชื้อโรคต่างๆ [9]

การกำจัดน้ำเสีย คือ การแยกหรือทำลายสิ่งสกปรกต่างๆ ที่มีอยู่ในน้ำเสียให้มีปริมาณลดลงจนอยู่ในระดับที่จะไม่ก่อให้เกิดปัญหาน้ำเสียขึ้นในแหล่งรับน้ำทั้งนั้น [9]

2.2 กระบวนการบำบัดน้ำเสีย

กระบวนการบำบัดน้ำเสียมีอยู่ด้วยกันหลายกระบวนการ ซึ่งสามารถแบ่งออกได้เป็น 4 กระบวนการใหญ่ๆ ดังต่อไปนี้

2.2.1 กระบวนการทางกายภาพ (Physical Unit Operation) คือ วิธีการบำบัดน้ำเสียที่อาศัยแรงดึงด้วย เพื่อนำไปใช้ในการแยกของแข็งที่ไม่ละลายน้ำออกจากน้ำเสีย โดยมากจะเป็นขั้นตอนแรกของระบบบำบัดน้ำเสีย ได้แก่ การดักด้วยตะกรง (Screening) การดัดย่อย (Comminution) การกราด (Skimming) การดักตะกอน (Sedimentation) การแยกด้วยแรงเหวี่ยง (Centrifugation) การกรอง (Filtration) การกำจัดตะกอนหนัก (Grit Removal) เป็นต้น

2.2.2 กระบวนการทางเคมี (Chemical Unit Processes) คือ วิธีการบำบัดน้ำเสียที่อาศัยสารเคมีผสมกับน้ำเสียเพื่อให้เกิดปฏิกิริยาเคมี เพื่อแยกเคมีลามาร์ต่างๆ ออกจากน้ำเสีย ได้แก่ การดักตะกอน (Precipitation) การทำให้เป็นกลางหรือการสะเทิน (Neutralization) การฆ่าเชื้อโรค (Disinfection) เป็นต้น

2.2.3 กระบวนการทางชีวภาพ (Biological Unit Processes) คือ วิธีการบำบัดน้ำเสียที่อาศัยจุลชีพที่จะทำการย่อยสลายและเปลี่ยนสารอินทรีย์ต่างๆ ไปเป็นก๊าซโดยขึ้นสู่อากาศและจะได้จุลชีพเพิ่มจำนวนขึ้น ได้แก่ ระบบโปรดักเตอร์ (Trickling Filters) ระบบตะกอนแรงหรือระบบเคลอส (Activated Sludge) ระบบบำบัดแบบไร้อากาศ (Anaerobic Treatment) เป็นต้น

2.2.4 กระบวนการทางกายภาพ-เคมี (Physicochemical Unit Processes) คือ วิธีการบำบัดน้ำเสียที่อาศัยทั้งทางกายภาพและทางเคมีมาร่วมกัน จะใช้ในการกำจัดสารอินทรีย์และสารอินทรีย์ที่ละลายอยู่ในน้ำเสีย ได้แก่ การแลกเปลี่ยนประจุ (Ion Exchange) การดูดซับด้วยถ่าน (Carbon Adsorption) การแยกด้วยไฟฟ้าและเยื่อกรอง (Electrodialysis) เป็นต้น [9]

2.3 ขั้นตอนการบำบัดน้ำเสีย

ถ้าต้องการแบ่งออกในลักษณะเป็นขั้นตอนของการบำบัดน้ำเสีย ก็จะสามารถแยกออกเป็นขั้นตอนได้ดังนี้

2.3.1 ระบบบำบัดก่อนขั้นต้น (Preliminary Treatment) เป็นระบบที่อยู่ในขั้นแรกๆ ของระบบบำบัดน้ำเสีย ได้แก่ การดักด้วยตะแกรง การกำจัดตะกอนหนัก การทำให้ลอย การบดตัด เป็นต้น

2.3.2 ระบบบำบัดขั้นต้น (Primary Treatment) เป็นระบบที่อยู่ในขั้นที่ต้องการแยกสารตะกอนแขวนลอยออกจากน้ำเสีย และกำจัดสารอินทรีย์บางส่วนออกจากน้ำเสีย ได้แก่ การดักด้วยตะแกรงการดักตะกอน เป็นต้น

2.3.3 ระบบบำบัดขั้นที่สอง (Secondary Treatment) เป็นระบบที่กำจัดสารอินทรีย์และตะกอนแขวนลอยออกจากน้ำเสีย โดยมากจะเป็นระบบบำบัดน้ำเสียที่ใช้กระบวนการทางชีวภาพ ส่วนระบบการฆ่าเชื้อโรคในน้ำทิ้ง เช่น การเดิมคลอรีนก�จจัดอยู่ในระบบบำบัดขั้นที่สองด้วย

2.3.4 ระบบบำบัดขั้นที่สาม (Tertiary Treatment) เป็นระบบที่แยกและกำจัดตะกอนแขวนลอยที่หลงเหลือจากการบำบัดขั้นที่สอง การกำจัดสารในโทรศีนและฟอสฟอรัสออกจากน้ำเสีย และการกำจัดสารปนเปื้อนอื่นๆ ที่หลงเหลือจากการบำบัดขั้นที่สอง ซึ่งทั้งนี้ขึ้นอยู่กับความต้องการที่จะทำการบำบัดน้ำเสียให้ได้คุณภาพของน้ำทิ้งดีขนาดไหนโดยทั่วไประบบบำบัดขั้นที่สามมักจะใช้กับการบำบัดน้ำเสียเพื่อให้ได้น้ำทิ้งที่ต้องการนำกลับมาใช้อีก เช่น นำมาใช้รดน้ำสนา�หญ้า ใช้กับการซักครอกรของโถส้วม ใช้กับระบบหอยล่อเย็น แม้กระทั้งนำไปใช้ผลิตน้ำประปา

กระบวนการบำบัดน้ำเสียที่ได้กล่าวมาทั้งหมดนี้ จะเห็นได้วามีอยู่ด้วยกันหลายวิธีและนับวันจะมีกระบวนการบำบัดน้ำเสียใหม่ๆ เพิ่มขึ้นเรื่อยๆ ทั้งนี้ต้องการบำบัดน้ำเสียให้ได้มาตรฐานที่กำหนดขึ้น ดังนั้นจึงจำเป็นต้องเลือกกระบวนการที่เหมาะสม โดยต้องพิจารณาถึงความเป็นไปได้ทั้งทางด้านวิศวกรรม เศรษฐศาสตร์ สังคมและการเมือง [9]

2.4 ลักษณะพื้นฐานของโอโซน

โอโซน (Ozone) มีสูตรโมเลกุล คือ O_3 และมีน้ำหนักโมเลกุลเท่ากับ 48 เป็นก๊าซที่ไม่เสียริ่ງอุณหภูมิและความดันบรรยายกาศ มีกลิ่นฉุน ที่อุณหภูมิปกติโอโซนเป็นก๊าซที่มีสีแต่ที่อุณหภูมิต่ำจะสังเกตไม่เห็นสี โอโซนบริสุทธิ์ละลายที่อุณหภูมิ -192.5 ± 0.4 องศาเซลเซียส และเดือดที่อุณหภูมิ 119 ± 0.3 องศาเซลเซียส ที่อุณหภูมิ -112 องศาเซลเซียส โอโซนบริสุทธิ์จะกลับเป็นของเหลวสีน้ำเงินเข้มซึ่งระเบิดได้ง่าย ที่ความเข้มข้นต่ำของผสมโอโซนกับออกซิเจน (Ozone-Oxygen Mixtures) ในส่วนผสมมากกว่า 20 เบอร์เชนด์ จะระเบิดได้เมื่อว่าจะอยู่ในสถานะก๊าซหรือของเหลว การระเบิดอาจเกิดจากตัวเร่งปฏิกิริยา สารอินทรีย์ ประกายไฟ หรือการเปลี่ยนอุณหภูมิและความดันอย่างกะทันหัน [10]

โอโซนเป็นสารออกซิไดซ์ที่รุนแรงตัวหนึ่ง มีศักย์ออกซิเดชั่นเท่ากับ 2.07 โวลท์ ซึ่งสูงกว่าคลอริน 1.52 เท่า โดยโอโซนมีความว่องไวในการทำปฏิกิริยาเคมีทั้งในน้ำ สารละลายน้ำ และในอากาศ มีความสามารถในการรับอิเล็กตรอนจากสารอื่นเพิ่มเข้ามาได้อีก ทำให้เกิดปฏิกิริยาออกซิเดชั่น โดยโอโซนทำหน้าที่เป็นตัวออกซิไดซ์ ในบรรดาตัวออกซิไดซ์ทางเคมีมีอยู่มากมาย นับว่าโมเลกุลของโอโซนมีความสามารถสูงสุดเป็นอันดับสอง รองจากโมเลกุลของฟลูโอลิน และเป็นอันดับสี่ถัดบันบวนอนมูลไอกซ์เจนและอะตอมเดียวของออกซิเจน (ดูจากรายที่ 2- 1) [1]

ตารางที่ 2-1 การเปรียบเทียบความสามารถในการออกซิไดซ์ของสารออกซิไดน์ที่ต่างๆ [1]

ตัวออกซิไดซ์	อีโพ (โวลท์)	เทียบกับคลอริน (เท่า)
ก๊าซฟลูโอลิน (F_2)	3.06	2.25
อนมูลไอกซ์เจน (OH)	2.8	2.05
อะตอมของออกซิเจน (O)	2.42	1.78
โอโซน (O_3)	2.07	1.52
ไฮโดรเจนเปอร์ออกไซด์ (H_2O_2)	1.49	1.30
ก๊าซคลอริน (Cl_2)	1.36	1.00
ก๊าซออกซิเจน (O_2)	1.23	0.90

2.5 ความเป็นพิษของโอโซนต่อมนุษย์

โอโซนเป็นกําชพิษ ถ้าได้มีการสัมผัสโดยตรงและในปริมาณความเข้มข้นที่สูงจะก่อให้เกิดความระคายเคืองอย่างรุนแรงโดยเป็นอันตรายต่อปอดและตา ทำให้เยื่อหุ้มเซลล์อักเสบผู้ที่อยู่ในบรรยากาศของโอโซนที่เข้มข้นอาจถึงแก่ความตายได้ อย่างไรก็ตามโอโซนเข้มข้นเพียง 0.01-0.02 พีพีเอ็ม [11] ก็มีกําลังเหมือนทำให้คนรู้ด้วยกัน คนสามารถทนโอโซนได้ถึง 0.1 พีพีเอ็ม โดยไม่เป็นอันตราย แต่ถ้าความเข้มข้นสูงถึง 1 และ 4 พีพีเอ็ม คนจะทนได้เพียง 8 และ 1 นาที ตามลำดับ โดยไม่มีอาการผิดปกติ แต่ถ้านานกว่านี้อาจเกิดอาการผิดปกติ เช่น ไอ คอแห้ง หายใจลำบาก เครื่องดื่ม มีน้ำดีไหล ปวดหัว และแสบเยื่อจมูก ถ้าให้คนดูมีโอโซนเข้มข้นประมาณ 1 เบอร์เช็นต์ (ที่ผลิตได้โดยตรงจากเครื่อง) จะถึงแก่ความตายภายใน 1 นาที [12]

2.6 การละลายของโอโซนในน้ำ (Solubility of Ozone in Water)

การละลายของโอโซนหรือกําชไดๆ ในน้ำอธิบายได้ด้วยกฎของเอนรี (Henry's Law) โดยกฎของเอนรี กล่าวว่า ที่อุณหภูมิคงที่ ความเข้มข้นของกําชที่ละลายในของเหลวจะเป็นสัดส่วนโดยตรงกับความเข้มข้นของกําชที่มีอยู่เหนือของเหลวนั้น [13] ซึ่งแสดงดังสมการต่อไปนี้

$$y = Hx \quad (2-1)$$

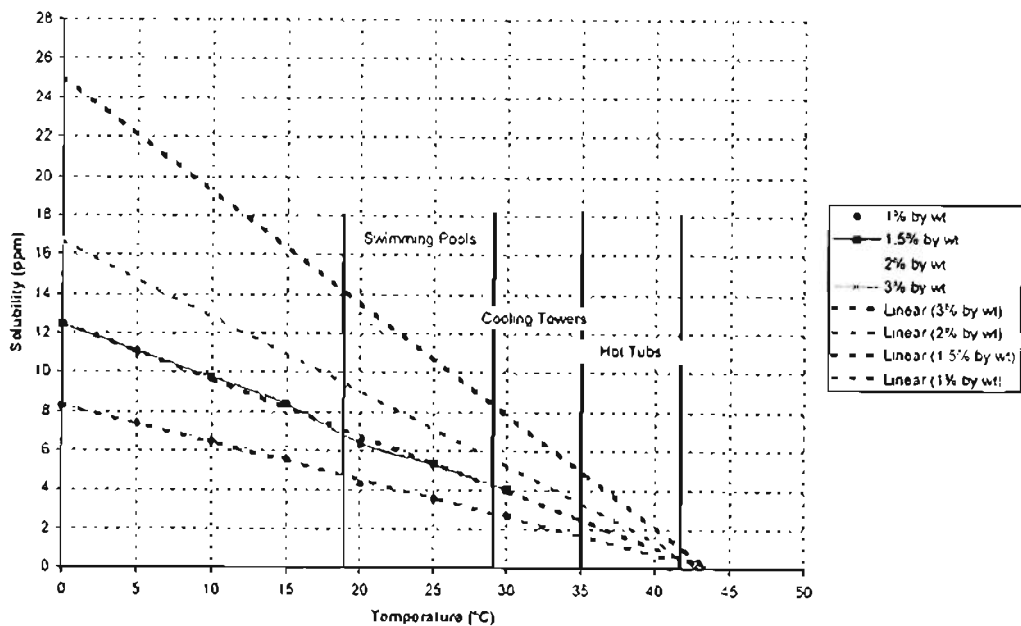
โดยที่ y คือ ความเข้มข้นของกําชเหนือของเหลวที่สมดุลกับกําชที่ละลายในของเหลว (มิลลิกรัม/ลิตร) x คือ ความเข้มข้นของกําชในของเหลวที่สมดุลกับกําชเหนือของเหลว (มิลลิกรัม/ลิตร) และ H คือ ค่าคงที่ของเอนรี (Henry's Law Constant) ((มิลลิกรัม/ลิตร กําช)/(มิลลิกรัม/ลิตรของเหลว))

Venosa [14] ได้เปรียบเทียบการละลายของออกซิเจนและโอโซน (ที่ผลิตที่ความเข้มข้น 1 เบอร์เช็นต์ในอากาศ) ในน้ำที่อุณหภูมิ 0 10 20 และ 30 องศาเซลเซียส ดังตารางที่ 2-2 ขนาดของค่าคงที่ของเอนรีจะเป็นฟังก์ชันกับอุณหภูมิเพียงอย่างเดียว ไม่เกี่ยวกับความเข้มข้นโดยถ้าค่าคงที่ของเอนรีลดลง การละลายของกําชก็จะมากขึ้น โอโซนสามารถละลายได้มากกว่าออกซิเจน ประมาณ 13 เท่า ที่อุณหภูมิและความดันมาตรฐาน ($H = 20.4$ สำหรับออกซิเจน เทียบกับ 1.56 สำหรับโอโซน)

ตารางที่ 2-2 การละลายของโอโซนและออกซิเจนในน้ำตามกําลังของเอนรี [14]

กําลัง	อุณหภูมิ	H	y	x
ออกซิเจน (อากาศ)	0	20.40	299	14.6
	10	25.40	289	11.4
	20	29.90	279	9.30
	30	34.20	270	7.90
โอโซน (1 เปอร์เซ็นต์โดยน้ำหนัก)	0	1.56	12.90	8.30
	10	1.86	12.50	6.70
	20	2.59	12.10	4.70
	30	3.80	11.70	3.10

การละลายน้ำของโอโซนขึ้นอยู่กับอุณหภูมิและความดันบخار (Partial Pressure) ของโอโซนในสถานะกําลัง จากภาพที่ 2-1 พบร่วมความสามารถในการละลาย (Solubility) ของกําลังในน้ำจะเพิ่มขึ้นเมื่ออุณหภูมิลดลง ดังนั้นควรทำการบำบัดที่อุณหภูมิ 35 องศาเซลเซียสหรือต่ำกว่า [1]



ภาพที่ 2-1 การละลายของโอโซนในน้ำ [15]

2.7 การเกิดโอโซน

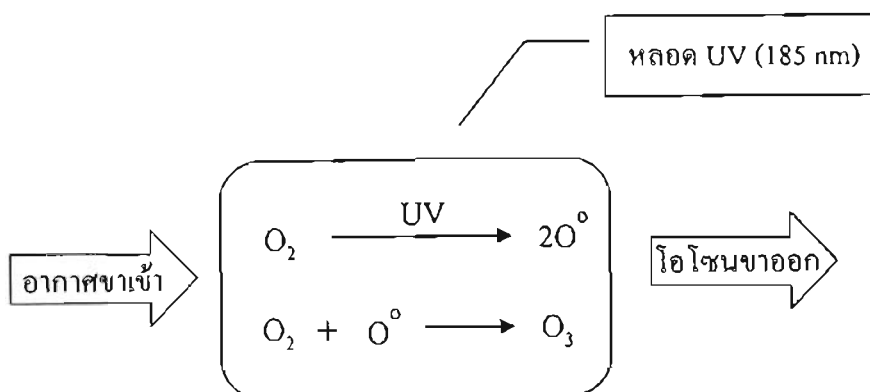
โอโซนเกิดตามธรรมชาติได้ 2 แบบ คือ

1. ปรากฏการณ์จากแสงอัลตราไวโอลेट ที่มีความยาวคลื่นสั้นกว่า 2400 อังสตروم ทำให้ออกซิเจน (O_2) ที่ได้รับรังสีในช่วงคลื่นดังกล่าวแตกตัวเป็นอะตอมของออกซิเจน (O^+) และไปรวมตัวกับก๊าซออกซิเจนที่อยู่ใกล้ๆ เกิดเป็นก๊าซโอโซน (O_3) ในเวลากลางวัน ก๊าซโอโซนนี้มีความสามารถในการดูดซึมรังสีอัลตราไวโอลेटจึงทำให้เกิดความร้อนจัดในชั้นบรรยากาศระดับนี้ คือ ที่ระดับสูงสุดของสตรatosfer (Stratosphere) เรียกว่า เขตอุ่น (Warm Region) [16]

2. โคลนานาดิสชาร์จ (Corona Discharge) เกิดในเวลาที่มีพาย戴上 ฟ้าร้อง พายฝ่าน ขณะฝน ปรากฏการณ์ดังกล่าวมีแรงเคลื่อนไฟฟ้าในอากาศที่สูงมาก ทำให้ก๊าซออกซิเจนแตกตัวเป็นอะตอมของออกซิเจน และไปรวมตัวกับก๊าซออกซิเจนที่อยู่ใกล้ๆ เกิดเป็นก๊าซโอโซน หลังฝนตกจะมีความรู้สึกว่าอากาศสดชื่น [16]

กระบวนการผลิตโอโซนในอุตสาหกรรมมี 3 แบบ คือ

1. วิธีอัลตราไวโอลेट (UV Method) เป็นการฉายรังสีอัลตราไวโอลेटที่มีความยาวคลื่น 185 นาโนเมตร ลงบนก๊าซออกซิเจน โดยใช้หลอดยูวีขนาด 40 วัตต์ ซึ่งสามารถผลิตโอโซนได้ถึง 2.5 เปอร์เซ็นต์ โดยน้ำหนัก [16] แสดงดังภาพที่ 2-2

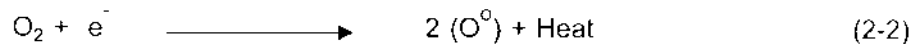


ภาพที่ 2-2 การผลิตโอโซนแบบวิธีอัลตราไวโอลेट [17]

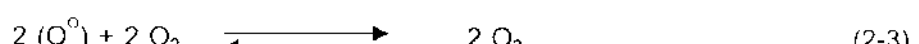
2. วิธีโคลนานาดิสชาร์จ (Corona Discharge Method)

วิธีการนี้ทำโดยผ่านอากาศแห้งหรือออกซิเจนบริสุทธิ์ เข้าไปในช่องแคบระหว่างขั้วไฟฟ้า 2 ขั้ว ที่มีความด่างศักย์สูงประมาณ 15,000–20,000 โวลต์ ซึ่งโมเลกุลของออกซิเจน บางส่วนจะแตกตัวเป็นอะตอมของออกซิเจน โดยการร่วงชนของอิเล็กตรอน (e^-) จากนั้นอะตอมของออกซิเจน จะรวมตัวกับโมเลกุลของออกซิเจน กลายเป็นโอโซน [18] ในภาพที่ 2-3 แสดงรูปแบบเครื่องผลิตโอโซนแบบวิธีโคลนานาดิสชาร์จ

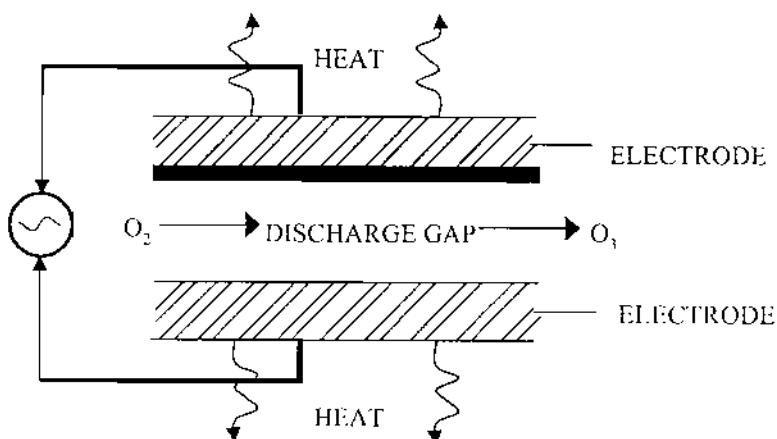
สมการอธิบายปฏิกิริยาการผลิตโอโซนแบบโคลโนนาดิสชาร์จ แสดงดังต่อไปนี้



atmospheric ionized
oxygen oxygen



โดยสมการที่ 2-2 โมเลกุลของออกซิเจน จะแตกตัวเป็นอะตอมของออกซิเจน และให้พลังงานความร้อน จากนั้นอะตอมของออกซิเจน จะทำปฏิกิริยากับโมเลกุลของออกซิเจน เกิดเป็นโอโซน ดังสมการที่ 2-3



ภาพที่ 2-3 รูปแบบเครื่องผลิตโอโซนแบบวิธีโคลโนนาดิสชาร์จ [18]

3. วิธีโคลพาสما (Cold Plasma Method) เป็นการฉายรังสีพาスマลงบนออกซิเจน โดยใช้แท่งแก้ว 2 แท่งที่บรรจุกําชาเนื้อยื่นแล้วผ่านกระแสไฟฟ้าแรงสูงลงบนแท่งแก้วทั้งสอง เพื่อทำให้เกิดสนามพาสما วิธีการนี้สามารถผลิตโอโซนได้สูงถึง 15 เปอร์เซ็นต์ โดยน้ำหนัก [16] ปัจจัยที่มีความสัมพันธ์กับการผลิตโอโซนแสดงดังสมการต่อไปนี้ [18]

$$V \propto \alpha \cdot \rho g \quad (2-4)$$

$$(Y/A) \propto \alpha \cdot \rho V^2/d \quad (2-5)$$

โดยที่ (Y/A) คือ โอโซนที่ผลิตได้ต่อหน่วยพื้นที่ของอิเลคโทรด

(Ozone Yield Per Unit Area Of Electrode Surface)

V คือ โวลต์ไฟฟ้าที่ให้เข้าไปในช่องระหว่างอิเลคโทรด (Applied Voltage)

P คือ ความดันกําชั่นในช่องระหว่างอิเลคโทรด

(Gas Pressure In The Discharge Gap)

g คือ ความกว้างของช่องระหว่างอิเลคโทรด (Discharge Gap Width)

f คือ ความถี่ของโวลต์ไฟฟ้าที่ให้เข้าไป (Frequency Of Applied Voltage)

ϵ คือ ค่าคงที่ไดอิเลคทริก (Dielectric Constant)

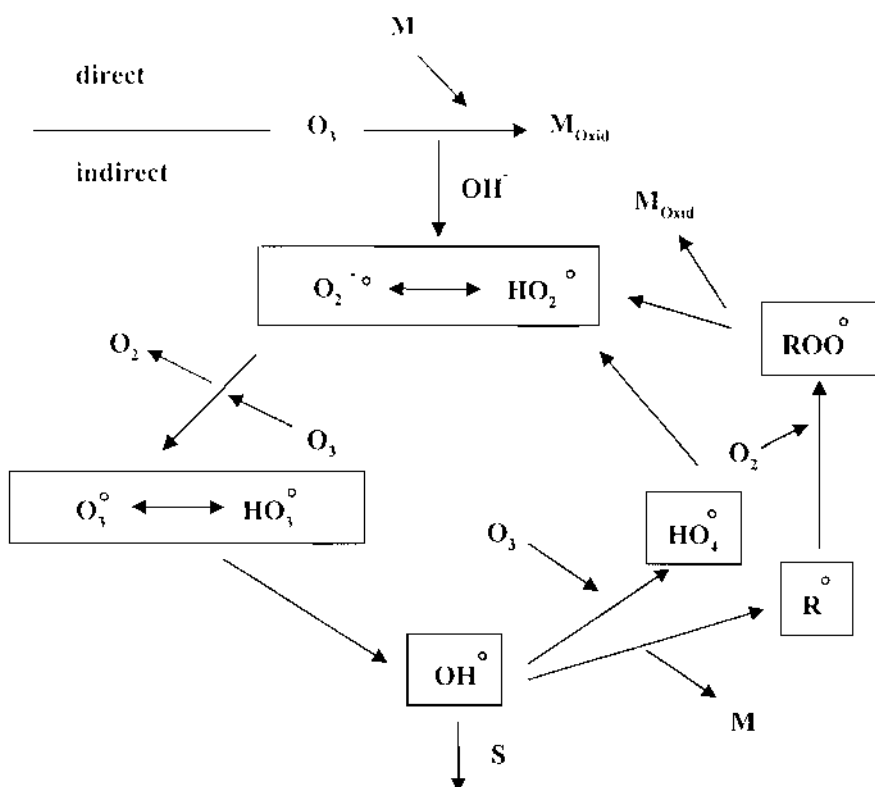
d คือ ความหนาของไดอิเลคทริก

ความเข้มข้นของโอโซนที่ออกจากเครื่องผลิตโอโซน โดยปกติจะมีความเข้มข้นประมาณ 1-10 เบอร์เซ็นต์โดยน้ำหนัก ถ้าใช้ออกซิเจนแทนอากาศจะทำให้ได้โอโซนที่ผลิตได้ในปริมาณที่มากกว่าใช้อากาศ เครื่องผลิตโอโซนที่ใช้ในการการค้ามักใช้หลักการโคโนนาดิสชาร์จ ดังกล่าวข้างต้น คือใช้ความต่างศักย์ไฟฟาระหว่าง 2 อิเลคโทรด ซึ่งจะถูกแยกออกจากกันโดยชั้นของไดอิเลคทริก (Dielectric) โดยมีช่องว่างแคบๆ ให้ออกซิเจนผ่านเข้าไป

พลังงานไฟฟ้าบางส่วนจะถูกเปลี่ยนไปเป็นความร้อน ดังนั้นแหล่งรับความร้อนภายนอก จึงจำเป็นอย่างยิ่งเพื่อที่จะถ่ายเทความร้อนนี้ออกไป เพราะโอโซนสามารถถ่ายตัวได้อย่างรวดเร็ว เมื่ออุณหภูมิสูงขึ้น [19]

2.8 การเกิดปฏิกิริยาของโอโซนกับสารอินทรีย์ [20]

โอโซนสามารถทำปฏิกิริยากับสารอินทรีย์ได้ 2 เส้นทาง คือ ทางตรงและทางอ้อม ซึ่งในแต่ละเส้นทางของปฏิกิริยา จะได้ผลิตภัณฑ์ที่เกิดจากการออกซิเดชันที่แตกต่างกัน และปฏิกิริยาถูกควบคุมด้วยชนิดของจลนาสตร์ที่แตกต่างกัน ซึ่งต่อไปจะกล่าวถึงกลไกเกิดปฏิกิริยาของกระบวนการโอโซนเข้าทั้งทางตรงและทางอ้อม แสดงตามภาพที่ 2-4



ภาพที่ 2-4 กลไกการเกิดปฏิกิริยาของกระบวนการโอโซนเข้าชั้นทั้งทางตรงและทางอ้อม

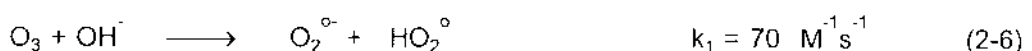
S = Scavenger , R = Reaction product , M = Micropollutant [20]

2.8.1 ปฏิกิริยาทางอ้อม (Indirect Reaction)

เส้นทางการเกิดปฏิกิริยาทางอ้อมเกี่ยวข้องกับเรดิคอล (Radical) มีความซับซ้อนมากโดยในขั้นแรกจะเกิดการสลายตัวของโอโซน ซึ่งถูกเร่งโดยตัวเริ่ม (Initiator) เช่น ไอดรอกไซด์ไอโอน (Hydroxide Ion, OH⁻) เพื่อทำให้เกิดตัวออกซิเดนท์ลำดับที่สอง (Secondary Oxidant) เช่น ไอดรอกซิลเรดิคอล (Hydroxyl Radical, OH[•]) ซึ่งจะทำปฏิกิริยากับสารอินทรีย์ทันที ($K = 10^8 - 10^{10} \text{ M}^{-1} \text{s}^{-1}$) กลไกของปฏิกิริยาแบ่งเป็น 3 ส่วนคือ

2.8.1.1 ขั้นตอนเริ่มต้น (Initiation Step)

ปฏิกิริยาระหว่าง ไอดรอกไซด์ไอโอน และโอโซนทำให้เกิดซูเปอร์ออกไซด์แอนโนเรดิคอล (Superoxide Anion Radical, O₂^{•-}) และไฮโดรperoxideออกไซด์เรดิคอล (Hydroperoxide Radical, HO₂[•])

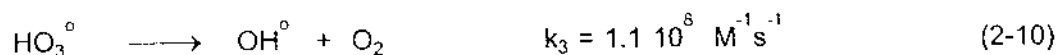
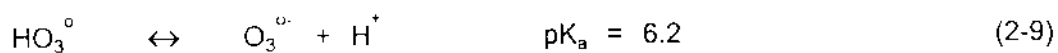


ไฮโดรเปอร์ออกไซด์เรดิคอล ออยในสมดุลการด-เบส



2.8.1.2 ขั้นตอนลูกโซ่เรดิคอล (Radical Chain Step)

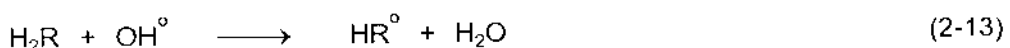
ปฏิกิริยาระหว่างโอโซนและซูเปอร์ออกไซด์แอนน่อนเรดิคอล ทำให้เกิดโอโซไนต์แอนน่อนเรดิคอล (Ozonide Anion Radical, $\text{O}_3^\cdot-$) ซึ่งจะถลายตัวทันทีเป็นไฮดรอกซิลเรดิคอล



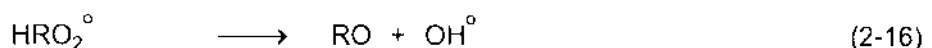
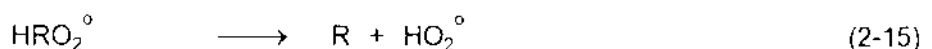
ไฮดรอกซิลเรดิคอล ที่เกิดขึ้นจะทำปฏิกิริยากับโอโซนตามสมการดังต่อไปนี้



การถลายตัวของไฮโดรเดกตระออกไซด์เรดิคอล (Hydrotetraoxide Radical, HO_4^\cdot) ไปเป็นออกซิเจนและไฮโดรเปอร์ออกไซด์เรดิคอล จะทำให้ปฏิกิริยาลูกโซ่เริ่มต้นใหม่อีกครั้ง ซึ่งสารไดกิตามที่สามารถเปลี่ยนไฮดรอกซิลเรดิคอล ไปเป็นซูเปอร์ออกไซด์แอนน่อนเรดิคอลหรือไฮโดร-เปอร์ออกไซด์เรดิคอล โดยทำหน้าที่เป็นผู้นำให้เกิดปฏิกิริยาลูกโซ่ใหม่อีกครั้ง (Chain Carrier) จะถูกเรียกว่า ตัวกระตุ้น (Promoter) โมเลกุลของสารอินทรีย์ (R) สามารถทำหน้าที่เป็นตัวกระตุ้นได้และบางตัวของสารอินทรีย์จะมีกลุ่มฟังก์ชันซึ่งจะทำปฏิกิริยากับไฮดรอกซิลเรดิคอลและทำให้เกิดเรดิคอลของสารอินทรีย์ (R^\cdot)



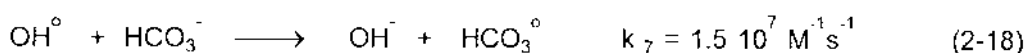
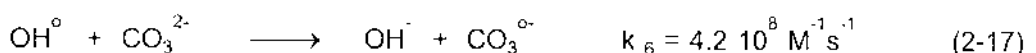
ตัวมีออกซิเจนออยในระบบสามารถเกิดออกซิแกนิกเปอร์ออกซีเรดิคอล (Organic Peroxy Radical, ROO^\cdot) ได้



การสลายตัวของโอโซนลูกเริ่มต้นโดยไฮดรอกไซด์ไอโอดิน นำไปสู่ปฏิกิริยาลูกโซ่และผลิตไฮดรอกซิลเรดิคอล ที่สามารถทำปฏิกิริยาได้อย่างรวดเร็วแสดงถึงไฮดรอกซิลเรดิคอล มีครึ่งชีวิต (Half-Life) ที่สั้นมากๆ เช่น น้อยกว่า 10 ไมโครวินาที (μs) ที่ความเข้มข้นเริ่มต้น 10^{-4} มोลาร์

2.8.1.3 ขั้นตอนสุดท้าย (Terminal Step)

สารอินทรีย์และสารอนินทรีย์บางตัว สามารถทำปฏิกิริยากับไฮดรอกซิลเรดิคอล ทำให้เกิดเรดิคอลลำดับที่สอง (Secondary Radical) ซึ่งไม่สร้างชูเปอร์ออกไซด์เน็นอนเรดิคอล หรือไฮดรเปอร์ออกไซด์เรดิคอล จะเรียกสารเหล่านี้ว่าตัวยับยั้ง (Inhibitor/ Scavenger) ซึ่งสามารถหยุดปฏิกิริยาลูกโซ่และยับยั้งการสลายตัวของโอโซนได้



ความเป็นไปได้อื่นที่จะหยุดปฏิกิริยาลูกโซ่ คือ การทำปฏิกิริยากันของเรดิคอลสองตัว



เมื่อร่วมสมการทั้งหมดจะแสดงให้เห็นว่า 3 มोเลกุลของโอโซนจะให้ 2 มोเลกุลของไฮดรอกซิลเรดิคอล



Staehelin และ Hoigne [21] กล่าวว่า ฟอสฟे�ต (Phosphate) สามารถทำปฏิกิริยาอย่างช้าๆ กับไฮดรอกซิลเรดิคอล แต่ที่ความเข้มข้นสูงสามารถทำหน้าที่เป็นตัวยับยั้งอย่างมีประสิทธิภาพ นอกจากนั้นกรดอะมิค (Humic Acid) สามารถทำหน้าที่เป็นได้ทั้งตัวยับยั้งและตัวกระตุ้นขึ้นอยู่กับความเข้มข้น และตัวยับยั้งไฮดรอกซิลเรดิคอลที่มีประสิทธิภาพคือ บิวทิวอลกอฮอล์ (Tert-Butyl Alcohol, TBA) ลูกโซ่เป็นตัวหยุดปฏิกิริยาลูกโซ่ได้ ถึงแม้ว่าในระบบ

มีกรดอิวมิก ซึ่งทำหน้าที่เป็นตัวกระตุ้นอยู่ แต่การเติมบิวทิวแอลกอฮอล์ลงไปจะลดอัตราการสลายตัวของโอโซน

ในคาร์บอเนต (Bicarbonate) และคาร์บอเนต (Carbonate) มีค่าคงที่ของการเกิดปฏิกิริยาต่ำแต่มีความเข้มข้นสูงในธรรมชาติ ดังนั้นจึงมีบทบาทสำคัญในการเป็นตัวยับยั้งไฮดรอกซิลเรดิคอล เมื่อเปรียบเทียบค่าคงที่ของการเกิดปฏิกิริยาระหว่างในคาร์บอเนตและคาร์บอเนต ($K_6 = 4.2 \cdot 10^8 \text{ M}^{-1}\text{s}^{-1}$ สำหรับ คาร์บอเนต และ $K_7 = 1.5 \cdot 10^7 \text{ M}^{-1}\text{s}^{-1}$ สำหรับ ในคาร์บอเนต) พนว่า คาร์บอเนตเป็นตัวยับยั้งที่แรงกว่าในคาร์บอเนต Hoigne และ Bader [22] พนว่า ผลิตภัณฑ์ที่ได้จากปฏิกิริยาระหว่างคาร์บอเนตและในคาร์บอเนตกับไฮดรอกซิลเรดิคอลจะไม่ทำปฏิกิริยาต่อกับโอโซน

การเติมคาร์บอเนตลงไปในน้ำที่ผ่านการโอโซน化เพียง 2-3 ไมโครโมล (μMoles) จะทำให้การสลายตัวของโอโซนลดลงเป็นผลให้ครึ่งชีวิตของโอโซนเพิ่มขึ้น ถ้าความเข้มข้นของคาร์บอเนตหรือในคาร์บอเนตเพิ่มขึ้นเป็น 1.5 มิลลิโมล (Mm) จะเป็นการเพิ่มเสถียรภาพของโอโซน [22]

ตารางที่ 2-3 ชนิดของสารที่เป็นตัวเริ่ม (Initiator), ตัวกระตุ้น (Promotor) และตัวยับยั้ง (Scavenger) สำหรับการสลายตัวของโอโซนในน้ำ [20]

ตัวเริ่ม (Initiator)	ตัวกระตุ้น (Promotor)	ตัวยับยั้ง (Scavenger)
OH^-	Humic Acid	$\text{HCO}_3^-/\text{CO}_3^{2-}$
$\text{H}_2\text{O}_2/\text{HO}_2^-$	Aryl-R	PO_3^{4-}
Fe^{2+}	Primary And Secondary Alcohols	Humic Acid
		Alkyl-R
		Tert-Butyl Alcohol (TBA)

2.8.2 ปฏิกิริยาทางตรง (Direct Reaction)

สารอินทรีย์จะเข้าทำปฏิกิริยากับโมเลกุลของโอโซนโดยตรง โดยที่โอโซนจะเข้าทำปฏิกิริยากับสารอินทรีย์ที่บริเวณพันธะคู่ ($\text{C}=\text{C}$, $\text{C}=\text{C}-\text{O}-\text{R}$, $\text{C}=\text{C}-\text{X}$) หรืออะตอมที่มีประจุลบ (N, P, O, S และ Nucleophilic C) สารอะโรเมติกที่มีหมุ่ไฮดรอกซิล (Hydroxyl, OH) เมทธิล (Methyl, CH_3) หรือ เมทธอฟอฟฟิซ (Methoxy, OCH_3) อุ่ยดรงค์แนฟองออร์ฟิค (Ortho) จะทำปฏิกิริยากับโอโซนได้ดี (High Reactivity) แต่ถ้ามีหมุ่ในโตร (Nitro, NO_2) คาร์บอไชร์ติลิก (Carboxylic, COOH) หรือ คาร์บอชาลเดไฮด์ (Carboxaldehyde, CHO) ปฏิกิริยาจะเกิดช้า

2.9 การนำบัดน้ำเสียด้วยไอโอน

2.9.1 การใช้ไอโอนในการฆ่าเชื้อโรค

การฆ่าเชื้อโรคเป็นจุดประสงค์หลักของการนำบัดน้ำในอุตสาหกรรมน้ำดื่ม ซึ่งเดิมจะใช้คลอรินเท่านั้นในการฆ่าเชื้อโรคโดยมีข้อดี คือ เป็นวิธีที่ง่าย ราคาถูก และเป็นที่นิยมใช้กันอย่างแพร่หลาย แต่มีข้อเสีย คือ จะมีลิ้นคลอรินและอาจส่งผลกระทบต่อสุขภาพ กล่าวคือปฏิกิริยาระหว่างคลอรินกับสารอินทรีย์จะทำให้เกิดสารไดรคลอโรเมเทน (THM) ซึ่งเป็นสารก่อมะเร็ง ทำให้ความนิยมในการใช้คลอรินในการฆ่าเชื้อโรคลดลง และได้มีการนำไอโอนมาใช้ในการฆ่าเชื้อโรคมากขึ้น ซึ่งไอโอนจะทำปฏิกิริยาออกซิเดชันกับสารประกอบที่ห่อหุ้มอยู่ชั้นนอกสุดของเชื้อโรค โดยเริ่มต้นที่พันธะคาร์บอนในไขมันชนิดฟอสฟอฟายด์ของเยื่อหุ้มเซลล์ทำให้เซลล์ร้าวหรือแตกออกแล้วตายในที่สุด ก้าวไอโอนบางส่วนจะเข้าไปทำลายส่วนประกอบกลุ่มชั้ลไอดริลเพื่อขัดขวางการทำงานของเอนไซม์ในแบคทีเรีย ถ้าเป็นไวรัสก็จะทำปฏิกิริยาที่แคฟซิด (Proteic Capsid) ซึ่งใช้ในการเกาะกับเซลล์อื่นและถลายนรกลิอกซ์ซึ่งไวรัสใช้ในการขยายพันธุ์

แม้ว่าไอโอนจะมีราคาแพงกว่าคลอรินแต่ เมื่อทำการเปรียบเทียบการใช้คลอรินกับไอโอนพบว่า ไอโอนมีความสามารถในการฆ่าเชื้อโรคได้ดีกว่าคลอรินร้อยละ 52 และเร็วกว่า 3,000 เท่า ไม่มีปัญหาการเกิดสารไดรคลอโรเมเทน สามารถฆ่าเชื้อโรคที่คลอรินในขนาดที่ไม่เป็นอันตรายทำไม่ได้ เช่น เชื้อไวรัส เชื้อใจอาเดีย เชื้อคริพโตสปอร์เตียม ซึ่งเป็นเชื้อปนเปื้อนในน้ำประปาที่ทำให้เกิดโรคท้องร่วงอย่างรุนแรง สามารถฆ่าเชื้อลิจิโอลีกา ซึ่งติดมากับระบบหัวโลหะและเป็นสาเหตุของโรคปอดบวม การนำก้าวไอโอนมาใช้จะช่วยลดปริมาณของคลอรินลง จึงเป็นการช่วยลดอัตราเสี่ยงจากการเกิดโรคมะเร็งได้ [2]

2.9.2 การใช้ไอโอนในการกำจัดสี

ไอโอนสามารถกำจัดสีได้เป็นอย่างดี ซึ่งสีของน้ำเสียโดยทั่วไปจะเกิดจากการปนเปื้อนของสารอินทรีย์และสารอนินทรีย์ที่ดูดซับแสงที่สามารถมองเห็นได้ (Absorb Visible Light) ซึ่งสีของน้ำเสียแต่ละแหล่งจะแตกต่างกันตามชนิดของสารปนเปื้อน สีที่เกิดจากการมีสารแขวนลอยอยู่มาก (เช่น น้ำที่มีดินที่เป็นตะกอนสีแดงทำให้ขุ่นมากกว่าปกติ) เรียกว่า สีปรากฏ (Apparent Color) ซึ่งเป็นสีที่เกิดจากการสะท้อนของสิ่งที่แขวนลอยอยู่ในน้ำหรือไม่ก็สะท้อนมาจากห้องฟ้า และสีที่เกิดจากการถลายนรกลิอกซ์ของพืช (เช่น สารที่ถลายนรกลิอกนิโนฟีช) หรือสารอินทรีย์ตามธรรมชาติ เรียกว่า สีจริง (True Color)

ในการนำบัดน้ำเสียด้วยไอโอนจะเป็นการออกซิไดซ์สารอินทรีย์ ที่ก่อให้เกิดสีโดยไอโอนจะออกซิไดซ์โครโนฟอร์ (Chromophores) ซึ่งเป็นส่วนของโมเลกุลของสารอินทรีย์ที่เชื่อมต่อกันด้วยพันธะคู่ซึ่งดูดซับแสงที่สามารถมองเห็นได้ โดยไอโอนจะไปทำลายพันธะทั้งทางตรงและทางอ้อมทำให้ได้โมเลกุลที่มีขนาดเล็กลงซึ่งไม่ดูดซับแสง ที่สามารถมองเห็นได้เป็นสาเหตุให้สีของน้ำเสียลดลง [2]

2.9.3 การใช้โอโซนในการกำจัดอนุภาคหรือสร้างตะกอน

ความขุ่น (Turbidity) เกิดจากอนุภาคแขวนลอย (Suspended Solid) ซึ่งเป็นอนุภาคแขวนลอยขนาดเล็กและมีพื้นผิวที่มีประจุสูง ประจุที่พื้นผิว (Surface Charge) จะทำให้อนุภาคอยู่ในสภาพแขวนลอยเนื่องจากแรงผลักดันระหว่างกันที่พื้นผิว โอโซนสามารถกำจัดอนุภาคหรือสร้างตะกอนได้เป็นอย่างดี โอโซนจะไปทำลายเส้นใยรากของอนุภาคคลอลลอยด์ โดยโอโซนจะเปลี่ยนประจุที่พื้นผิวเหล่านี้ เมื่อพื้นผิวประจุเป็นกลางอนุภาคคลอลลอยด์จะรวมตัวเป็นตะกอนแล้วจะถูกกำจัดออกโดยการตะกอน (Sedimentation), การกรอง (Filtration) หรือ การลอกด้วยอากาศ (Floataation) ในปัจจุบันได้มีการนำโอโซนมาใช้ในการบำบัดขั้นต้น (Preozonation) เพื่อใช้ในการตัดตะกอนของระบบบำบัดน้ำเสีย [6]

2.9.4 การใช้โอโซนในการกำจัดกลิ่นและรส

สารประกอบอินทรีย์และอนินทรีย์ประกอบด้วยชั้ลเพอร์และไนโตรเจน ซึ่งเป็นสาเหตุหลักของการเกิดกลิ่นในน้ำเสีย โอโซนความเข้มข้นน้อยๆ ที่เติมในน้ำประมาณ 1-2 มิลลิกรัม/ลิตร ก็เพียงพอในการออกซิไดซ์สารประกอบเหล่านี้ นอกจากนั้นโอโซนยังสามารถป้องกันไม่ให้กลิ่นกลับมาเกิดซึ่งก็ [1]

2.9.5 การใช้โอโซนในการออกซิไดซ์สารอินทรีย์

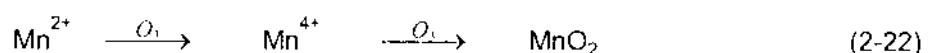
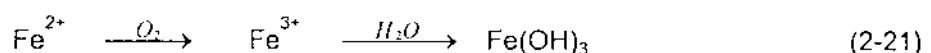
โอโซนเป็นก๊าซไม่เสถียร สามารถแตกตัวเป็นเรดิคอลต่างๆ ซึ่งมีความวงศ์ไวในการทำปฏิกิริยากับสารอินทรีย์ต่างๆ จึงมีการใช้โอโซนในการย่อยสลายพันธุะของสารอินทรีย์ในน้ำเสียในการออกซิไดซ์สารอินทรีย์โดยโอโซนนั้น อาจสมบูรณ์หรือไม่ซึ่งอยู่กับโครงสร้างทางเคมีของสารอินทรีย์นั้นๆ

การใช้โอโซนในการสลายพันธุะของสารอินทรีย์ที่มีโครงสร้างชั้บช้อน จะทำให้ได้ผลิตภัณฑ์ที่สามารถย่อยสลายได้ง่ายขึ้น ดังนั้นในปัจจุบันนอกจากจะมีการใช้โอโซนเพียงอย่างเดียวในการบำบัดน้ำเสียแล้วยังมีการใช้โอโซนในการบำบัดขั้นต้น (Preozonation) ก่อนที่จะทำการบำบัดทางชีววิทยา ซึ่งจะช่วยเพิ่มประสิทธิภาพในการย่อยสลายสารอินทรีย์ได้ดียิ่งขึ้น

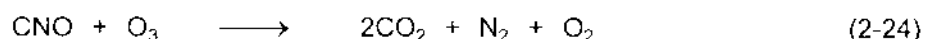
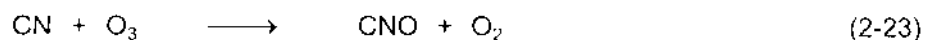
จากการศึกษากระบวนการโอโซนชั้นในการบำบัดน้ำเสีย บางครั้งอาจเกิดสารมัธยันต์ (Intermediate; สารที่เกิดขึ้นระหว่างปฏิกิริยา ไม่ใช่ผลิตภัณฑ์ที่แท้จริงของปฏิกิริยาและมักไม่เสถียร) จากการออกซิไดซ์สารอินทรีย์ในน้ำเสียซึ่งอาจเป็นพิษได้ ดังนั้น ในการจะใช้ตัวออกซิเดนท์ตัวใดก็ตามเพื่อบำบัดน้ำเสียควรจะทราบถึงชนิดของสารอินทรีย์ (Dissolved Organic Matter) ที่มีอยู่ในน้ำเสียนั้น คุณสมบัติทางเคมีของสารมัธยันต์ที่ได้จากปฏิกิริยาออกซิเดชัน ประสิทธิภาพของออกซิเดนท์ ในการออกซิไดซ์สารว่าสามารถผ่านขั้นตอนของการเกิดสารมัธยันต์ (Intermediate Stage) ได้หรือไม่ และสามารถทำลายพิษของสารมัธยันต์ได้หรือไม่ เพื่อให้ได้ผลการบำบัดน้ำเสียที่ปลอดภัยและมีประสิทธิภาพสูงสุด [23]

2.9.6 การใช้ไอโอดีนในการออกซิไดซ์สารอนินทรีย์

ไอโอดีนสามารถกำจัดโลหะโดยออกซิไดซ์โลหะในรูปสารละลายน้ำ (Soluble Form) ให้อยู่ในรูปที่ไม่ละลาย (Insoluble Form) ทำให้เกิดการดักดูดกัน ซึ่งในการกำจัดเหล็กและแมงกานีสในน้ำไอโอดีนจะออกซิไดซ์เหล็กที่ละลายอยู่ในรูปเฟอร์รัส (Ferrous, Fe^{2+}) ไปเป็นเฟอร์ริก (Ferric, Fe^{3+}) ซึ่งจะถูกไอโอดีนไลซ์ไปเป็นเฟอร์ริกไฮดรอกไซด์ (Ferric Hydroxide, Fe(OH)_3) และตกลงตระกอนออกจากสารละลายน้ำ เช่นเดียวกับแมงกานีสไดอ่อน (Manganese diion, Mn^{2+}) ถูกออกซิไดซ์ไปเป็นแมงกานีสเดตetrarion ไออ่อน (Manganese tetraion, Mn^{4+}) ซึ่งเปลี่ยนไปเป็นแมงกานีสไดออกไซด์ (Manganese dioxide, MnO_2) ที่ไม่ละลายน้ำ ดังแสดงในสมการเคมีดังต่อไปนี้ [11]



ไอโอดีนสามารถออกซิไดซ์ไฮยาไนด์เป็นไฮยาเนตจากนั้นไฮยาเนตจะถูกออกซิไดซ์ได้ในโครงเจนและคาร์บอนไดออกไซด์ ดังสมการเคมี



การใช้ไอโอดีนร่วมกับด่างในการกำจัดโลหะหนักในน้ำเสีย สามารถลดค่าความเป็นกรดด่าง (pH) ที่ต้องการในการดักดูดกันให้ต่ำลงได้ ซึ่งจะช่วยประยุกต์การใช้กรดในการปรับให้เป็นกลางลงได้ จากตารางที่ 2-4 แสดงการเปรียบเทียบค่าความเป็นกรดเป็นด่างเมื่อใช้ไอโอดีนร่วมกับปูนขาวในการดักดูดกันโลหะหนัก ตารางจะเห็นว่าเมื่อใช้ไอโอดีนร่วมกับปูนขาว ค่าความเป็นกรดเป็นด่างจะน้อยกว่าการใช้ปูนขาวเพียงอย่างเดียว [1]

ตารางที่ 2-4 การเปรียบเทียบค่าความเป็นกรดด่างเมื่อใช้ไอโอดีนร่วมกับปูนขาวในการตากตะกอนโลหะหนัก [1]

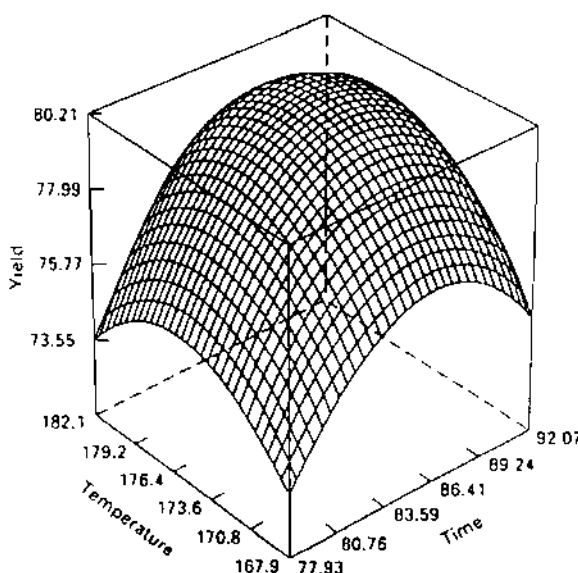
โลหะ	ค่าความเป็นกรดด่าง	
	ปูนขาว	ปูนขาวและไอโอดีน
อัลูมิเนียม	-	7
แคนเดเมียม	10	10
โครเมียม	9	7
โครบอล	11	9
คอปเปอร์	9	7
แมงกานีส	9	6.1
นิกเกิล	11	10
เงิน	11	10
ทองแดง	10	9
เหล็ก	4	4
ตะกั่ว	-	5.1

2.10 การหาสภาวะที่เหมาะสมของกระบวนการ

การออกแบบการทดลองเชิงสถิติ (Statistical Design Of Experiment) หมายถึงกระบวนการในการวางแผนการทดลอง เพื่อว่าจะได้มาซึ่งข้อมูลที่เหมาะสมที่สามารถนำไปใช้ในการวิเคราะห์ทางสถิติ ซึ่งจะทำให้เราสามารถหาข้อสรุปที่สมเหตุสมผลได้ วิธีการออกแบบการทดลองในเชิงสถิติเป็นสิ่งที่จำเป็น ถ้าเราต้องการหาข้อสรุปที่มีความหมายจากข้อมูลที่เรามีอยู่ และถ้ายังปัญหาที่สนใจนั้นเกี่ยวข้องกับความผิดพลาดในการทดลอง (Experiment Error) วิธีการสถิติเป็นวิธีการเพียงอย่างเดียวเท่านั้น ที่จะสามารถนำมาใช้ในการวิเคราะห์ผลการทดลองนั้นได้ ตั้งนั้นสิ่งสำคัญ 2 ประการ สำหรับปัญหาที่เกี่ยวกับการทดลองคือ การออกแบบการทดลองและการวิเคราะห์ข้อมูลทางสถิติ ซึ่งศาสตร์ทั้งสองมีความเกี่ยวข้องกันอย่างมาก ทั้งนี้ เพราะว่าวิธีการวิเคราะห์เชิงสถิติที่เหมาะสมนั้น จะชี้นำการออกแบบการทดลองที่จะนำมาใช้ โดยวิธีการทางสถิติในงานวิจัยนี้จะใช้วิธีการพื้นผิวผลตอบ (Respond Surface Methodology) ในการออกแบบการทดลองเพื่อศึกษาผลตอบและหาสภาวะที่เหมาะสม [7]

2.10.1 การออกแบบพื้นผิวผลตอบ (Response Surface Design)

วิธีการพื้นผิวผลตอบ (Response Surface Methodology) เป็นการรวมเอาเทคนิคทั้งทางคณิตศาสตร์และทางสถิติที่มีประโยชน์ต่อการสร้างแบบจำลอง และการวิเคราะห์ปัญหาโดยที่ผลตอบที่เราสนใจอยู่กับหลายตัวแปร และมีวัตถุประสงค์ที่จะหาค่าที่ดีที่สุดของผลตอบนี้โดยมากแล้วจะแสดงพื้นผิวผลตอบในรูปแบบของกราฟฟิก เพื่อที่จะช่วยให้เรามองรูปร่างของพื้นผิวตอบได้ดียิ่งขึ้นโดยจะพล็อตเส้นโครงร่าง (Contour Plot) ของพื้นผิวผลตอบ ดังแสดงในภาพที่ 2-5 ในการสร้างเส้นโครงร่างเช่นนี้ เส้นที่มีค่าของผลตอบคงที่จะถูกการด้อยบันระนาบ X_1 และ X_2 เส้นโครงสร้างแต่ละเส้นจะมีความสูงของพื้นผิวผลตอบที่เท่ากันค่าหนึ่ง [7]



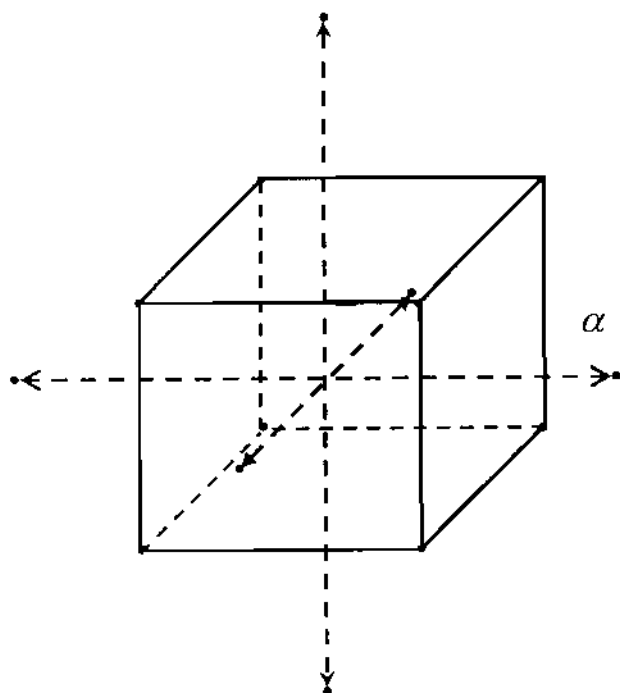
ภาพที่ 2-5 กราฟเส้นโครงร่างของพื้นผิวผลตอบ [7]

การออกแบบการทดลองเพื่อศึกษาพื้นผิวผลตอบมีหลายวิธี เช่น การออกแบบซิมเพล็กซ์ (Simplex Design) การออกแบบบ็อกซ์-เบน์คเคน (Box-Behnken Design) การออกแบบรัศมีเท่ากัน (Equiradial Design) การออกแบบส่วนประสมกลาง (Central Composite Design) เป็นต้น โดยจะกล่าวถึงการออกแบบส่วนประสมกลางที่ใช้ในงานวิจัยเท่านั้น

การออกแบบส่วนประสมกลางนี้ใช้อย่างแพร่หลาย ในการสร้างแบบจำลองของพื้นผิวผลตอบขั้นที่สอง (Second-Order Response Surface Model) โดยทั่วไปการออกแบบนี้จะประกอบด้วยการทดลอง ดังนี้ [7]

1. 2^k แฟกตอร์เรียล (Factorial 2^k) ที่มี n_f การทดลอง
2. การทดลองในแนวแกน (Axial Run)
3. n_c การทดลองที่จุดศูนย์กลาง

การออกแบบวิธีนี้มีประสิทธิภาพสูงในการสร้างแบบจำลองอันดับที่สอง เนื่องจากมีการเพิ่มการทดลองในแนวแกนทำให้มีจำนวนการทดลองเพียงพอ ที่จะใช้ในการประมาณพารามิเตอร์ที่ไม่ทราบค่าในแบบจำลอง โดยที่มีพารามิเตอร์ 2 ค่าที่ต้องถูกกำหนดในการออกแบบคือ ระยะทาง (α_D) ของการทดลองในแนวแกนจากจุดศูนย์กลางในการออกแบบ และจำนวนของจุดศูนย์กลาง (k) การออกแบบส่วนประสมกลาง สำหรับ $k = 3$ [7] แสดงดังภาพที่ 2-6



ภาพที่ 2-6 การออกแบบส่วนประสมกลาง สำหรับ $k = 3$ [7]

การออกแบบส่วนประสมกลาง สามารถสรุปได้ดัง ตารางที่ 2-5

ตารางที่ 2-5 การออกแบบส่วนประสมกลาง [7]

จำนวนตัว แปร อิสระ (k)	จำนวนการทดลอง			จำนวนการ ทดลองรวม	α_D
	2^k	แนวแกน	จุด ศูนย์กลาง		
3	8	6	6	20	1.682
4	16	8	7	31	2.000
5	16	10	6	32	2.000
6	32	12	9	53	2.378

2.10.2 การวิเคราะห์ทางสถิติ

ปัญหาจำนวนมากเกี่ยวข้องกับตัวแปรที่มีความสัมพันธ์กัน ดังแต่สองตัวขึ้นไปซึ่งเราสนใจที่จะสร้างแบบจำลองและหาความสัมพันธ์ของตัวแปรเหล่านี้ โดยที่ผลตอบ (Response) ขึ้นอยู่กับค่าของตัวแปรอิสระ (Independent Variable) จำนวน k ตัว เช่น x_1, x_2, \dots, x_k ความสัมพันธ์ระหว่างตัวแปรเหล่านี้ถูกกำหนดโดยแบบจำลองทางคณิตศาสตร์เรียกว่า แบบจำลองการถดถอย (Regression Model) ซึ่งแบบจำลองนี้จะถูกสร้างขึ้นมาให้เหมาะสมกับข้อมูลตัวอย่างเช่นหนึ่งในบางครั้งผู้ทดลองทราบถึงรูปแบบที่แน่นอนของความสัมพันธ์ ในลักษณะที่เป็นพักรชันระหว่าง y และ x_1, x_2, \dots, x_k ก็แล้วคือ $y = \phi(x_1, x_2, \dots, x_k)$ อย่างไรก็ตาม ในกรณีส่วนมากแล้ว รูปแบบที่แน่นอนของความสัมพันธ์เหล่านี้เป็นสิ่งที่เราไม่ทราบ และดังนั้นผู้ทดลองจะต้องเลือกพักรชันที่เหมาะสมเพื่อที่จะใช้ในการประมาณ ϕ ซึ่งโดยมากแล้วเราจะใช้แบบจำลองพหุนาม อันดับต่ำ (Low Order) ในการประมาณพักรชันนี้ [24]

แบบจำลองกำลังหนึ่งที่ใช้ในการประมาณความสัมพันธ์แสดงดังสมการ [24]

$$y = \beta_0 + \beta_1 x_1 + \beta_2 x_2 + \dots + \beta_k x_k + \varepsilon \quad (2-25)$$

หากมีส่วนโคงเข้ามาเกี่ยวของในระบบ จะใช้พักรชันพหุนามที่มีกำลังสูงขึ้น เช่น แบบจำลองกำลังสอง ซึ่งแสดงดังสมการ [24]

$$y = \beta_0 + \sum_{i=1}^k \beta_i x_i + \sum_{i=1}^k \beta_{ii} x_i^2 + \sum_{i < j} \sum_{i < j} \beta_{ij} x_i x_j + \varepsilon \quad (2-26)$$

โดย β_{ij} คือ สัมประสิทธิ์การถดถอย
 ε คือ ค่าความผิดพลาด

การวิเคราะห์ทางสถิติที่เกี่ยวข้องสามารถสรุปได้ดังนี้

1. การประมาณค่าพารามิเตอร์ที่มีในแบบจำลอง

การประมาณค่าพารามิเตอร์ (β_{ij}) ในแบบจำลองนิยมใช้วิธีกำลังสองน้อยที่สุด (Least Square Method) ซึ่งเป็นการหาค่าของตัวประมาณ (Estimator, b_0) ที่ทำให้ค่าความคลาดเคลื่อน กำลังสองมีค่าน้อยที่สุด ในกรณีหาค่าของตัวประมาณจะใช้การแก้สมการปกติกำลังสองน้อยที่สุด ดังนี้ [25]

$$\begin{aligned}
 nh_0 + b_1 \sum_{i=1}^n x_{i1} + b_2 \sum_{i=1}^n x_{i2} + \dots + b_k \sum_{i=1}^n x_{ik} &= \sum_{i=1}^n y_i \\
 b_0 + \sum_{i=1}^n x_{i1} + b_1 \sum_{i=1}^n x_{i1}^2 + b_2 \sum_{i=1}^n x_{i1}x_{i2} + \dots + b_k \sum_{i=1}^n x_{i1}x_{ik} &= \sum_{i=1}^n x_{i1}y_i
 \end{aligned} \tag{2-27}$$

$$b_0 + \sum_{i=k}^n x_{ii} + b_1 \sum_{i=1}^n x_{ik}x_{ii} + b_2 \sum_{i=1}^n x_{ik}x_{i2} + \dots + b_k \sum_{i=1}^n x_{ik}^2 = \sum_{i=1}^n x_{ik}y_i$$

โดย y_i คือ ผลตอบที่ระดับ i
 x_{ij} คือ ตัวแปรอิสระที่ j ระดับที่ i

สมมุติให้เทอมความคลาดเคลื่อน ε มีค่าเฉลี่ยเท่ากับ 0 และความแปรปรวนเท่ากับ σ^2

2. การทดสอบนัยสำคัญของการทดสอบ

การทดสอบนัยสำคัญของการทดสอบ คือการทดสอบเพื่อที่จะตรวจสอบว่ามีความสัมพันธ์ระหว่างตัวแปรผลตอบและเชดย้อยของตัวแปรทดสอบ x_1, x_2, \dots, x_k หรือไม่ สมมติฐานที่เหมาะสมคือ [24]

$$\begin{aligned}
 H_0 : \beta_1 = \beta_2 = \dots = \beta_k = 0 \\
 H_a : \beta_i \neq 0 \text{ อย่างน้อยหนึ่งค่า}
 \end{aligned}$$

การปฏิเสธ H_0 บอกให้ทราบว่า อย่างน้อยสุดตัวแปรทดสอบ x_1, x_2, \dots, x_k หนึ่งตัวจะมีผลอย่างมีนัยสำคัญต่อแบบจำลอง วิธีในการทดสอบจะทำได้จากการแบ่งค่าผลรวมกำลังสอง (SS_{yy}) ออกเป็นผลรวมของกำลังสองเนื้องจากแบบจำลองหรือการทดสอบ (SS_R) กับผลรวมของกำลังสองเนื้องจากส่วนตกค้างหรือความคลาดเคลื่อน (SS_E) ซึ่งสามารถเปลี่ยนได้ตั้งสมการ [24]

$$SS_{\text{yy}} = SS_R + SS_E \tag{2-28}$$

$$SS_{\text{yy}} = \sum_{i=1}^n (y_i - \bar{y})^2 \tag{2-29}$$

$$SS_E = \sum_{i=1}^n (y_i - \hat{y}_i)^2 \tag{2-30}$$

$$SS_R = \sum_{i=1}^n (\hat{y}_i - \bar{y})^2 \quad (2-31)$$

โดย \bar{y} คือ ค่าเฉลี่ยของผลตอบที่ได้จากการทดสอบ
 \hat{y}_i คือ ค่าประมาณของผลตอบที่ได้จากการทำนาย

วิธีในการทดสอบสมมุติฐานคือ การคำนวณค่าสถิติ F ตามสมการ [24]

$$F_0 = \frac{\frac{(SS_R)}{k}}{\frac{SS_E}{(n-k-1)}} = \frac{MS_R}{MS_E} \quad (2-32)$$

โดย MS_R คือ ค่าเฉลี่ยผลรวมกำลังสองของการทดสอบ
 MS_E คือ ค่าเฉลี่ยผลรวมกำลังสองของความคลาดเคลื่อน
 n คือ จำนวนการทดสอบ
 k คือ จำนวนตัวแปรอิสระ

หากค่า F_0 มีค่ามากกว่า $F_{\alpha, k, n-k-1}$ โดย α แทนระดับนัยสำคัญ หรือ ค่าพี (P-value) ของค่าสถิติ F_0 มีค่าน้อยกว่า α จะปฏิเสธสมมติฐาน H_0 [24]

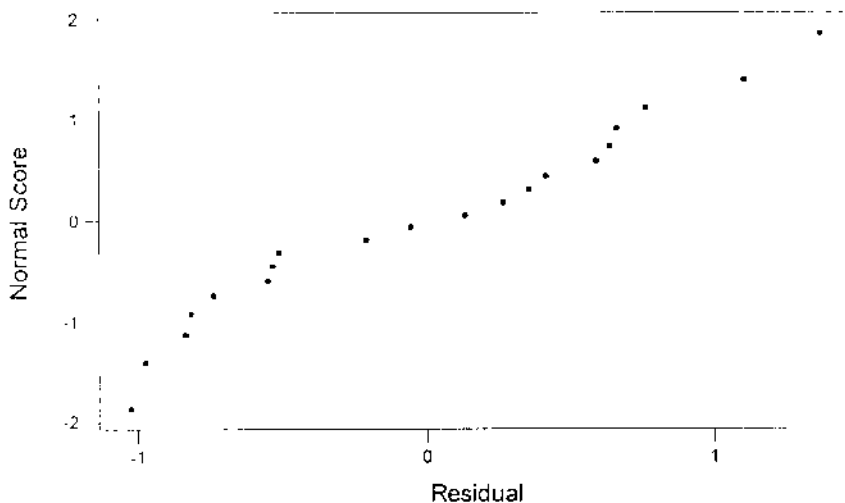
3. การวิเคราะห์ส่วนตกค้าง (residual analysis)

ก่อนที่จะนำข้อสรุปที่ได้จากการวิเคราะห์ความแปรปรวนไปใช้ จะต้องมีการตรวจสอบ ความเพียงพอ (Adequacy) ของแบบจำลองทางสถิติที่นำมาใช้เลี้ยงก่อน เครื่องมือที่ใช้ในการตรวจสอบคือ การวิเคราะห์ส่วนตกค้าง นิยามตามสมการ [24]

$$e_i = y_i - \hat{y}_i \quad (2-33)$$

การวิเคราะห์ส่วนตกค้างสามารถพิจารณาได้ โดยนำค่าส่วนตกค้างมาเขียนเส้นกราฟ แบบความน่าจะเป็นปกติ (Normal Probability Plot) หากวุ่นกราฟเป็นเส้นตรง ดังแสดงในภาพที่ 2-7 แสดงว่า แบบจำลองมีความถูกต้องเพียงพอ หากไม่เป็นดังนั้นจะต้องทำการแปลง ข้อมูลผลตอบให้เหมาะสมต่อไป [24]

Normal Probability Plot of the Residuals



ภาพที่ 2-7 ตัวอย่างกราฟความน่าจะเป็นของส่วนตากค้างของแบบจำลองที่ได้

4. การวิเคราะห์ส่วนตากค้างที่ถูกปรับค่า (Scaling Residual)

ส่วนตากค้างมาตรฐาน (Standardized Residual) นิยามตามสมการ [24]

$$d_i = \frac{e_i}{\sigma} \quad i = 1, 2, \dots, n \quad (2-34)$$

โดยทั่วไปในการคำนวณจะใช้ $\sqrt{MS_E}$ แทน σ ในการพิจารณาส่วนตากค้างมาตรฐานจะมีเกณฑ์ของค่า d_i อยู่ระหว่าง -3 ถึง 3 หากพบว่า มีค่าอยู่นอกช่วงดังกล่าวจะแสดงถึงความผิดปกติที่จุดนั้นๆ ซึ่งอาจจะเกิดจากความผิดพลาดในการเก็บข้อมูลหรือแบบจำลองไม่สามารถทำนายค่าผลตอบได้ใกล้เคียงกับผลตอบจริง

5. สัมประสิทธิ์การตัดสินใจ (Coefficient of Determination, R^2)

แม้จะได้แบบจำลองการทดสอบอย และผ่านการทดสอบสมมติฐานแล้วว่าผลตอบและตัวแปรมีความสัมพันธ์กัน แต่อาจจะมีความแตกต่างกันมากระหว่างค่าของผลตอบที่ได้จากการทดลอง และที่ได้จากการทำนาย ทำให้มีอัตราจำลองทดสอบไปใช้จะไม่ได้ผลที่ถูกต้อง ดังนั้นการหาค่าสัมประสิทธิ์การตัดสินใจ จะเป็นการยืนยันว่าจะสามารถยอมรับความแตกต่างได้หรือไม่นิยามตามสมการ [7]

$$R^2 = \frac{SS_R}{SS_{yy}} = 1 - \frac{SS_E}{SS_{yy}} \quad (2-35)$$

ถ้าค่าสัมประสิทธิ์การตัดสินใจ มากแสดงว่าสามารถยอมรับแบบจำลองได้มากด้วยเช่นกัน แต่ไม่มีข้อระบุว่าจะยอมรับได้ที่ค่าสัมประสิทธิ์การตัดสินใจเท่าไร ทั้งนี้ขึ้นอยู่กับผู้ที่ทำการวิเคราะห์ข้อมูล อย่างไรก็ตามการที่ค่าสัมประสิทธิ์การตัดสินใจ มากไม่ได้หมายความว่าตัวแปรถูกต้องทุกด้วยที่อยู่ในแบบจำลองจะมีนัยสำคัญ ดังนั้นอาจจะเป็นไปได้ว่าแบบจำลองที่มีค่าสัมประสิทธิ์การตัดสินใจมาก อาจจะเป็นแบบจำลองที่ไม่ดีในการพยากรณ์ค่าผลตอบกลับได้ [7]

6. สัมประสิทธิ์การตัดสินใจแบบปรับค่า (Adjusted Coefficient Of Determination, R^2_{adj})

สัมประสิทธิ์การตัดสินใจแบบปรับค่า นิยามตามสมการ [7]

$$R^2_{adj} = 1 - \frac{(n-1)SS_E}{(n-p)S_{yy}} \quad (2-36)$$

โดย p คือ จำนวนของพารามิเตอร์ในแบบจำลอง

ค่าสัมประสิทธิ์การตัดสินใจแบบปรับค่า ใช้ในการพิสูจน์แบบจำลองที่มีค่าสัมประสิทธิ์การตัดสินใจ สูงว่าเป็นแบบจำลองที่ดีหรือไม่ ซึ่งโดยทั่วไปค่าสัมประสิทธิ์การตัดสินใจแบบปรับค่า จะมีค่าต่ำกว่าค่าสัมประสิทธิ์การตัดสินใจเสมอ แต่ถ้าค่าสัมประสิทธิ์การตัดสินใจแบบปรับค่า และค่าสัมประสิทธิ์การตัดสินใจ มีค่าแตกต่างกันมาก หมายความว่ามีโอกาสสูงที่จะพบว่าพจน์ที่ไม่มีนัยสำคัญได้ถูกตัดออกในแบบจำลอง ดังนั้นจึงควรมีการปรับปรุงแบบจำลองโดยการตัดตัวแปรที่มีค่าเพิ่มมากกว่า ระดับนัยสำคัญ ซึ่งถ้าค่าสัมประสิทธิ์การตัดสินใจแบบปรับค่ามีค่าสูงขึ้น แสดงว่าแบบจำลองถูกปรับปรุงให้ดีขึ้น แต่ถ้าค่าสัมประสิทธิ์การตัดสินใจแบบปรับค่า มีค่าต่ำลง แสดงว่าตัวแปรนั้นควรอยู่ในแบบจำลองต่อไป [7]

7. การทดสอบแล็กออฟฟิต

การทดสอบนี้จะทำการแบ่งค่าผลรวมของกำลังสองเนื่องจากส่วนตกค้างหรือความคลาดเคลื่อน (SS_{L}) ออกเป็นสองส่วน ดังสมการ [24]

$$SS_E = SS_{PE} + SS_{LOF} \quad (2-37)$$

โดย SS_{PE} คือ ผลรวมของกำลังสองเนื่องจากความคลาดเคลื่อนบริสุทธิ์
 SS_{LOF} คือ ผลรวมของกำลังสองเนื่องจากแล็กออฟฟิต

สำหรับค่า SS_{p_f} และ SS_{LOF} สามารถคำนวณได้ตามสมการ [24]

$$SS_{p_f} = \sum_{i=1}^m \sum_{j=1}^n (y_{ij} - \bar{y}_i)^2 \quad (2-38)$$

$$SS_{LOF} = \sum_{i=1}^m n_i (\bar{y}_i - \hat{y}_i)^2 \quad (2-39)$$

โดย m คือ จำนวนระดับของตัวแปรอิสระที่มีการทดลองซ้ำ

ค่าสถิติที่ใช้ทดสอบแลกออฟพิจคือค่าสถิติ F แสดงดังสมการ [7]

$$F_0 = \frac{\frac{SS_{LOF}}{m-p}}{\frac{SS_{p_f}}{n-m}} = \frac{MS_{LOF}}{MS_{p_f}} \quad (2-40)$$

ถ้าค่า F_0 มีค่ามากกว่า $F_{\alpha, m-p, n-m}$ โดย α แทนระดับนัยสำคัญ หรือ ค่าพี (P-value) ของค่าสถิติ F_0 มีค่าน้อยกว่า α แสดงว่า แบบจำลองควรได้รับการปรับปรุงให้ดีขึ้น [7]

2.11 การลอยตะกอน

การลอยตะกอน (Flotation) เป็นวิธีการแยกสารแขวนลอยที่ยกต่อกาดตะกอนซึ่งแขวนลอยอยู่ในน้ำที่ต้องการนำบัด โดยทำให้ตะกอนเด่นๆ ลอยขึ้นสู่ผิวน้ำของเหลวเพื่อทำการกรاذทิ้งไป หลักการของการลอยตะกอนคือ การที่ผิวดอกอนดูดซับฟองกําชหรือเกิดการชนกันของฟองกําชกับตะกอน เพื่อทำให้ความถ่วงจำเพาะของมวลตะกอนแขวนลอยกับฟองอากาศมีค่าน้อยกว่าหนัก [26]

ในทางปฏิบัติระบบลอยตะกอนนิยมใช้เพื่อแยกตะกอนที่มีหนักเบา หรือตะกอนที่มีแนวโน้มจะลอยขึ้นมา ซึ่งถ้าใช้วิธีการกรاذตะกอน จะไม่สามารถทำได้เท่ากับวิธีการลอยตะกอน [26]

การนำระบบการลอยตะกอนไปใช้ในทางปฏิบัติ มีดังนี้ [26]

1. ใช้ทำหน้าที่บัดน้ำที่มีตะกอนแขวนลอยอยู่
2. ใช้ทำหน้าที่บัดน้ำเสียขึ้นต้นจากโรงงานอุตสาหกรรม
3. ใช้ทำหน้าที่แยกตะกอนบางประเภท เช่น ตะกอนเบาเนื่องจากเป็นระบบที่มีประสิทธิภาพในการแยกตะกอนบางชนิดได้ดีกว่าวิธีอื่น

2.11.1 ข้อดี-ข้อเสียของระบบลอยตะกอนแบบต่างๆ [26]

โดยทั่วไประบบลอยตะกอนมีข้อดี-ข้อเสียดังนี้

ข้อดี

1. พวກไนมัน ตะกอนเบา ตะกอนหนักต่างๆ สามารถแยกออกจากน้ำได้โดยใช้เพียงถังเดียว
2. ระบบนี้ต้องการพื้นที่ในการติดตั้งน้อย และระบบนี้มีค่าอัตรา返ล้นออกสูง และมีเวลาเก็บกักต่ำ ซึ่งหมายความว่า ใช้ถังที่มีขนาดเล็ก ส่งผลให้ประหยัดค่าระบบก่อสร้าง
3. ระบบนี้ไม่มีปัญหาเรื่องกลิ่นรบกวน เพราะเวลาเก็บกักของน้ำในถังloyตะกอนมีน้อย และปริมาณออกซิเจนของน้ำในถังloyตะกอนจะมีมากเกินพอ จึงไม่ก่อให้เกิดปัญหาเรื่องกลิ่นเหม็นรบกวน
4. มีประสิทธิภาพในการแยกอยู่ตะกอนบางประเภท เช่น พวกดะกอนเบา ได้ดีกว่าวิธีอื่น
5. ตะกอนต่างๆ ที่ถูกแยกออกจากน้ำบางชนิด สามารถนำไปใช้ประโยชน์ได้ เช่น น้ำมันนำไปใช้เป็นเชื้อเพลิง

ข้อเสีย

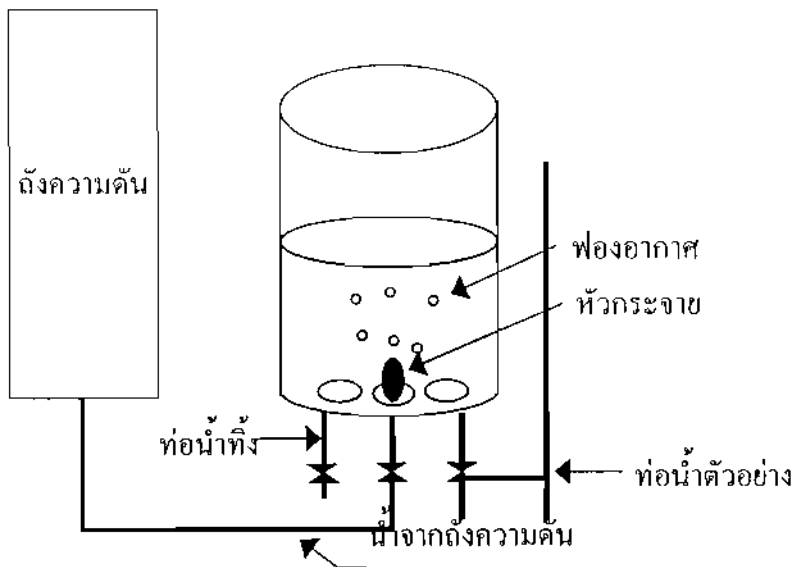
1. ต้องการเครื่องมือในการควบคุมระบบมากกว่าถังตะกอนธรรมด้า ค่าไฟฟ้า ค่าสารเคมีค่าบำรุงรักษา จะสูงกว่าการใช้ถังตะกอน
2. มีประสิทธิภาพในการแยกตะกอนหนักต่ำกว่าระบบถังดักตะกอน
3. ระบบloyตะกอนแบบสูญญากาศ (Vacuum Flotation) มีราคาสูงเนื่องจากถังloyตะกอนต้องมีขนาดใหญ่ ต้องมีความแข็งแรง และต้องดูดควาครอบบนอย่างสม่ำเสมอไม่ให้มีรอยแตกร้าวในถัง ถ้ามีเพียงเล็กน้อยระบบการloyตะกอนนี้จะไม่สามารถทำงานได้อย่างมีประสิทธิภาพ
4. การควบคุมระบบจะมีความยุ่งยากมากกว่าถังดักตะกอน

2.11.2 การจำแนกระบบloyตะกอน

การloyตะกอนที่ใช้ในการบำบัดน้ำมีอยู่ด้วยกัน 5 ประเภท [27]

2.11.2.1 ระบบloyตะกอนด้วยหลักการละลายน้ำอากาศ (Dissolved Air Flotation)

เป็นระบบที่ใช้กันอย่างแพร่หลายมากที่สุด โดยอัดอากาศเข้าไปในน้ำที่อยู่ภายใต้ความดันสูงกว่าความดันบรรยากาศ ทั้งนี้เพื่อระดับของการให้อากาศละลายน้ำได้มากขึ้น หลังจากนั้น จึงลดความดันของน้ำลงไปที่ความดันบรรยากาศอย่างรวดเร็ว อากาศส่วนเกินจากชุดอิมิตะจะแยกตัวออกมาน้ำเป็นฟองอากาศเล็กๆ พาสิ่งสกปรกลอยขึ้นสู่ผิวน้ำ ตามภาพที่ 2-8

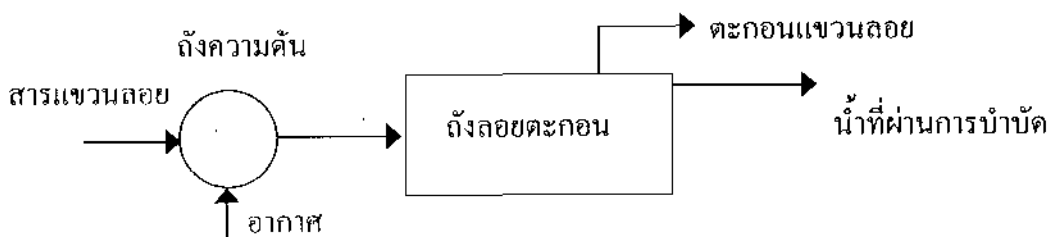


ภาพที่ 2-8 ระบบลอยดะกอนด้วยหลักการละลายของอากาศ [27]

กระบวนการลอยดะกอนด้วยหลักการละลายของอากาศ แบ่งออกเป็น 4 แบบ [27]

1. ระบบอัดอากาศแบบฟูลสตรีม (Full-Stream Pressurization)

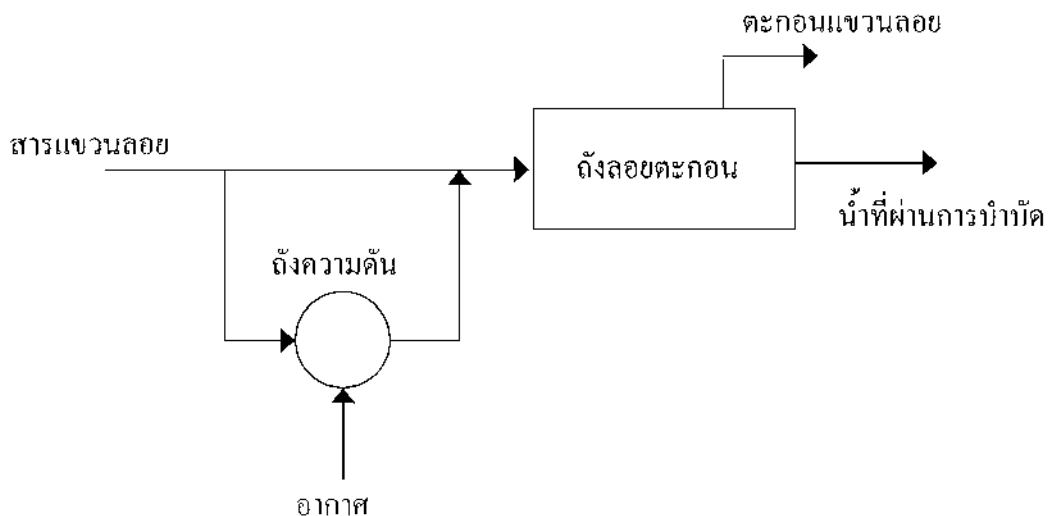
เป็นกระบวนการที่ผ่านสารเข้าสู่ห้องด้วยลมที่อัดอากาศที่ถังความดัน และส่งต่อไปยังถังลอยดะกอน ตามภาพที่ 2-9 วิธีนี้ใช้ได้เมื่อมีดะกอนแขวนลอยในน้ำสูง แต่มีข้อเสียคือ ดะกอนที่รวมด้วยกันส่วนหนึ่งจะถูกทำให้แตกตัวเนื่องจากการอัดความดันในถังความดัน ทำให้ยากต่อการดักเก็บดะกอน และความสามารถในการละลายของอากาศในน้ำมีค่าต่ำกว่าการละลายในน้ำบริสุทธิ์ทำให้ฟองอากาศเกิดขึ้นน้อยกว่า



ภาพที่ 2-9 ระบบอัดอากาศแบบฟูลสตรีม [27]

2. ระบบอัดอากาศแบบสปริทสตรีม (Split Stream Pressurization)

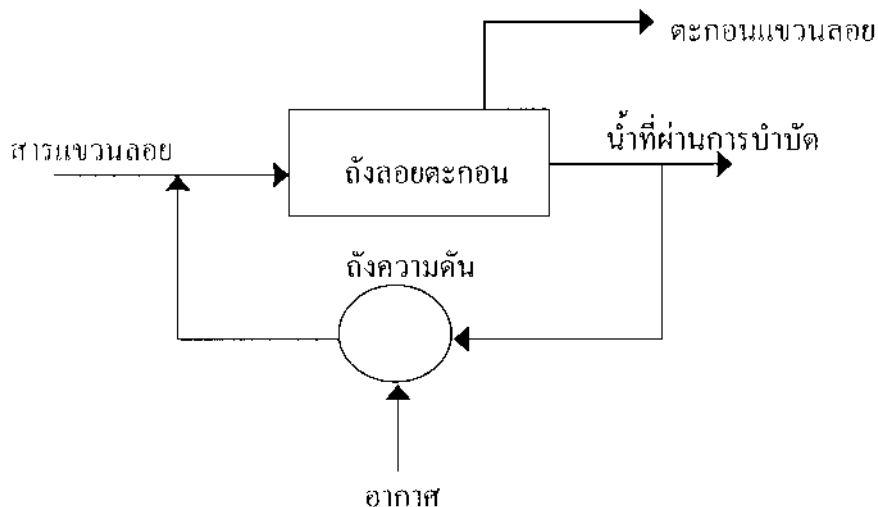
ระบบนี้เป็นการทำงานโดยการแยกสารแขวนลอยออกเป็น 2 ส่วน ส่วนหนึ่งจะมาอัดอากาศแล้วจึงไปรวมกับสารแขวนลอยอีกส่วนก่อนที่จะส่งต่อไปยังถังลอยตะกอน ตามภาพที่ 2-10 ระบบนี้หมายความว่าบัน้ำที่มีปริมาณของแข้งแขวนลอยในปริมาณต่ำ ข้อเสียของระบบนี้ มีเช่นเดียวกับระบบอัดอากาศแบบฟูลสตรีม



ภาพที่ 2-10 ระบบอัดอากาศแบบสปริทสตรีม [27]

3. ระบบอัดอากาศแบบบีไซค์สตรีม (Recycle-Stream Pressurization)

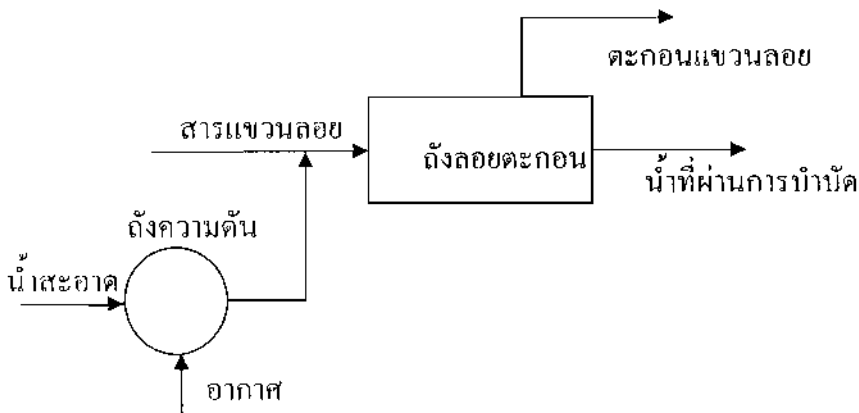
ระบบนี้เป็นการทำงานโดยนำเอาน้ำที่ผ่านการบำบัดแล้ว (Effluent) มาอัดอากาศก่อน ที่จะนำไปรวมกับสารแขวนลอยแล้วปล่อยเข้าสู่ถังลอยตะกอน ตามภาพที่ 2-11 ระบบนี้เป็นระบบที่ใช้งานมากที่สุดเนื่องจากทั้ง 2 ระบบข้างต้นทำให้ต้องเกิดการแตกตัวขณะเพิ่มความดันอีกทั้งระบบนี้อากาศสามารถหลีกภัยในน้ำได้ดีกว่า 2 ระบบแรก แต่ระบบนี้จะมีขนาดของอุปกรณ์ที่ใหญ่กว่า 2 ระบบแรก



ภาพที่ 2-11 ระบบอัดอากาศแบบรีไซค์เคิลสตรีม [27]

4. ระบบอัดอากาศแบบคลีนวอเตอร์ (Clean-Water Pressurization)

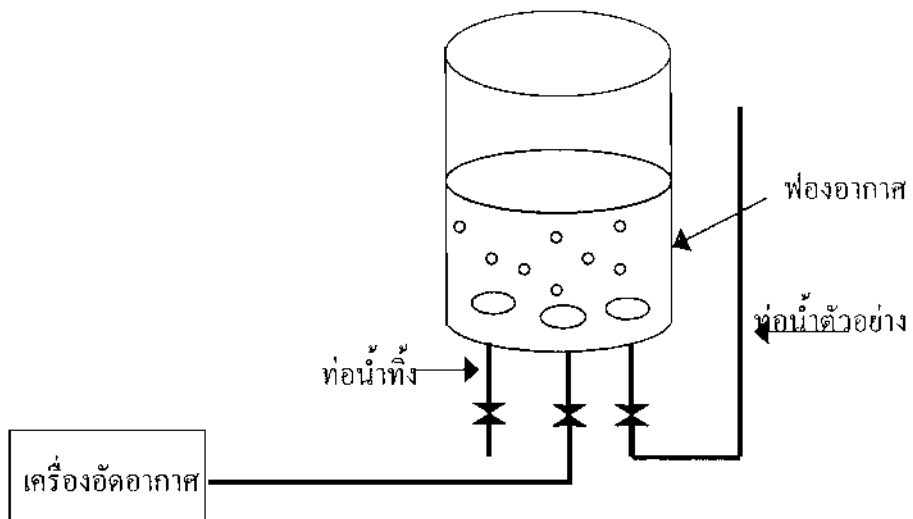
เป็นกระบวนการที่มีระบบการทำงานคล้ายกับระบบ Recycle-Stream Pressurization แต่ต่างกันที่น้ำที่เข้าถังความดันเป็นน้ำสะอาด แทนที่จะเป็นน้ำที่ผ่านการบำบัดแล้ว ตามภาพที่ 2-12 ระบบนี้สามารถละลายน้ำได้มากกว่า 3 ระบบแรก ทำให้เกิดฟองอากาศขนาดเล็กที่มีปริมาณมากกว่า แต่จะมีข้อเสียคือ ต้องใช้น้ำสะอาดป้อนเข้าสู่ถังความดันตลอด ทำให้สิ้นเปลืองน้ำสะอาด



ภาพที่ 2-12 ระบบอัดอากาศแบบคลีนวอเตอร์ [27]

2.11.2.2 ระบบลอยตะกอนแบบติดเพิร์สแวร์ (Dispersed Air Flotation)

ระบบนี้เป็นการทำงานโดยการเป่าอากาศเข้าไป ในสารละลายน้ำหนักจ่ายให้อากาศกระจายตัว ฟองอากาศจะพาตะกอนแขวนลอยและสิ่งสกปรกขึ้นสู่ผิวน้ำ ตามภาพที่ 2-13 วิธีนี้ จะได้ฟองอากาศที่มีขนาดใหญ่กว่าระบบลอยตะกอนด้วยหลักการละลายน้ำของอากาศ



ภาพที่ 2-13 ระบบลอกตะกอนแบบดิสเพร์สแวร์ [27]

2.11.2.3 ระบบการลอกตะกอนแบบฟรอท (Froth Flotation)

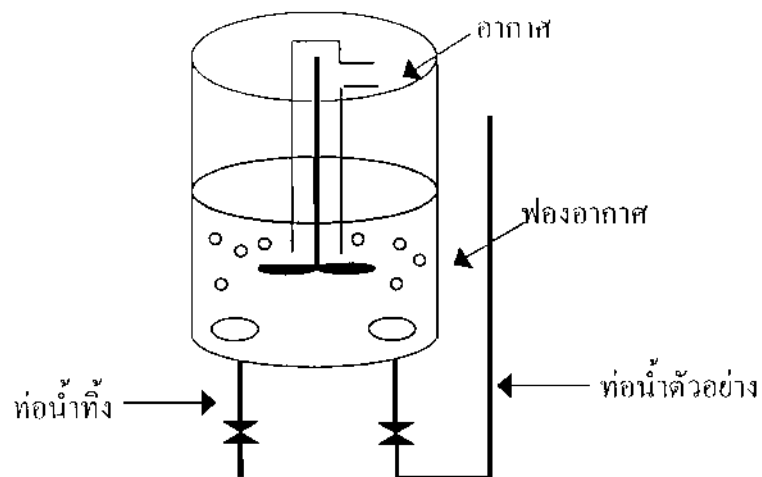
ระบบเป็นการทำงานโดยการเติมอากาศผ่านในการความเร็วรอบสูง ฟองอากาศจะถูกตีให้แตกกระจายเป็นฟองขนาดเล็ก พาตะกอนแขวนลอกและสิ่งสกปรกลอยขึ้นสู่ด้านบน ตามภาพที่ 2-14 วิธีนี้นิยมไปใช้ในการแยกสินแร่

2.11.2.4 ระบบลอกตะกอนแบบอิเล็คโทรไลติก (Electrolytic Flotation)

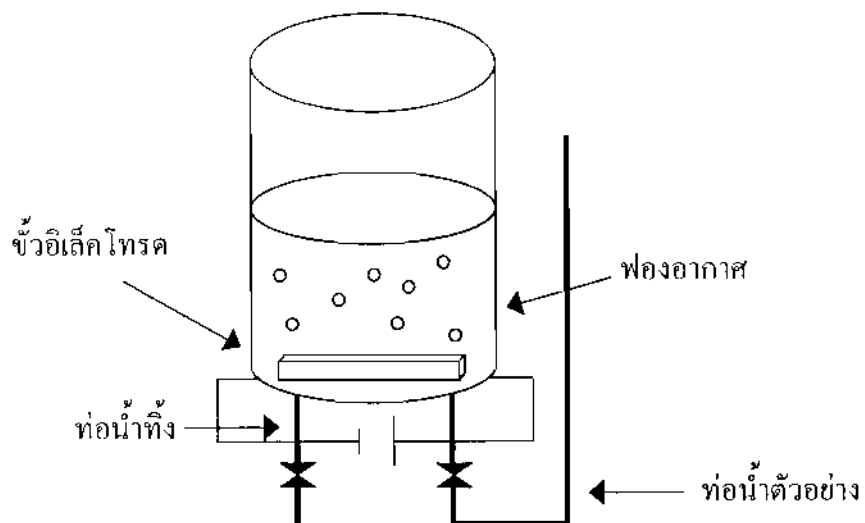
ระบบนี้เป็นการทำงานโดยการผลิตฟองอากาศ เพื่อใช้ในการแยกตะกอนแขวนลอก โดยใช้กระแสไฟฟ้ากระแสตรงผ่านเข้าที่ข้าวอิเล็คโทรด ซึ่งที่ข้าวอิเล็คโทรดจะเกิดฟองกําชขนาดเล็กพาตะกอนแขวนลอกขึ้นสู่ผิวน้ำ ตามภาพที่ 2-15

2.11.2.5 ระบบลอกตะกอนแบบสูญญากาศ (Vacuum Flotation)

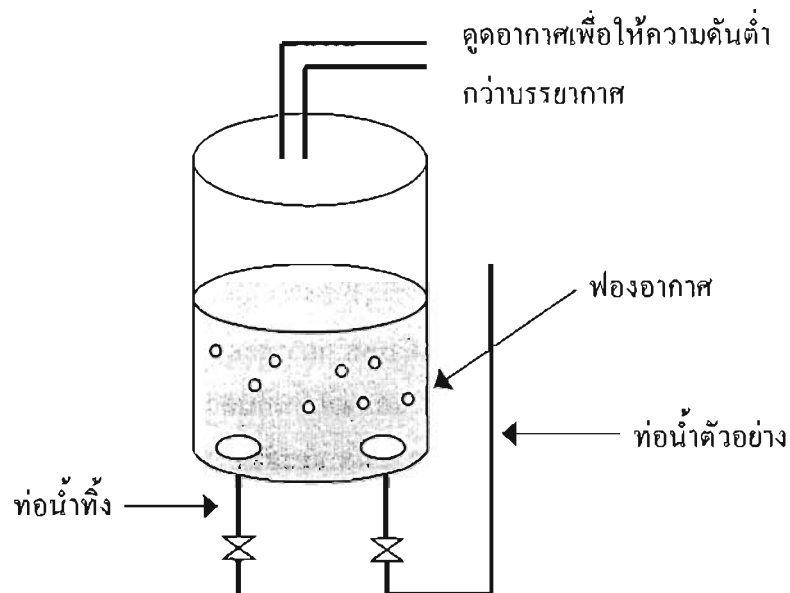
ระบบนี้จะตรงกันข้ามกับระบบลอกตะกอนด้วยหลักการละลายของอากาศ คือพยายามเบ่าอากาศลงในน้ำเสียจนถึงจุดอิ่มตัว ซึ่งมีอยู่ 2 วิธี คือ เบ่าอากาศลงในน้ำเสียโดยตรงหรืออีกวิธีคือ ปล่อยให้อากาศเข้าไปในเครื่องสูบน้ำเอง ระบบนี้จะใช้ถังปิดซึ่งจะเก็บน้ำที่เบ่าอากาศลงไปจนถึงจุดอิ่มตัว ขณะนี้ภายในถังจะมีสภาพเป็นสูญญากาศ เมื่อถังนี้ได้ถูกเปิดออกโดยใช้ตัวควบคุม瓦ล์ว อากาศที่ละลายอยู่ในน้ำจะแยกออกจากน้ำในลักษณะของฟองอากาศเล็กๆ โดยที่ฟองอากาศเล็กๆ เหล่านี้จะพาตะกอนต่างๆ ในน้ำเสีย ลอยขึ้นมาบนผิวน้ำซึ่งสามารถแยกออกจากการน้ำโดยการกรองหรือสูบออก ตามภาพที่ 2-16



ภาพที่ 2-14 ระบบลอยตะกอนแบบฟรอก [27]



ภาพที่ 2-15 ระบบลอยตะกอนแบบอิเล็กโทรไลติก [27]



ภาพที่ 2-16 ระบบลอกตะกอนแบบสูญญากาศ [27]

2.11.3 กระบวนการลอกตะกอนด้วยหลักการละลายของอากาศ [28]

ประกอบด้วย 4 ขั้นตอนหลัก ดังนี้

1. การละลายของอากาศในน้ำ เพื่อเพิ่มปริมาณอากาศที่ใช้ในการลอกตะกอน
2. การลดความดัน เพื่อก่อให้เกิดฟองอากาศขนาดเล็ก
3. การซนของฟองอากาศขนาดเล็กกับอนุภาคเพื่อให้อนุภาคมีความหนาแน่นลดลง และลอยขึ้น
4. การดักเก็บตะกอนหรืออนุภาคที่ลอยขึ้นสู่ผิวน้ำ

2.11.3.1 การละลายของอากาศในน้ำ

ปริมาณอากาศที่ละลายในน้ำขึ้นกับความดันของระบบ โดยเป็นไปตามกฎของเอนริ ชีง มวลกําชที่ละลายในน้ำจะแปรผันตามความดันย่อย และปริมาณกําชตามทฤษฎีที่ถูกกล่าวถึง ออกมารากสารละลายเมื่อลดความดันลงมาที่ความดันบรรยายกาศ คำนวณจากสมการ

$$S_p = S_g \left(\frac{P}{14.7} - 1 \right) \quad (2-41)$$

เนื่องจากอากาศละลายในน้ำทั่วไปได้น้อยกว่าการละลายในน้ำบริสุทธิ์ ดังนั้นต้องปรับสมการเป็น

$$S_p = S_g \left(\gamma \frac{P}{14.7} - 1 \right) \quad (2-42)$$

- โดยที่ R_p คือ ปริมาณกําชที่ปล่อยออกมานี้ความดันบรรยากาศ, (มิลลิกรัม/ลิตร)
 R_s คือ ปริมาณกําซอีมตัวที่ความดันบรรยากาศ, (มิลลิกรัม/ลิตร) หากค่าได้จาก
 เอกสารอ้างอิง
 P คือ ความดันสมบูรณ์, (Psia)
 γ คือ ประสิทธิภาพของการละลาย, ไว้หน่วย

ความตันแก๊สที่ใช้ในระบบลอยตะกอนด้วยหลักการละลายของอากาศ ปกติมีค่าอยู่ในช่วง 3-6 บาร์เกจ การละลายของอากาศในน้ำ นอกจากขึ้นกับความดันและคุณลักษณะของน้ำแล้ว ยังขึ้นกับรูปแบบของการเติมอากาศคือ เวลาสัมผัส และสัมประสิทธิ์การพามาล ซึ่งเมื่อพิจารณา การเติมอากาศในน้ำแล้ว จะมีหลายวิธีดังนี้

1. ระบบสปาร์คแอร์ (Sparged Air System) อากาศจากเครื่องสูบน้ำอากาศถูกอัดผ่านหัวกระเจ้าเข้าไปในน้ำที่ความดันระบบ พนวณประสิทธิภาพของการทำให้อากาศอีมตัวขึ้นกับอัตราการไหลของอากาศและเวลาในการสัมผัส

2. ระบบแอร์อินเจคชัน (Air Injection System) อากาศถูกอัดโดยปั๊มเข้าไปผสมกับน้ำภายในปั๊ม พนวณจะเกิดการลือคตัวของอากาศภายในปั๊ม ทำให้อัตราการไหลของน้ำลดลง และปั๊มที่ใช้ต้องเป็นปั๊มนิ่มชนิดพิเศษที่สามารถก่อการเกิดควิเดชัน (Cavitation) ได้ดี

3. ระบบแพคคอลัมม์ (Packed Column System) เมื่อนอกจากระบบสปาร์คแอร์ แต่ถังความดันมีการบรรจุแพคกิ้ง (Packing) เพื่อเพิ่มพื้นที่ผิวสัมผัส

การละลายของอากาศในน้ำของระบบแพคคอลัมม์ ให้ประสิทธิภาพสูงสุดประมาณร้อยละ 90 ที่ความดันภายในสูงกว่า 3 บาร์เกจ ขณะที่ระบบแอร์อินเจคชันให้ประสิทธิภาพการละลาย สูงสุดเพียงร้อยละ 25 ของค่าตามทฤษฎี เนื่องมาจากการเกิดการลือคตัวของอากาศภายในปั๊ม และระบบสปาร์คแอร์ให้ประสิทธิภาพการละลายสูงสุดเพียงร้อยละ 60-70 ของค่าตามทฤษฎี

2.11.3.2 การเกิดฟอง (Bubble Formation)

ฟองอากาศในน้ำที่เกิดจากสารละลายอีมตัวยิ่งยาด (Supersaturated) มีสาเหตุ 2 ประการ ประการแรกเกิดจากการเนื้อเยื่าน้ำให้เกิดฟองอากาศในของเหลว ขณะที่ลดความดันระบบลง ซึ่งสามารถเกิดได้กับระบบเนื้อดีเยา (Homogeneous) ประการที่สองเป็นผลจากการรวมตัวของฟองอากาศขนาดเล็กมากที่เกะอยู่ตามผิวของอนุภาคของแข็ง ซึ่งการศึกษาการเกิดฟอง ประกอบด้วยพารามิเตอร์ ดังนี้

1. กลไกของการเกิดฟองอากาศ ฟองอากาศขนาดเล็กในกระบวนการลอยตะกอน มีสาเหตุจากการเกิดควิเดชันของน้ำอีมตัวที่ความดันสูง เมื่อน้ำไหลผ่านอุปกรณ์ที่ทำให้ความดันของน้ำลดลง อุปกรณ์ที่ว่านี้ในทางปฏิบัติ ได้แก่ วาล์วเรียม (Needle Valve) แผ่นออริฟิส เป็นต้น จากการศึกษาภาพถ่ายพบว่าฟองอากาศขนาดเล็ก เกิดขึ้นที่บริเวณ อุปกรณ์ลดความดัน ไม่ใช่เกิดในถังตเก็บตะกอน

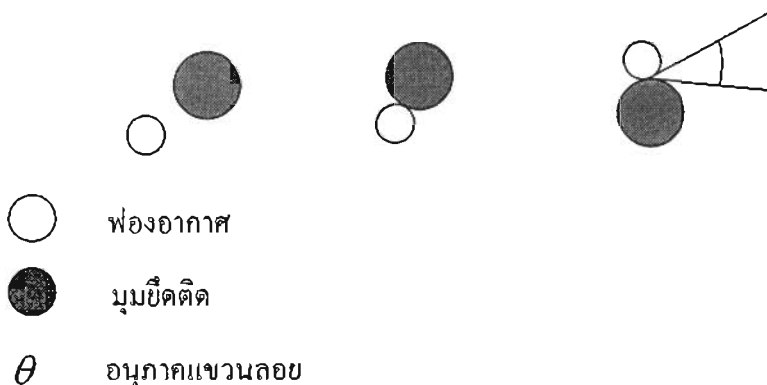
2. ขนาดของฟองอากาศ พบว่าชีนกับลักษณะของอุปกรณ์ลดความดัน และคุณลักษณะ การไหลของของเหลวจะทำให้ลดความดัน ถ้าลักษณะการไหลทำให้เกิดการไหลปั่นป่วน ทำให้ เกาะในการกระจายตัวมีค่าเพิ่มขึ้น โดยที่ที่เกิดฟองอากาศขนาดใหญ่จะมีค่าเพิ่มขึ้น

3. อิทธิพลของพารามิเตอร์ต่อการเกิดฟองอากาศ พบว่า คุณสมบัติเฉพาะตัวของ สารละลายจะมีผลต่อการเกิดฟองอากาศ เช่น ค่าสัมประสิทธิ์การถ่ายเทน้ำล เป็นผลโดยตรงต่อ การละลายของอากาศในสารละลายในน้ำท้าไป จะมีค่าสัมประสิทธิ์การถ่ายเทน้ำลต่ำกว่า น้ำบริสุทธิ์ ปริมาณอากาศที่ละลายในน้ำท้าไปยังมีค่าต่ำกว่าทำให้ปริมาณฟองอากาศที่เกิดขึ้น น้อยกว่า แรงดึงผิวเป็นอีกพารามิเตอร์หนึ่งซึ่งมีอิทธิพลต่อการเกิดฟอง พบว่าสารละลายที่มี ค่าแรงดึงผิวสูงจะเกิดฟองอากาศขนาดใหญ่และสารละลายที่มีแรงดึงผิวต่ำ จะเกิดฟองอากาศ ขนาดเล็กกว่า นอกจากนี้ยังมีผลของความดันที่อัดเข้าไปในสารละลาย พบว่าเมื่อเพิ่มความดัน มากขึ้นฟองอากาศมีขนาดเล็กลงและมีแนวโน้มคงที่ เมื่อเพิ่มความดันไปถึงระดับหนึ่ง และ ผลของอุณหภูมิ พบว่า ที่อุณหภูมิต่ำ การละลายของอากาศในสารละลายมีค่าเพิ่มขึ้นปริมาณ ฟองอากาศที่ปลดปล่อยมีค่าสูงขึ้น

2.11.3.3 การสัมผัสของฟองอากาศและตะกอนในระบบโลยตะกอน

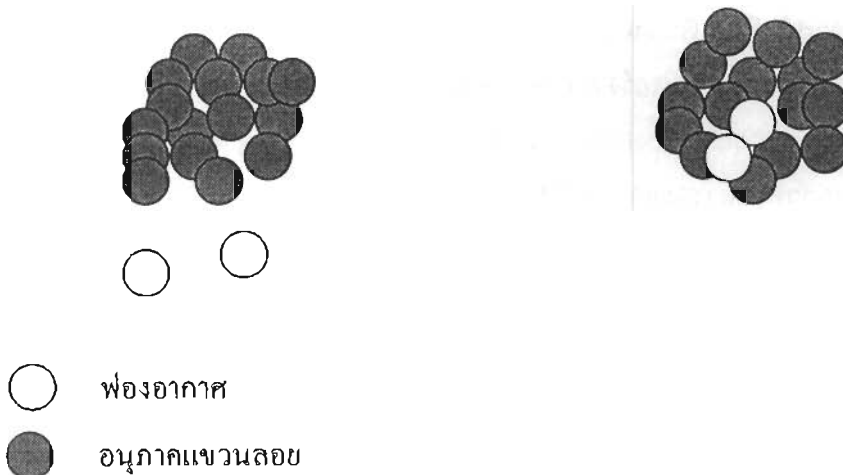
ขั้นตอนนี้มีผู้ศึกษาน้อยมาก Vrablik [29] ได้เสนอคลิปการชั้นระหัวงฟองอากาศกับ ตะกอนในระบบโลยตะกอนไว้ 3 กลไก คือ

- การยึดติด (Adhesion) ของฟองอากาศบนตะกอนแนวลอย



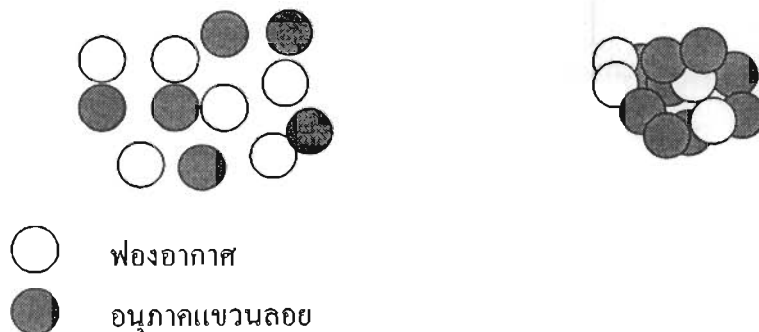
ภาพที่ 2-17 การยึดติดของฟองอากาศบนตะกอนแนวลอย [29]

- การยึดจับทางกายภาพ (Physical Entrapment) ของฟองอากาศในโครงสร้างของ ตะกอนแนวลอย



ภาพที่ 2-18 การจัดยึดทางกายภาพของฟองอากาศ [29]

3. การดูดซับ (Incorporation) ของฟองกําชขณะที่เกิดตะกอน



ภาพที่ 2-19 การดูดซับของฟองกําชขณะที่เกิดตะกอน [29]

การเกิดการยึดติดอาจเป็นผลมาจากการชนกัน ระหว่างฟองอากาศและตะกอนแข็งแขวนลอย อย่างไรก็ตามยังไม่มีการทดลองที่กล่าวถึงกลไกที่เกิดขึ้นของการสัมผัสของฟองอากาศ ในระบบลอยตะกอนอย่างชัดเจน ในระบบลอยตะกอน ที่มีน้ำป้อนเวียนกลับจะเกิดกลไกการชน และยึดติดมาก ซึ่งอากาศมีโอกาสสูงมากที่จะเกิดนิวเคลียติ (Nucleating) ระหว่างที่ลดความดัน การยึดติดของฟองอากาศบนตะกอน เป็นผลจากการชนของฟองอากาศที่กระจายในของเหลว กับตะกอนเกิดเป็นตะกอนที่เสถียร ดังนั้นมุ่งของการชนกันระหว่างฟองอากาศกับพื้นผิวของตะกอนเป็นสิ่งสำคัญ ซึ่งในการศึกษาสามารถกระทำได้โดยการเปลี่ยนค่าไฮdroฟอฟิคซิตี้ (Hydrophobicity) ของพื้นผิวตะกอน

กลไก 2 และ 3 นี้ไม่ได้ขึ้นกับคุณสมบัติที่ผิวของตะกอนของแข็ง แต่ขึ้นกับคุณลักษณะภายในทางโครงสร้างของตะกอนที่มีกลไกการเกิดขึ้นเป็นแบบอนซีเลคทิก (Nonselective) และทุกโครงสร้างของตะกอนสามารถดักจับ (Trapping) ฟองอากาศได้ เนื่องจากพื้นที่ผิวขนาดใหญ่ของตะกอนของแข็งและการเดินสารโพลีอีเลคโตรไลท์ และเกลือของโลหะช่วยทำให้ตะกอนเกิดการรวมตัวได้

2.11.3.4 การดักเก็บตะกอนหรือน้ำภาคที่ลอยขึ้นสู่ผิวน้ำ

การดักเก็บตะกอนสามารถดักเก็บได้จากการติดตั้งในภาชนะ (Skimmer) ทางด้านบนของถังลอยตะกอนหรือการกักเก็บโดยการติดตั้งแผ่นกัน (Baffle) ภายในถังลอยตะกอน

2.11.4 การประยุกต์ใช้ระบบลอยตะกอนในอุตสาหกรรม [27]

นิยมใช้มากในการแยกของแข็ง/ของเหลว ได้จำแนกการประยุกต์ใช้เป็น 4 หัวข้อ คือ การเก็บเกี่ยวผลผลิต (Product Recovery) การทำน้ำสะอาด (Water Clarification) การเพิ่มความเข้มข้นของตะกอน (Sludge Thickening) และการนำพลังงานกลับมาใช้ใหม่ (Energy Recovery) โดยอุตสาหกรรมที่ใช้ระบบลอยตะกอน มีดังนี้

1. อุตสาหกรรมกระดาษ ใช้ในการนำเยื่อกระดาษกลับมาใช้ใหม่ เพื่อลดปริมาณน้ำเสียอุตสาหกรรมอาหาร ใช้ในการนำไปมันกลับมาใช้เป็นเชื้อเพลิง
2. อุตสาหกรรมปิโตรเคมี ใช้ในการนำน้ำมันและน้ำเสียจากโรงงานปิโตรเคมีกลับมาใช้เป็นเชื้อเพลิง
3. อุตสาหกรรมสินแร่ ใช้ในการแยกสินแร่ที่มีค่า
4. การบำบัดน้ำเสีย มีการนำระบบลอยตะกอนไปใช้งานมากที่สุด ใช้ในการแยกตะกอนของแข็งออกจากน้ำ
5. การเพิ่มความเข้มข้นของตะกอน ในกรณีที่ตะกอนเป็นผลิตภัณฑ์ที่มีคุณค่า
6. ในการผลิตน้ำประปา แยกตะกอนสิ่งสกปรกออกด้วยระบบลอยตะกอน แทนที่จะใช้ถังตะกอน

2.12 เสถียรภาพของ colloidal

เสถียรภาพของ colloidal ดูอย่างที่กระทำระหว่างอนุภาคที่แขวนลอยอยู่ในตัวกาง โดยที่แรงเหล่านี้คือ แรงทางไฟฟ้า (Electrostatic) ที่เกิดจากชั้นของประจุ (Electrical Double Layer) ที่ล้อมรอบอนุภาค ซึ่งถ้าเป็นอนุภาคมีประจุที่เหมือนกันแขวนลอยอยู่ จะมีแรงผลักที่เกิดจากประจุที่ล้อมรอบอนุภาคันน์ ทำให้ไม่สามารถกันได้จึงเกิดความชุนขึ้นในน้ำ แต่ถ้าอนุภาคมีประจุต่างกันจะเกิดแรงดูดระหว่างอนุภาค นอกเหนือนั้นแรงระหว่างอนุภาคยังประกอบไปด้วยแรงดึงดูดชนิดแรงวานเดอร์วัลล์ (Van Der Waals Forces) ซึ่งเป็นแรงดึงดูดทางไฟฟ้าที่เกิดจากแรงดึงดูดระหว่างชั้วคู่ชั้นิดชั้วคราว (Temporary Dipoles) ที่อยู่บนพื้นผิว [30]

2.12.1 ทฤษฎี DLVO

ในปี ค.ศ. 1940 Derjaguin Landau Verway และ Overbeek ได้เสนอทฤษฎีที่เกี่ยวข้องกับเสถียรภาพของคอลloid โดยกล่าวว่า เสถียรภาพของคอลloid ถูกพิจารณาโดยการรวมกันของแรง 2 แรง คือ แรงผลักระหว่างอนุภาคที่เกิดจากแรงทางไฟฟ้าและแรงดูดระหว่างอนุภาคที่เกิดจากแรงวนเดอร์วาร์ล์ ตามสมการ [31]

$$V_T = V_A + V_R \quad (2-43)$$

โดยที่ V_T คือ พลังงานศักย์รวมทั้งหมด (total potential energy)

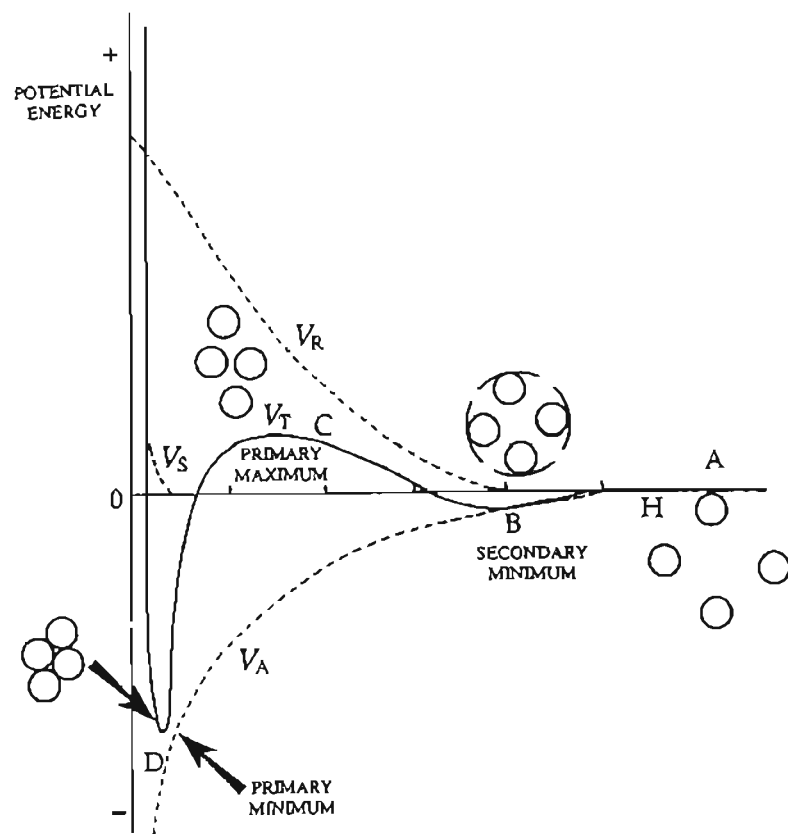
V_A คือ พลังงานที่เกิดจากแรงดึงดูดชนิดแรงวนเดอร์วาร์ล์

V_R คือ พลังงานที่เกิดจากแรงผลักทางไฟฟ้า

เมื่อ V_T เป็นฟังก์ชันของระยะห่างระหว่างอนุภาค (H) ภาพที่ 2-20 แสดงความสัมพันธ์ระหว่างพลังงานศักย์และระยะทางระหว่างอนุภาค [30]

จากภาพที่ 2-20 แสดงให้เห็นว่า เมื่ออนุภาคห่างกันเป็นระยะทางมากๆ (ช่วงเอ) เช่น มากกว่า 100 นาโนเมตร พลังงานที่เกิดจากแรงดึงดูดชนิดวนเดอร์วาร์ล์ (V_A) และพลังงานที่เกิดจากแรงผลักทางไฟฟ้า (V_R) จะไม่มีผลต่อนุภาค เมื่ออนุภาคเข้าใกล้กันมากขึ้น (ช่วงบี) เช่น มากกว่า 60 นาโนเมตร แรงดึงดูดชนิดวนเดอร์วาร์ล์ และ แรงผลักทางไฟฟ้า จะมีค่าเพิ่มขึ้น โดยที่แรงผลักทางไฟฟ้าจะมีค่าเพิ่มขึ้นมากกว่าแรงดึงดูดชนิดวนเดอร์วาร์ล์ ทำให้ออนุภาคในช่วงนี้มีแนวโน้มมารวมตัวกัน แต่เมื่ออนุภาคเข้าใกล้กันมากขึ้นโดยมีระยะห่างประมาณ 20 นาโนเมตร (ช่วงซี) ซึ่งในช่วงนี้แรงผลักทางไฟฟ้ามีค่ามากกว่าแรงดึงดูดชนิดวนเดอร์วาร์ล์ ทำให้เกิดพลังงานขัดขวาง (Energy Barrier) การรวมตัวกันของอนุภาค ปรากฏการณ์นี้จะเกิดขึ้นจนถึงช่วงดี ซึ่งเป็นช่วงที่แรงดึงดูดชนิดวนเดอร์วาร์ล์มีค่ามากกว่าแรงผลักทางไฟฟ้ามาก ทำให้ออนุภาครวมตัวกันแบบผันกลับไม่ได้ (Irreversible Coagulate) [30]

พฤติกรรมในการรวมตัวกันของอนุภาคถูกกำหนดโดยพลังงานจลน์ (Kinetic Energy) ถ้าพลังงานจลน์ของอนุภาคมีค่ามากกว่าพลังงานขัดขวางการรวมตัวกันของอนุภาค จะทำให้ออนุภาคเกิดการรวมตัวกันที่ตำแหน่งต่ำที่สุดของช่วงดี (Primary Minimum) แต่ถ้าอนุภาคไม่มีพลังงานจลน์มากพอที่จะเอาชนะพลังงานขัดขวางการรวมตัวกันของอนุภาค จะทำให้ออนุภาคเกิดการกระจายตัวหรือเกิดการรวมตัวกันอย่างอ่อนที่ตำแหน่งต่ำที่สุดของช่วงซี (Secondary Minimum) ซึ่งการรวมตัวกันของอนุภาคที่ตำแหน่งนี้จะทำให้ออนุภาคเกิดการกระจายตัวได้ง่ายโดยการเติมสารละลาย อิเล็กโทรไลต์หรือโดยการกวนเพื่อให้ออนุภาคที่รวมตัวกันออยู่เกิดการกระจายตัว [30]

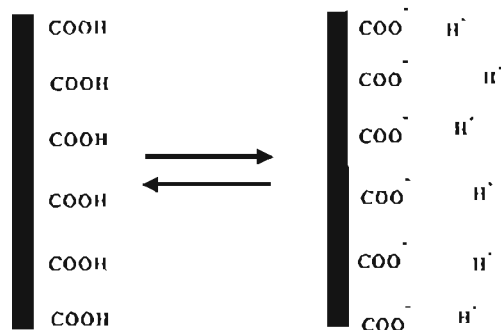


ภาพที่ 2-20 ความสัมพันธ์ระหว่างพลังงานศักย์และระยะทางระหว่างอนุภาค [30]

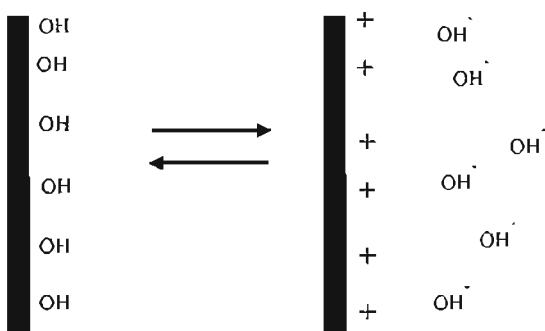
2.12.2 การเกิดประจุบันผิวอนุภาค [32]

การเกิดประจุบันผิวอนุภาคเกิดได้หลายวิธี โดยขึ้นอยู่กับ

2.12.2.1 ความสามารถในการเดกด้วยของอนุภาคนั้นๆ เช่น การเดกด้วยของหมู่กรดจะทำให้เกิดประจุบันผิวอนุภาค ตามภาพที่ 2-21 การแตกด้วยของหมู่เบสจะทำให้เกิดประจุบันผิวของอนุภาค ตามภาพที่ 2-22 โดยที่ขนาดของประจุที่อยู่บนอนุภาคขึ้นอยู่กับความแข็งแรงของหมู่กรดหรือหมู่เบสที่เกาะบนผิวของอนุภาค



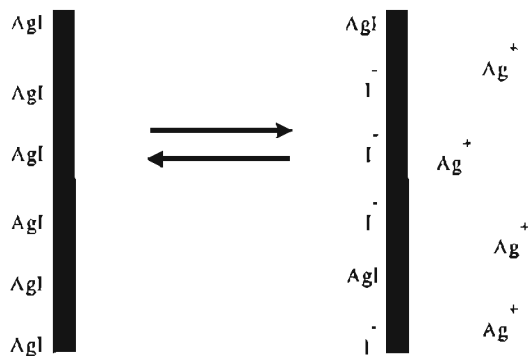
ภาพที่ 2-21 ประจุบันผิวที่เกิดจากการแตกตัวของหมู่กรด [32]



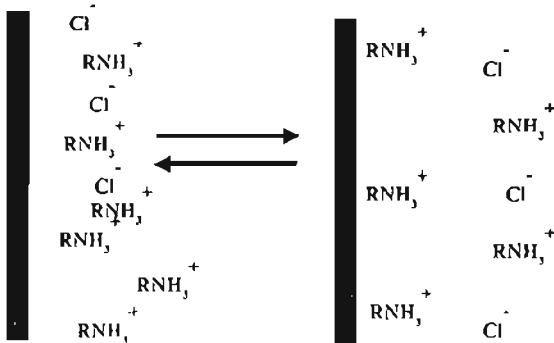
ภาพที่ 2-22 ประจุบันผิวที่เกิดจากการแตกตัวของหมู่เบส [32]

2.12.2.2 การแตกตัวของไอออนของสาร ตามภาพที่ 2-23 เป็นการแตกตัวของคลิสตัลของซิลเวอร์ไอโอดีด (AgI) โดยที่ซิลเวอร์ไอโอน (Ag^+) แตกตัวออกไปมากกว่า ไอโอดีดไอโอน (I^-) ทำให้ประจุบันผิวน้ำภาคเป็นลบ

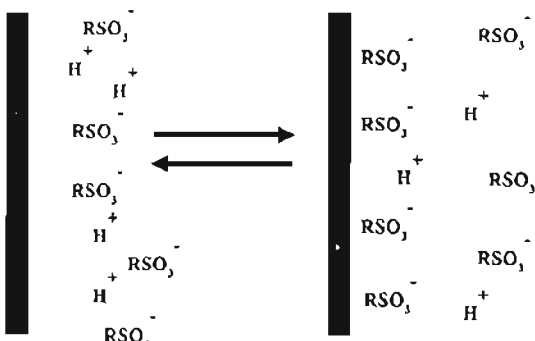
2.12.2.3 การดูดซับไอออนของสารลดแรงดึงผิว (Surfactant Adsorption) ที่ผิวของอนุภาค เช่น การเติมสารลดแรงดึงผิวนิดประจุบวก (Cationic Surfactant) จะทำให้เกิดประจุบวกบนผิวน้ำภาค ตามภาพที่ 2-24 การเติมสารลดแรงดึงผิวนิดประจุลบ (Anionic Surfactant) จะทำให้เกิดประจุลบบนผิวของอนุภาค ตามภาพที่ 2-25



ภาพที่ 2-23 ประจุบันผิวที่เกิดจากการแผลด้วยของไอออนสาร [32]



ภาพที่ 2-24 ประจุบันผิวที่เกิดจากการดูดซับไอออนของสารลดแรงตึงผิวนิดบาง [32]



ภาพที่ 2-25 ประจุบันผิวที่เกิดจากการดูดซับไอออนของสารลดแรงตึงผิวนิดลง [32]

2.12.2.4 ความเป็นกรดเป็นเบสของตัวกลาง ถ้าอนุภาคเป็นกลางประจุบันผิวของอนุภาคสามารถเป็นได้ทั้งบวกและลบขึ้นอยู่กับความเป็นกรดเป็นเบสของตัวกลาง เมื่อตัวกลางเป็นเบส อนุภาคจะแสดงประจุลบที่ผิว โดยไฮโดรเจนไอออน (H^+) จากผิวของอนุภาคจะแผลด้วยไปรวมกับไฮดรอกซิลไอออน ของน้ำ ในขณะที่เมื่อตัวกลางเป็นกรด อนุภาคจะแสดงประจุบวก

ที่ผิวโดยการเกิดพันธะระหว่างไฮโดรเจนไฮอ่อนของตัวกลาง กับหมู่ไฮดรอกซิลไฮอ่อนบนผิวของอนุภาค

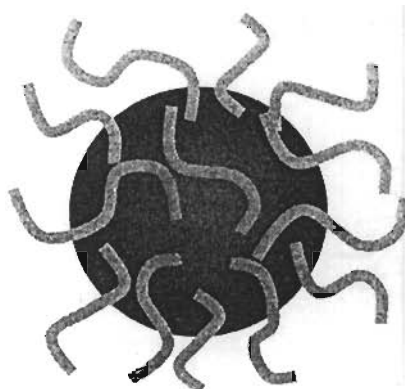
2.12.3 การรักษาเสถียรภาพของคอลลอยด์ [32]

จากที่กล่าวมาข้างต้นจะเห็นว่าในการรักษาเสถียรภาพของคอลลอยด์ คือ การทำให้แรงผลักทางไฟฟ้า มีค่ามากกว่าแรงดึงดูดชนิดความเดอร์วัลส์ ชีงกลไกสำคัญ 2 กลไก ที่มีผลต่อการกระจายตัวของคอลloyd คือ แรงผลักทางไฟฟ้า (Electrostatic Repulsion Force) และ แรงผลักชนิดแรงสเตอเริค (Steric Force)

2.12.3.1 แรงสเตอเริค

เป็นแรงผลักที่เกี่ยวข้องกับโมเลกุลของโพลิเมอร์ที่เกาะอยู่บนผิวของอนุภาค ตามภาพที่ 2-25 แรงผลักจะเกิดขึ้นเมื่ออนุภาคเข้าหากันมากจนกระทั่งโมเลกุลของโพลิเมอร์ซ้อนทับกัน

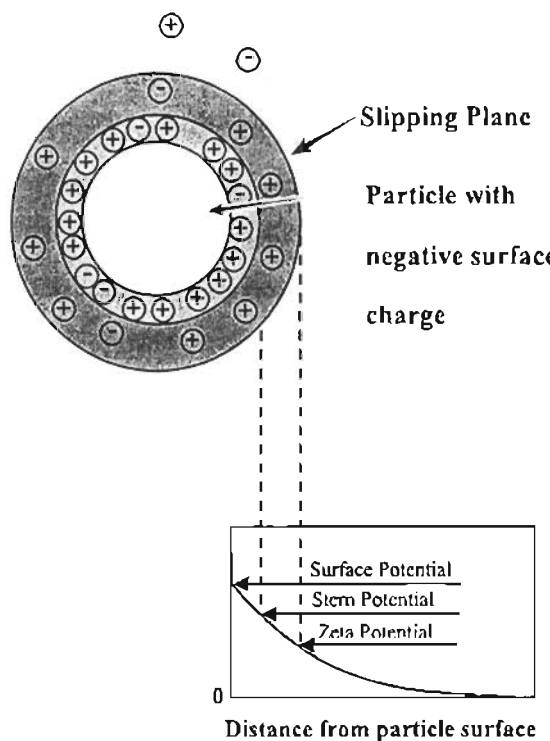
โพลิเมอร์ที่ใช้ในการช่วยกระจายตัวของสารระดับมี 2 หมู่ทางเคมีที่แตกต่างกัน หมู่แรก จะต้องซ่อนเกาะบนอนุภาค อีกหมู่หนึ่งซ่อนที่จะยึดตัวออกไปยังตัวทำละลาย ดังนั้นการผลักจะมีประสิทธิภาพมากหรือน้อยขึ้นอยู่กับปัจจัยต่อไปนี้ การเกาะของโพลิเมอร์บนอนุภาค การมีขนาดของระยะยึดของโพลิเมอร์ที่มาก และการเลือกดัวทำละลายที่สนับสนุนให้โพลิเมอร์ยึดตัวออกมาก การที่อนุภาคเคลื่อนตัวเข้าหากัน โมเลกุลก็จะซ้อนทับกัน เห็นได้ว่านาให้ตัวทำละลายเคลื่อนที่เข้าไปในบริเวณที่โมเลกุลซ้อนทับกัน เกิดเป็นแรงผลักօสมิชิส ดันให้ออนุภาคเคลื่อนที่ออกจากกัน



ภาพที่ 2-26 แรงสเตอเริค [32]

2.12.3.2 แรงผลักทางไฟฟ้า

เสถียรภาพของคอลลอยด์เกิดจากการผลักกันทางไฟฟ้าของชั้นของประจุ (Electrical Double Layer) ที่ล้อมรอบอนุภาคอยู่ แสดงตามภาพที่ 2-27



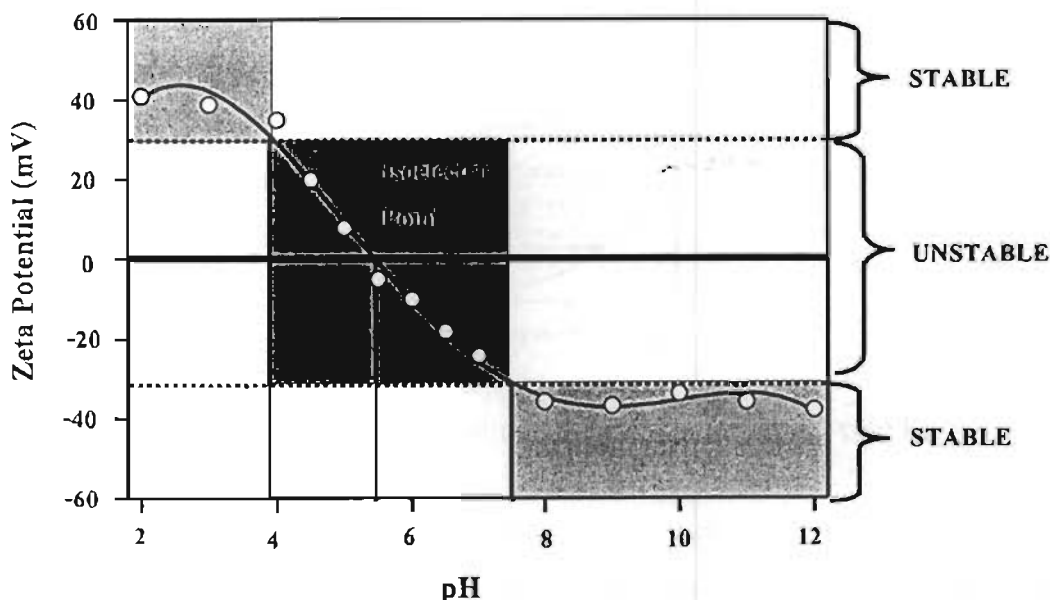
ภาพที่ 2-27 ชั้นของประจุที่ล้อมรอบอนุภาค (Electrical Double Layer) [32]

จากภาพแสดงให้เห็นว่าเกิดการกระจายตัวของประจุบวกล้อมรอบอนุภาคอยู่ ซึ่งชนิดของประจุที่ล้อมรอบอนุภาคอยู่นั้นจะตรงกันข้ามกับประจุที่ผิวของอนุภาค (Surface Charge) โดยชั้นของประจุแบ่งออกเป็น 2 ชั้นคือ ขอบเขตใน (Inner Region) หรือ ชั้นสเตริน (Stern Layer) เป็นชั้นที่มีประจุหนาแน่น และ ขอบเขตนอก (Outer Region) หรือ ชั้นแพร (Diffuse Layer) เป็นชั้นที่ความหนาแน่นของประจุลดลง ในการวัดขนาดของประจุที่ล้อมรอบอนุภาคอยู่นั้น สามารถทำได้โดยการวัดค่าศักย์ชีด้า (Zeta Potential) ซึ่งการมีขนาดของประจุมาก การผลักกันระหว่างอนุภาคก็จะมีมากตัวเช่นกัน

2.12.4 ศักย์ชีด้า [32]

ศักย์ชีด้าเป็นค่าที่แสดงถึงเสถียรภาพของระบบคอลลอยด์ โดยที่ขนาดของศักย์ชีด้า จะเป็นตัวบ่งชี้ว่า อนุภาคในระบบคอลลอยด์เกิดการกระจายตัวหรือรวมตัวกันอยู่ ถ้าระบบคอลลอยด์มีขนาดของศักย์ชีด้าเป็นบวกหรือลบมากๆ หมายถึง อนุภาคในระบบคอลลอยด์เกิดแรงผลักซึ้งกันและกันทำให้เกิดการกระจายตัว แต่ถ้าระบบคอลลอยด์มีขนาดของศักย์ชีด้าต่ำ หมายถึง อนุภาคเกิดการรวมตัวกัน ซึ่งปัจจัยสำคัญที่มีผลต่อศักย์ชีด้า คือค่าความเป็นกรดเป็นด่าง ภาพที่ 2-28 แสดงความสัมพันธ์ระหว่างศักย์ชีด้าและค่าความเป็นกรดเป็นด่าง จากรูปแสดงให้เห็นว่า ที่ค่าศักย์ชีด้ามากกว่า +30 มิลลิโวลต์ หรือน้อยกว่า -30 มิลลิโวลต์ จะเกิดการกระจายตัวของอนุภาค ที่ศักย์ชีด้ามีค่าอยู่ระหว่าง +30 ถึง -30 มิลลิโวลต์ จะเกิด

การรวมตัวกันของอนุภาค และจากรูปสมมุติว่าอนุภาคที่แขวนลอยอยู่ในด้วยกลางมีศักย์ชีด้าเป็นลบ ถ้าเดิมเบสลงไปทำให้มีประจุลบเพิ่มขึ้นที่ชั้นของประจุ หรือถ้าเดิมกรดลงไปไฮโดรเจนไอออน (H^+) จะเข้าไปปะเทิน (Neutralization) ประจุลบที่ชั้นของประจุ และการเดิมกรดเพิ่มลงไปเรื่อยๆ จะทำให้ค่าศักย์ชีด้าเป็นบวก จุดที่ศักย์ชีด้าเป็น 0 มิลลิโวลต์ เรียกว่า จุดไอโซอิเล็กทริก (Isoelectric Point) ซึ่งเป็นจุดที่อนุภาคเกิดการรวมตัวกันแน่นที่สุด หรือเป็นจุดที่ระบบ colloidal มีเสถียรภาพน้อยที่สุดนั่นเอง



ภาพที่ 2-28 ความสัมพันธ์ระหว่างค่าศักย์ชีด้าและพีเอช [32]

2.13 งานวิจัยที่เกี่ยวข้อง

Konsowa [33] ได้ศึกษาปัจจัยที่มีผลกระทบต่ออัตราการลดสีของน้ำเสียที่สังเคราะห์ขึ้นมาจากการสีไಡเร็ค (Isma Fast Red 8B) ซึ่งจากการศึกษาพบว่าอัตราการลดสีจะเพิ่มขึ้นเมื่อความเข้มข้นของโอโซนในกําชเฟส และค่าความเป็นกรด-เบสของน้ำเสียสังเคราะห์เพิ่มขึ้น และจะลดลงเมื่อเพิ่มความเข้มข้นของสี นอกจากนี้อัตราการลดสีจะเพิ่มขึ้นจนถึงจุดสูงสุด และลดลงเมื่อเพิ่มอัตราการไหลของกําช และพบว่าความเข้มข้นเริ่มต้นของสีมีผลต่อเวลาที่ใช้ในการกำจัดสีตามสมการ

$$t_0 = mc \quad (2-44)$$

โดย t_D คือ ระยะเวลาต่ำสุดในการกำจัดสี (min)
 c คือ ความเข้มข้นของสารอินทรีย์ (ppm)
 m คือ ค่าคงที่

Antonio และคณะ [34] ได้ศึกษากระบวนการทำงานร่วมกันของกระบวนการทางเคมี (Chemical Process) และกระบวนการทางชีววิทยา (Biological Process) ในการบำบัดน้ำเสีย ซึ่งประกอบไปด้วยสารอินทรีย์ที่เป็นพิษ (Toxic Organic Compound) ในการศึกษานี้ให้เห็นว่า การรวมกระบวนการทั้งสองเข้าด้วยกัน จะให้ประสิทธิภาพในการบำบัดดีกว่าการใช้กระบวนการเดียว ใช้วิธีการทำปฏิกิริยาออกซิเดชัน (Chemical Oxidation) ในการบำบัดขั้นตอน (Pretreatment) โดยใช้อิโอดีนเป็นตัวออกซิไดซ์สารอินทรีย์ที่เป็นพิษและสารที่ไม่สามารถย่อยลายทางชีววิทยา (Nonbiodegradable) กล้ายเป็นสารที่สามารถย่อยลายทางชีววิทยาได้ (Biodegradable) จากนั้นจึงบำบัดน้ำเสียต่อด้วยกระบวนการทางชีววิทยา ในกระบวนการทางเคมีปฏิกิริยาออกซิเดชันขึ้นอยู่กับ อัตราการเกิดปฏิกิริยาระหว่างออกซิเดนท์กับสารอินทรีย์ ค่าพีเอช ส่วนกระบวนการทางชีววิทยาขึ้นอยู่กับปริมาณออกซิเจน ค่าพีเอช ศักย์ดออกซ์ (Redox Potential)

Alfafara และคณะ [35] ได้ศึกษาการบำบัดน้ำเสียของโรงกลั่นโดยกระบวนการโอโซเนชัน เพื่อกำจัดสารอินทรีย์ (Organic Matter) และการลดลงของสีของน้ำเสีย (Decolorization) ที่เกิดจากเม็ดสี (Pigment) ที่เรียกว่า เมลานอยดิน (Melanoidins) ซึ่งจากการทดลองสามารถกำจัดสีได้ 16 เปอร์เซ็นต์ กำจัดสีได้ 80 เปอร์เซ็นต์ เพิ่มค่าบีโอดี/ซีโอดี ได้ 40 เปอร์เซ็นต์ (จาก 0.3 เป็น 0.5) ซึ่งจะเห็นว่าโอโซนมีผลโดยตรงในการกำจัดสี และพัฒนาการย่อยลายทางชีววิทยา จึงเสนอว่าควรใช้กระบวนการการโอโซเนชันเป็นการบำบัดขั้นตอนเข้าระบบบำบัดการย่อยลายแบบไม่ใช้ออกซิเจน (Anaerobic Digestion) เพื่อเพิ่มประสิทธิภาพในการบำบัดน้ำเสียให้ดียิ่งขึ้น

Chalor [36] ได้ศึกษาการกำจัดสีของโรงงานฟอกย้อมโดยใช้อิโอดีนและการถูกตะกอนด้วยโพลีอลูมิเนียมคลอไรด์ (Polyaluminum Chloride) พบว่าโอโซนมีความสามารถในการกำจัดสีแต่ละชนิดแตกต่างกัน โดยสามารถถูกตัวต้าน (Reactive) ได้ถึง 99 เปอร์เซ็นต์ สีแวด (Val) สามารถลดได้ 98 เปอร์เซ็นต์ และสีดิสเพิร์ส (Disperse) สามารถลดได้ 97 เปอร์เซ็นต์ ที่ระยะเวลาในการทำปฏิกิริยา 90 นาที นอกจากนี้ยังพบว่าเมื่อระยะเวลาในการทำปฏิกิริยามากขึ้นจะช่วยให้ประสิทธิภาพในการกำจัดสีเพิ่มขึ้นด้วย รวมทั้งพบว่าประสิทธิภาพในการลดค่าบีโอดี จะขึ้นอยู่กับปริมาณของโอโซนที่เข้าทำปฏิกิริยาและระยะเวลาของการทำปฏิกิริยาที่เพิ่มขึ้น และยังพบว่าค่าพีเอชมีผลต่อประสิทธิภาพในการกำจัดสีด้วย ซึ่งสีแต่ละชนิดจะมีค่าพีเอชที่เหมาะสมสมต่อการกำจัดสีแตกต่างกัน

Tzizi และคณะ [37] ได้ศึกษาการใช้อโซนช่วยในการบำบัดขันดัน (Preozonation) ของน้ำเสียที่เกิดจากโรงงานฟอกย้อม ในการทดลองได้นำเอาน้ำเสียของโรงงานฟอกย้อมหลายชนิดมาทำการทดสอบ นอกจากระบบอโซนนี้ยังใช้วิธีการทำปฏิกิริยาและระยะเวลาที่ใช้ในการทำปฏิกิริยาต่างๆ กัน พบร่วมกันสำหรับน้ำเสียดิบเข้าทำปฏิกิริยา กับ อโซนโดยใช้ระยะเวลาในการทำปฏิกิริยา 10-15 นาที สีของน้ำเสียจะกลایเป็นสีออกเหลือง คิดเป็น 80 เปอร์เซ็นต์ ของประสิทธิภาพในการลดสี โดยที่ค่าซีโอดีและค่าบีโอดีไม่มีการเปลี่ยนแปลงหลังจากเพิ่มระยะเวลาในการทำปฏิกิริยาเป็น 20-30 นาที พบร่วมกันสำหรับความสามารถลดค่าซีโอดี ได้ 40-45 เปอร์เซ็นต์ แต่ค่าบีโอดี มีแนวโน้มเพิ่มขึ้นในระหว่างการเกิดปฏิกิริยาค่าความเป็นกรด-เบส จะเพิ่มขึ้นจาก 8.2 เป็น 8.6 ในขณะเดียวกันไม่พบว่ามีตะกอนเพิ่มขึ้น

Sheng และ Wen [38] ได้ศึกษาการใช้อโซนบำบัดน้ำเสียที่เกิดจากโรงงานฟอกย้อม ในถังปฏิกิริยาแบบแพ็คเบด (Packed-Bed) จากการศึกษาพบว่า อโซนสามารถกำจัดสีโดยใช้เวลาอย่างกว่า 5 นาที นอกจากนี้ยังพบว่า ถ้าเพิ่มหน่วยบำบัดโดยใช้กระบวนการกรองตะกอนและระบบบำบัดทางชีวภาพโดยใช้อากาศจะสามารถลดค่าซีโอดี ได้ถึง 80 เปอร์เซ็นต์ หรือมากกว่า

Beszedits [39] ได้ศึกษาการใช้อโซนในการกำจัดสีของน้ำทึบจากโรงงานฟอกย้อม พบร่วมกับ อโซนสามารถกำจัดสีได้เป็นอย่างดี ช่วยลดระดับสารอินทรีย์ในน้ำเสีย ช่วยให้สารต่างๆ ในน้ำเสียสามารถถูกย่อยสลายได้ง่ายขึ้น กำจัดฟีโนล (Phenol) และนอกจากนี้ยังช่วยในการฆ่าเชื้อโรคได้อีกด้วยในส่วนของการกำจัดสีประสิทธิภาพ ของการกำจัดจะขึ้นกับชนิดของสีที่ใช้ และความซับซ้อนของโครงสร้างสารอินทรีย์

Malik และ Saha [40] ได้ศึกษาการใช้เฟนตอนเรเจนท์ (Fenton's Reagent) เพื่อบำบัดสีย้อม ไดเร็คท์ (Direct Dye) 2 ชนิด คือ บี 54 (B54) และอาร์ 31 (R31) พบร่วมปฏิกิริยาในการย่อยสลาย สีย้อมแบ่งเป็น 2 ขั้นตอน โดยในขั้นตอนแรกสีย้อมถูกย่อยสลายได้รวดเร็วกว่าขั้นที่สอง ปัจจัยที่คาดว่ามีผลต่ออัตราการย่อยสลายสีย้อม ได้แก่ ค่าพีเอช ความเข้มข้นเริ่มต้นของสีย้อม ความเข้มข้นของเฟอรัสไอออน ($\text{ferrous ion, Fe}^{2+}$) และไฮโดรเจนเปอร์ออกไซด์ ($\text{Hydrogenperoxide, H}_2\text{O}_2$) อุณหภูมิในการทำปฏิกิริยา และการเติมคลอไรด์ไอออน ($\text{Chloride Ion, Cl}^-$) และซัลไฟด์ไอออน ($\text{Sulfate Ion, SO}_4^{2-}$) จากการศึกษาพบว่า ปัจจัยหลักที่มีผลต่ออัตราการสลายตัวของสีย้อม คือ ความเข้มข้นเริ่มต้นของสีย้อม และความเข้มข้นของเฟอรัสไอออนและไฮโดรเจนเปอร์ออกไซด์ โดยที่สีย้อมจะถูกออกซิได้ดีที่สุด ที่ค่าพีเอช เท่ากับ 3 และที่สัดส่วนความเข้มข้นเริ่มต้นของเฟอรัสไอออน : ไฮโดรเจนเปอร์ออกไซด์ : สีย้อม เท่ากับ 1: 32.9 : 2.4 และ 1: 16.5 : 1.8 มิลลิโมลาร์ ซึ่งที่สภาวะนี้สามารถกำจัดสีได้ 97 เปอร์เซ็นต์ โดยใช้เวลาในการทำปฏิกิริยา 30 นาที ที่อุณหภูมิ 30 องศาเซลเซียส และสามารถกำจัดสีได้ 70 เปอร์เซ็นต์ โดยใช้เวลาในการทำปฏิกิริยา 60 นาที การสลายตัวของสีย้อมทั้งสองชนิดนี้เป็นไปตามแบบจำลองจนผลศาสตร์อันดับที่หนึ่ง (First Order Kinetic Model)

ของความเข้มข้นของสีบ้อมในขันที่สองของการออกซิเดชัน ซึ่งแบบจำลองนี้มีประโยชน์ในการออกแบบระบบบำบัดน้ำเสียของโรงงาน

ในการบำบัดน้ำเสียของโรงงานหมึกพิมพ์ น้ำเสียประกอบไปด้วยสีอะโซ่ซี ซึ่งเป็นสารอินทรีย์ที่ไม่สามารถย่อยสลายทางชีวิทยาได้ (Non-Biological) [41] ดังนั้นจึงควรมีการบำบัดขันดันที่มีประสิทธิภาพเพื่อกำจัดสีและความชุนของน้ำเสีย นอกจากนั้นเป็นการเพิ่มการทำงานอย่างมีประสิทธิภาพของจุลินทรีย์ในระบบบำบัดทางชีวิทยา กระบวนการบำบัดขันดันที่ได้ศึกษาในงานวิจัยคือ กระบวนการออกซิเดชันด้วยไอโอดิน ซึ่งเป็นกระบวนการทางเคมีร่วมกับการลอยตะกอนด้วยหลักการละลายของอากาศ ซึ่งเป็นกระบวนการทางกายภาพ จากการวิจัยที่กล่าวมาข้างต้นไอโอดินสามารถกำจัดสีได้เป็นอย่างดี นอกจากนั้นไอโอดินจะเข้าไปออกซิเดช์สารอินทรีย์ที่ไม่สามารถย่อยสลายทางชีวิทยา ให้กล้ายเป็นสารที่สามารถย่อยสลายทางชีวิทยาได้ เป็นผลให้ค่าบีโอดี/ซีโอดี เพิ่มขึ้น [35] ซึ่งเป็นการเพิ่มประสิทธิภาพในการบำบัดทางชีวิทยาต่อไป

บทที่ 3

วิธีดำเนินงานวิจัย

3.1 รูปแบบการวิจัย

ในงานวิจัยครั้งนี้ เป็นการศึกษาการหาสภาวะที่เหมาะสมนำบัดน้ำเสียสังเคราะห์จากโรงงานหมึกพิมพ์ โดยวิธีการออกแบบส่วนประสมกลาง ซึ่งได้แบ่งการทดลองออกเป็น 2 ส่วน คือ

1. การหาสภาวะที่เหมาะสมในการกำจัดสิ่งของน้ำเสียสังเคราะห์ โดยกระบวนการไอโซเนชัน
2. การหาสภาวะที่เหมาะสมในการกำจัดความชื้นของน้ำเสียสังเคราะห์ โดยกระบวนการไอโซเนชันร่วมกับการloyaltyตากอนด้วยหลักการละลายของอากาศ และหาสภาวะที่เหมาะสมในการทำลายเส้นยีราภาพของอนุภาคคลอลอยด์ โดยใช้ตัวบัญชีด้าเป็นค่าที่แสดงถึงเส้นยีราภาพของระบบคลอลอยด์

3.2 อุปกรณ์ที่ใช้ในการทดลอง

อุปกรณ์ที่ใช้ในการทดลองส่วนที่ 1 และส่วนที่ 2 แสดงดังภาพที่ 3-1 และ 3-2 ตามลำดับ ซึ่งสามารถจำแนกได้ดังนี้

3.2.1 เครื่องผลิตโอโซน (Ozone Generator)

ในการศึกษาครั้งนี้จะใช้เครื่องผลิตโอโซนแบบໂຄโน่ร่าดิสชาร์จ ของบริษัทnorca รุ่น Nk-200

3.2.2 ถังปฏิกรณ์ (Reactor)

ถังปฏิกรณ์ที่ใช้ทำมาจากอะคริลิกไนท์ (Acrylic) โดยมีลักษณะเป็นทรงกระบอก เส้นผ่าศูนย์กลาง 4 เซนติเมตร สูง 100 เซนติเมตร มีปริมาตรบรรจุประมาณ 1,256 มิลลิลิตร

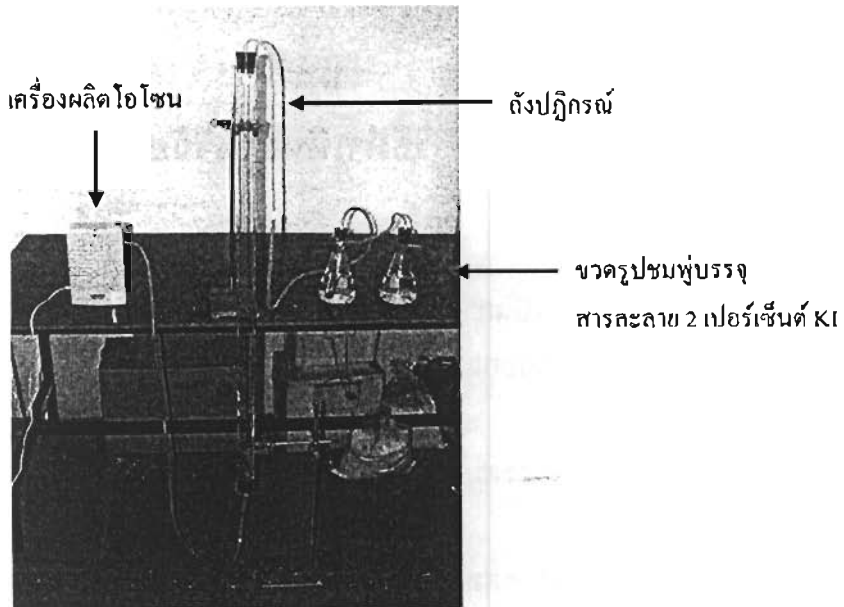
3.2.3 หัวพ่นอากาศ

ทำจากเซรามิกส์รูพูนเป็นรูปทรงสีเหลือง สามารถพ่นฟองอากาศขนาดเล็กให้แก่ระบบนำบัดโดยต่อหัวพ่นอากาศกับสายของก๊าซโอโซน ที่ผลิตจากเครื่องผลิตโอโซนเข้าสู่ถังปฏิกรณ์ ที่บรรจุภัณฑ์ถัง

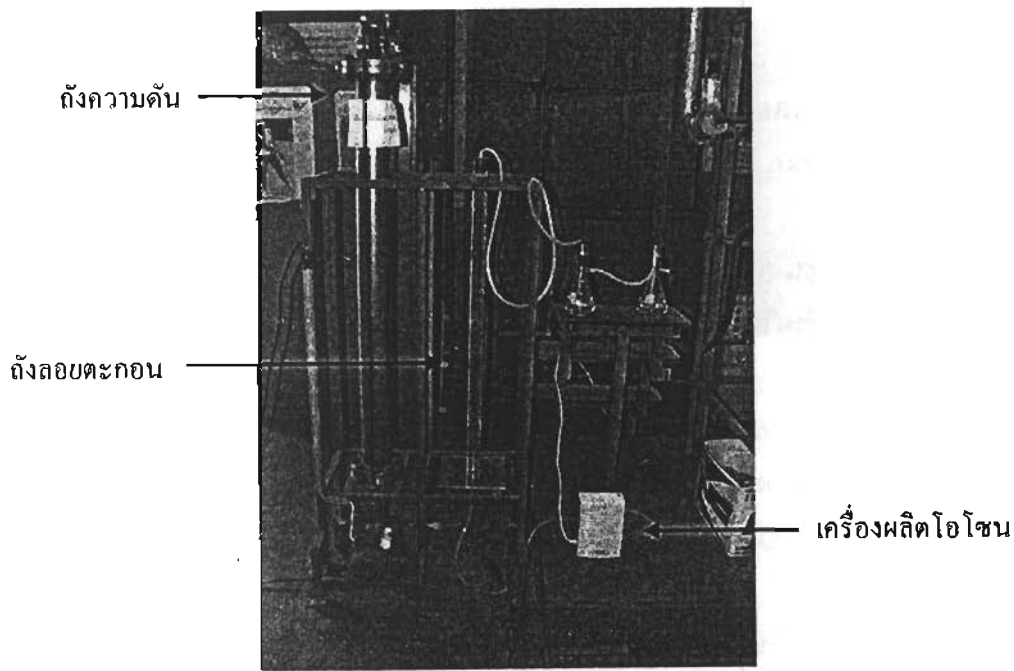
3.2.4 เครื่องวัดอัตราการไหล (Flow Meter) ชนิดโรตามิเตอร์

3.2.5 ชุดอุปกรณ์ระบบloyaltyตากอน ประกอบด้วย

3.2.5.1 ถังความดัน (Pressure Vessel)



ภาพที่ 3-1 ระบบบำบัดด้วยโอโซนที่ใช้ในงานวิจัย



ภาพที่ 3-2 ระบบบำบัดด้วยโอโซนร่วมกับการลอกตะกอนด้วยหลักการละลายของอากาศ
ที่ใช้ในงานวิจัย

เป็นถังสแตนเลส มีความหนา 3 มิลลิเมตร เส้นผ่าศูนย์กลาง 96 มิลลิเมตร สูง 130
เซนติเมตร ปริมาตรบรรจุ 9.4 ลิตร

3.2.5.2 ถังลอยตะกอน (Floation Tank)

ถังลอยตะกอนทำมาจากอะคริลิกไส (Acrylic) โดยมีลักษณะเป็นทรงกระบอก เส้นผ่านศูนย์กลาง 4 เซนติเมตร สูง 100 เซนติเมตร มีปริมาตรบรรจุประมาณ 1,256 มิลลิลิตร กันถังปิดด้วยแผ่นอะคริลิกหนา 8 มิลลิเมตร เจาะรูเพื่อต่อท่อระบายน้ำ (Drain) ท่อน้ำเข้าจากถังความดัน และท่อที่ต่อ กับหัวพ่นอากาศกับสายของก้าชโซโซนที่ผลิตจากเครื่องผลิตโซโซน

3.2.5.3 ปั๊มน้ำแบบหอยโข่ง (Centrifugal Pump)

เป็นปั๊มน้ำ ของบริษัททากโน (Tano) รุ่น PBT 50 ทำให้น้ำหมุนวนภายในถังความดัน ซึ่งจะเป็นการเพิ่มประสิทธิภาพการละลายของอากาศในน้ำ

3.2.5.4 เครื่องอัดอากาศ (Air Compressor)

3.2.5.5 วาล์วระบายความดัน (Pressure Relief Valve)

เป็นวาล์วที่ช่วยป้องกันการมีความดันภายในถังมากเกินไป โดยติดตั้งไว้ที่ด้านบนของถังความดัน

3.2.5.6 วาล์วสูญญากาศ (Needle Valve)

เป็นอุปกรณ์ที่สามารถควบคุมอัตราการไหลของของเหลวได้อย่างละเอียด เนื่องจากมีรูออริฟิส (Orifice) ขนาดเพียง 4.4 มิลลิลิตร ของเหลวจึงไหลได้ทีละน้อย โดยในการทดลองทำการติดตั้งไว้ที่ทางเข้าของอากาศสู่ถังความดัน เพื่อปรับอัตราการไหลของอากาศให้มีปริมาณตามที่ต้องการ เพื่อให้ระบบการเติมอากาศเป็นไปอย่างต่อเนื่อง

3.2.5.7 วาล์วักกันกลับ (Check Valve)

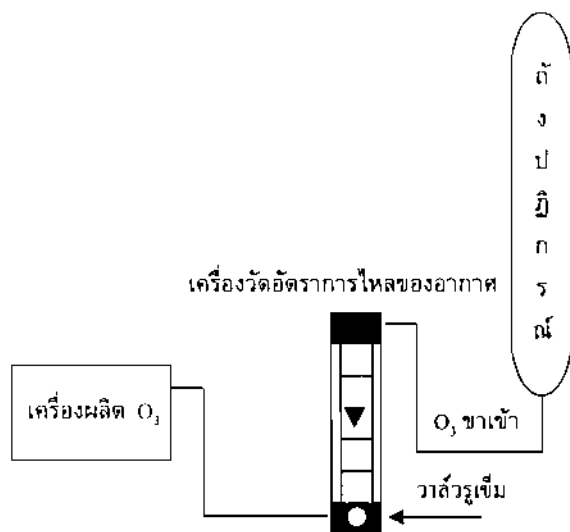
เป็นอุปกรณ์ที่ใช้เพื่อกันการไหลย้อนกลับของของเหลว โดยในการทดลองได้ติดตั้งไว้ที่ทางเข้าของอากาศที่เข้าสู่ถังความดัน เพื่อป้องกันไม่ให้น้ำในภายในถังความดันไหลเข้าไปในทางเดินอากาศ ซึ่งอาจทำให้เครื่องอัดอากาศเสียหายได้

3.2.5.8 บอลวาล์ว (Ball Valve)

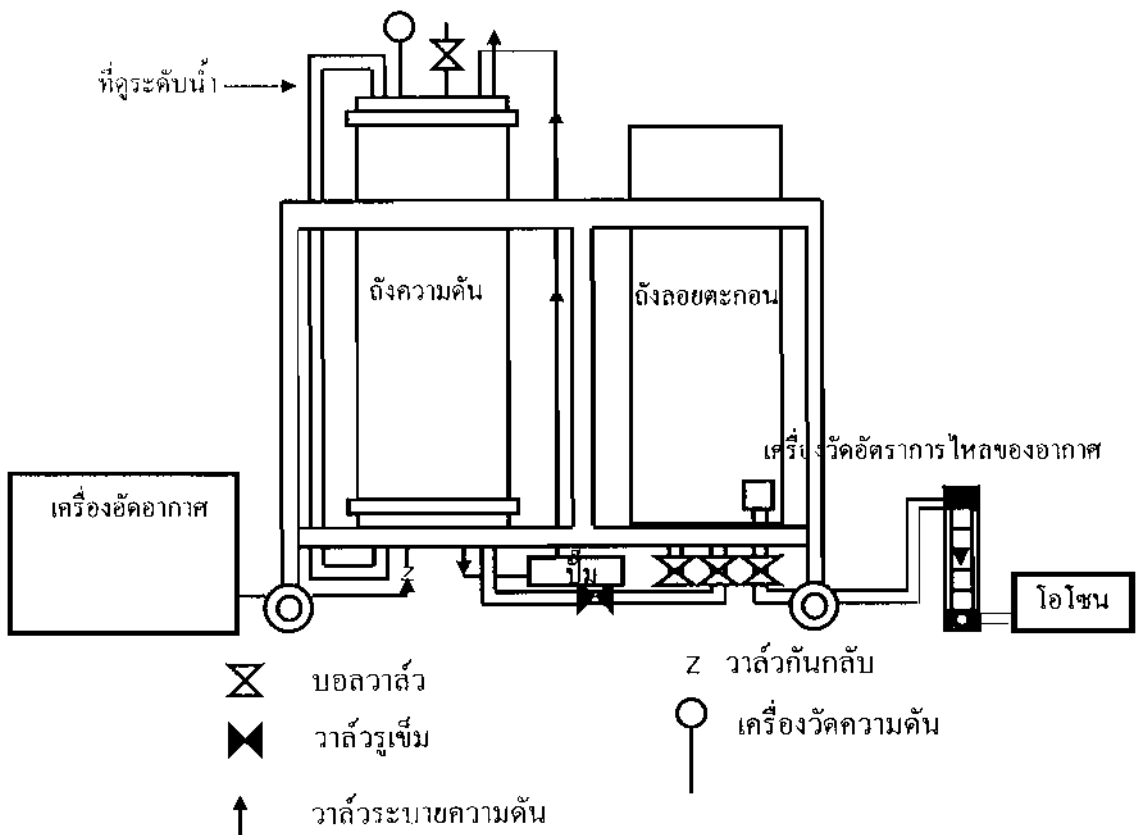
เป็นอุปกรณ์ที่ใช้สำหรับการหยุดไหลและการเริ่มไหลของของเหลว เป็นการปรับการไหลอย่างคร่าวๆ ในการทดลองทำการติดตั้งไว้ที่ด้านบนของถังความดัน โดยจะเปิดวาล์วเมื่อเติมน้ำเข้าสู่ถังความดัน และปิดวาล์วเมื่อเติมอากาศจากเครื่องอัดอากาศเข้าสู่ถังความดัน

3.2.5.9 ที่ดูระดับน้ำ (Sight Glass)

เป็นอุปกรณ์สำหรับวัดระดับน้ำภายในถังความดัน โดยทำการติดตั้งไว้ที่ด้านข้างและข้างน้ำด้านความยาวของถังความดัน ทั้งนี้เพราะไม่สามารถมองเห็นระดับน้ำภายในถังความดัน สเตนเลส



ภาพที่ 3-3 แผนผังระบบบำบัดด้วยโอโซน



ภาพที่ 3-4 แผนผังระบบบำบัดด้วยโอโซนร่วมกับการลอยตะกอนด้วยหลักการละลายน้ำของอากาศ

ได้ จึงต้องติดตั้งที่ดูร่างดับน้ำเพื่อให้มองเห็นระดับได้อย่างชัดเจน ซึ่งเป็นประโยชน์ในการควบคุมอัตราการไหลของน้ำที่เข้าและออกให้สมดุลกัน

3.2.6 เครื่องปฏิกรณ์ซีไอดี (COD Reactor) ของบริษัทแฮช (HACH) รุ่น 45600

3.2.7 เครื่องสเปคโตรโฟโตเมเตอร์ (Spectrophotometer) ของบริษัทแฮช (HACH) รุ่น DR/2010 สำหรับวัดค่าซีไอดี

3.2.8 เครื่องวัดความขุ่น (Turbidimeter) ของบริษัทเจนเวย์ (JENWAY) รุ่น 6035

3.2.9 เครื่องวัดศักย์ซีต้า (Zetapotential Analyzer) ของบริษัทมาลเวิร์น (MALVERN) รุ่น 3000 HSA

3.2.10 เครื่องวัดค่าพีเอช (pH Meter) ของบริษัทเมทแลอร์ โทเลโด (METTLER TOLEDO)

3.2.11 เครื่องสเปคโตรโฟโตเมเตอร์ (Spectrophotometer) ของบริษัทยูนิแคม (UNICAM) รุ่น UV 500 สำหรับวัดค่าการดูดกลืนแสง

3.2.12 เครื่องชั่งน้ำหนัก ของบริษัทเมทแลอร์ โทเลโด (METTLER TOLEDO) รุ่น PG 503-S

3.2.13 เตาอบแห้ง

3.2.14 เครื่องดูดอากาศ ของบริษัทเอ็ดเวิร์ด (EDWARDS) รุ่น E2M18

3.2.15 กรวยบุชเนอร์

3.2.16 โถทำแห้ง

3.2.17 อุปกรณ์จาร์เท斯ท์ ของบริษัทไอก้า (IKA) รุ่น RER

3.2.18 เครื่องแก้วสำหรับงานวิเคราะห์ปริมาตร (Volumetric Analysis)

3.2.19 นาฬิกาจับเวลา

3.2.20 กระดาษกรองไยแก้ว

3.3 สารเคมีที่ใช้ในการทดลอง

3.3.1 สารเคมีสำหรับการวิเคราะห์ค่าซีไอดี (COD Reagent) ของบริษัทแฮช (Hach)

3.3.2 สารเคมีสำหรับวิเคราะห์ปริมาณไอโอดินที่ผลิตจากเครื่องผลิตไอโอดิน ได้แก่

3.3.2.1 สารละลายน้ำโซเดียมไอโอดีด (Potassium Iodide, KI) 2 เปอร์เซ็นต์ ของบริษัท เอเจ็ค ฟายเคม (AJAX FINECHEM) เกรดงานวิเคราะห์

3.3.2.2 สารละลายน้ำโซเดียมไนโตรเจนไนท์ (Sulfuric Acid, H₂SO₄) 1 นอร์มัล ของบริษัท เจที บาก-เกอร์ (J.T. BAKER) เกรดงานวิเคราะห์

3.3.2.3 สารละลายน้ำโซเดียมไธอัลฟ์เฟต (Sodiumthiosulphate, Na₂S₂O₃) 0.1 นอร์มัล ของบริษัท ฟลูก้า (FLUKA) เกรดการทำงานวิเคราะห์

3.3.2.4 น้ำแบ่ง (Strach) ของบริษัทฟลูก้า (FLUKA) เกรดงานวิเคราะห์

3.3.3 สารเฟอร์สัลเฟต (Ferrous Sulfate, FeSO₄) สำหรับตกตะกอนน้ำเสียสังเคราะห์

3.3.4 สารโพแทสเซียมเพอร์มังกานेट (Potassium Permanganate, KMnO₄) สำหรับสร้างกราฟมาตราฐานสี ของบริษัท ยูนิวาร์ (UNIVAR) เกรดงานวิเคราะห์

3.3.5 สารเคมีสำหรับปรับค่าพีเอช ได้แก่

3.3.5.1 สารละลายนครชัลฟูริก ของบริษัท เจที บากเกอร์ (J.T. BAKER) เกรดงานวิเคราะห์

3.3.5.2 สารละลายนโซเดียมไฮดรอกไซด์ (Sodium Hydroxide, NaOH) ของบริษัท เมอร์ค (MERCK) เกรดงานวิเคราะห์

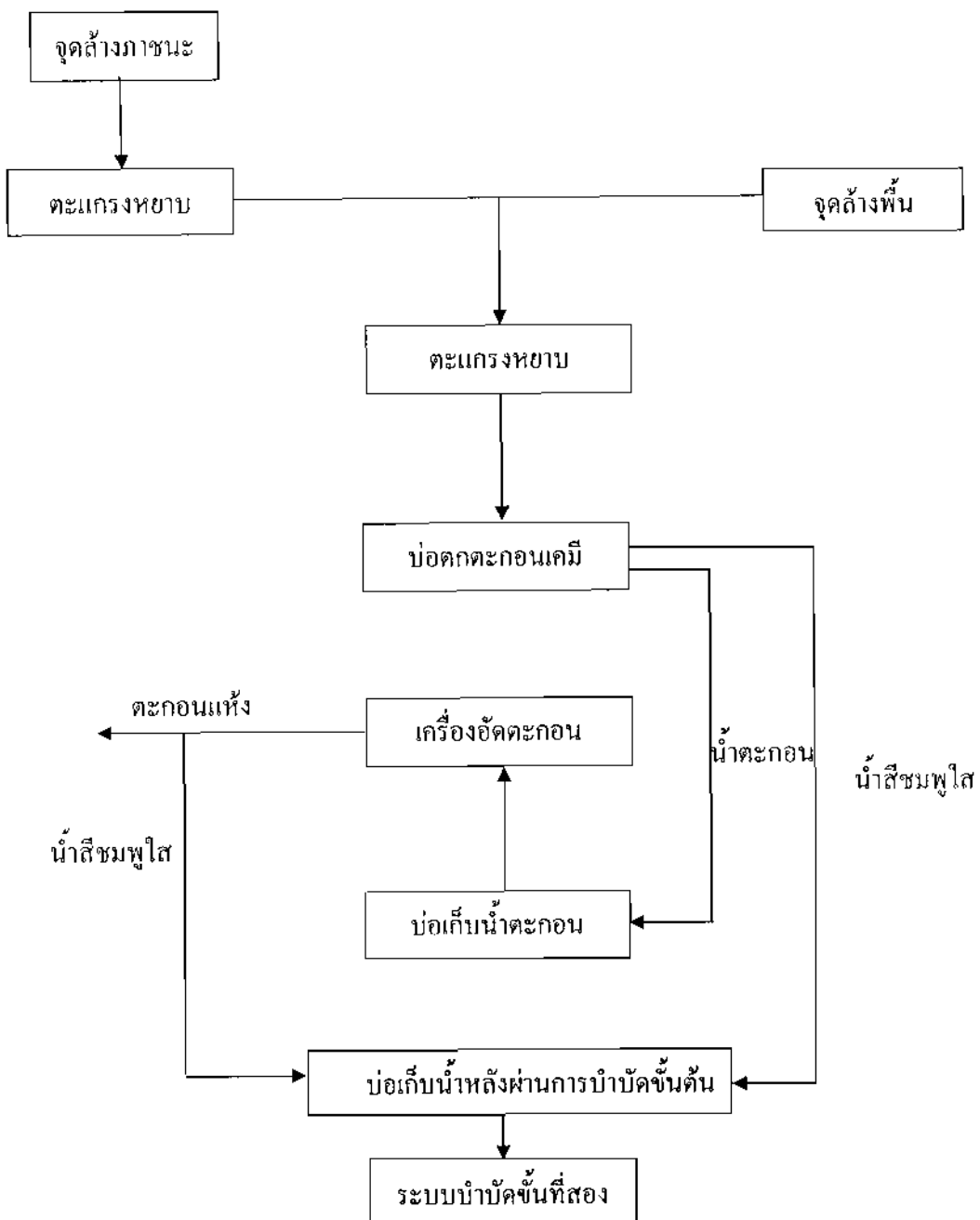
3.3.6 สารเคมีสำหรับเตรียมสารละลายนมาตรฐานความขุ่น ได้แก่

3.3.6.1 สารไฮดราซีนชัลเฟต (Hydrazine Sulfate, (NH₂)₂.H₂SO₄)) ของบริษัท คาร์โล เออบา (CARLO ERBA) เกรดงานวิเคราะห์

3.3.6.2 สารเอกซามททีลีนเตตรามีน (Hexamethylene Tetramine, (CH₂)₆N₄) ของบริษัท คาร์โล เออบา (CARLO ERBA) เกรดงานวิเคราะห์

3.4 เก็บตัวอย่างน้ำเสียและวิเคราะห์คุณภาพของน้ำเสีย

น้ำเสียที่ใช้ในงานวิจัยเป็นน้ำเสียสังเคราะห์จากโรงงานอินเตอร์วิ๊ง จ. ฉะเชิงเทรา น้ำเสียส่วนใหญ่เกิดจากขั้นตอนการล้างภาชนะที่ใช้ในกระบวนการ ดังนั้นน้ำเสียจึงประกอบไปด้วยหมักฐานน้ำหรือหมึกเพล็กโซ (Flexo) ภาพที่ 3-5 แสดงแผนผังระบบบำบัดขั้นต้นของโรงงานซึ่งประกอบไปด้วยกระบวนการทางกายภาพและกระบวนการทางเคมี โดยในขั้นแรกน้ำเสียจะผ่านตะแกรงหยาบเพื่อดักเศษขยะต่างๆ ที่ไหลมา กับน้ำเสีย จากนั้นจึงสูบน้ำเสียไปยังบ่อตัดตะกอน โดยสารเคมีที่เดิมลงไป คือ เพอร์ซัลเฟต เป็นสารสร้างตะกอน (Coagulant) จากนั้นควรเร็วเป็นเวลา ประมาณ 5 นาที เพื่อให้น้ำเสียและสารสร้างตะกอนผสมกัน ต่อมาจะกวนอย่างช้าๆ เป็นเวลาประมาณ 15 นาที เพื่อให้เกิดสภาพการรวมตะกอน (Flocculation) ซึ่งได้มีการเกาภกันระหว่างตะกอนแนวลอยเล็กๆ กับสารสร้างตะกอน จะได้ตะกอนที่มีขนาดใหญ่ขึ้นจนสามารถถูกตัดตะกอนได้ สาเหตุที่ต้องทำการกวนอย่างช้าๆ เพราะไม่ให้สภาพการเกาภกันเกิดการแตกหลุดจากกัน จากนั้นรอให้ตัดตะกอนเป็นเวลา 3 ชั่วโมง หลังจากตัดตะกอนแล้วจะทำการสูบน้ำที่ผ่านการตัดตะกอนที่อยู่ส่วนบนของบ่อตัดตะกอน ซึ่งมีลักษณะสีชมพูใสไปยังบ่อเก็บน้ำหลังผ่านการบำบัดขั้นต้น และสูบน้ำตะกอนที่ส่วนล่างของบ่อตัดตะกอน ซึ่งมีลักษณะเป็นน้ำสีน้ำเงินเข้มไปยังบ่อเก็บน้ำตะกอน



ກາພທີ 3-5 ແຜນຜັງຮະບນນຳບັດຂັ້ນດັ່ນຂອງໂຮງຈານອິນເດວຣິ້ອງ

ຈາກນັ້ນສູນນໍ້າຕະກອນນີ້ໄປຢັງເກື່ອງອັດຕະກອນ ທໍາໄດ້ນໍ້າສີ້ນພູໄສ ປຶ້ງຈະຖຸກສູນໄປຢັງ ບ່ອເກີ່ນນໍ້າຫລັງຜ່ານການນຳບັດຂັ້ນຕົ້ນ ແລະ ຕະກອນແຫ່ງສິ້ນເງິນທີ່ໄດ້ທາງໂຮງຈານຈະນຳໄປກີ້ງ ຈາກນັ້ນ ນໍ້າເສີຍທີ່ຜ່ານການນຳບັດຂັ້ນດັ່ນຈະຖຸກນຳໄປນຳບັດຕ່ອນໃນຂັ້ນຕ່ອໄປ

ໃນງານວິຈີຍໄດ້ເກີ່ນດ້ວຍຍ່າງນໍ້າເສີຍ ດັ່ງແຕ່ວັນທີ 10 ພ.ຍ. 2547 ອີງວັນທີ 15 ຮ.ຄ. 2547 ເປັນຈຳນວນ 6 ຄຣັງ ໂດຍເກີ່ນດ້ວຍຍ່າງນໍ້າເສີຍກ່ອນແລະ ລັ້ງຕົກຕະກອນດ້ວຍສານເພື່ອຮັສໜັດເພີດ

ณ. ตำแหน่ง บ่อตักตะกอนเคมี จากนั้นนำมารวิเคราะห์พารามิเตอร์ต่างๆ ในห้องปฏิบัติการ ได้แก่ (รายละเอียดการวิเคราะห์อยู่ในภาคผนวก ก)

1. ค่าซีโอดี โดยวิธีรีฟลักซ์แบบปิด (Close Reflux) ด้วยเครื่องสเปคโดยไฟโตมิเตอร์
2. ค่าสี โดยการวัดค่าการดูดกลืนแสง (Absorbance) ด้วยเครื่องสเปคโดยไฟโตมิเตอร์ ที่ความยาวคลื่น 526 นาโนเมตร
3. ค่าความชุ่น โดยเครื่องวัดความชุ่น
4. ค่าพีเอช โดยเครื่องวัดค่าพีเอช
5. ค่าตักษะตัว โดยเครื่องวัดตักษะตัว
6. ปริมาณตะกอนแขวนลอย (Suspended Solids) โดยวิธีการกรอง

3.5 วิธีการทดลอง

3.5.1 เตรียมน้ำเสียสังเคราะห์

3.5.1.1 เตรียมน้ำเสียสังเคราะห์ก่อนตักตะกอนด้วยสารเฟอร์ซัลเฟต โดยการหา ความเข้มข้นของหมึกเพคโซ่ เพื่อให้ได้ค่าซีโอดีเท่ากับค่าซีโอดีเฉลี่ยก่อนตักตะกอนของน้ำเสีย จากโรงงานซึ่งมีค่าเท่ากับ 16,367 มิลลิกรัม/ลิตร มีวิธีทดสอบดังนี้

ก) เติมน้ำ 1,000 มิลลิลิตร ลงในบีกเกอร์ขนาด 1,000 มิลลิลิตร จำนวน 8 ใบ

ข) เติมหมึกเพคโซ่ปริมาณ 5 10 12 14 16 18 20 และ 22 มิลลิลิตร ลงในบีกเกอร์แต่ละใบ แล้วนำเข้าเครื่องจาร์เทส

ค) เปิดเครื่องจาร์เทสโดยปรับความเร็วรอบเท่ากับ 300 รอบต่อนาที เป็นเวลา 2 นาที จากนั้นปิดแต่ละบีกเกอร์ไปวัดค่าซีโอดี ผลของค่าซีโอดีแสดงในภาคผนวก ข สรุปได้ว่า ความเข้มข้นของหมึกเพคโซ่ 18 มิลลิลิตร/ลิตร จะให้ค่าซีโอดีเท่ากับ 16,500 มิลลิกรัม/ลิตร ซึ่งเป็นค่าที่ใกล้เคียงกับค่าซีโอดีเฉลี่ยก่อนตักตะกอนของโรงงานมากที่สุด

3.5.1.2 เตรียมน้ำเสียสังเคราะห์หลังตักตะกอนด้วยสารเฟอร์ซัลเฟต โดยการหา ปริมาณของสารเฟอร์ซัลเฟต เพื่อให้ได้สีของน้ำเสียสังเคราะห์หลังตักตะกอนใกล้เคียงกับสีของ น้ำเสียหลังตักตะกอนของโรงงาน มีวิธีทดสอบดังนี้

ก) เตรียมน้ำเสียสังเคราะห์ก่อนตักตะกอน โดยเติมน้ำ 1,000 มิลลิลิตร ลงในบีกเกอร์ขนาด 1,000 มิลลิลิตร จำนวน 5 ใบ จากนั้นเติมหมึกเพคโซ่ 18 มิลลิลิตร ลงใน บีกเกอร์แต่ละใบ แล้วจึงนำเข้าเครื่องจาร์เทส

ข) เติมสารเฟอร์ซัลเฟต ปริมาณ 1 2 3 4 และ 5 กรัม ลงในบีกเกอร์ แต่ละใบ

ค) เปิดเครื่องจาร์เทส โดยเครื่องจะปรับความเร็วรอบดอนแรกเท่ากับ 300 รอบต่อนาที เป็นเวลา 1 นาที จากนั้นเครื่องจะปรับความเร็วรอบไปที่ 40 รอบต่อนาที

เป็นเวลา 15 นาที แล้วตั้งทิ่งไว้ให้ดกตะกอนเป็นเวลา 30 นาที จากการสังเกตสรุปได้ว่าการเติมสารเพอร์ซัลเฟดปริมาณ 2 กรัม จะทำให้ได้สีของน้ำเสียสังเคราะห์หลังดกตะกอนใกล้เคียงกับสีของน้ำเสียหลังตะกอนของโรงงานมากที่สุด

ง) ปฏิบัติการเพื่อให้ได้ค่าซีโอดีเท่ากับ 1,950 มิลลิกรัม/ลิตร

จากที่กล่าวข้างต้นว่า ในงานวิจัยนี้ได้แบ่งการทดลองออกเป็น 2 ส่วน ดังนั้นจะแสดงวิธีการทดลองในส่วนที่ 1 และ 2 ตามลำดับ

3.5.2 วิธีการทดลองในส่วนที่ 1 มีขั้นตอนดังนี้

3.5.2.1 การออกแบบการทดลอง

การออกแบบการทดลองส่วนที่ 1 เพื่อหาสภาวะที่เหมาะสมในการกำจัดสีของน้ำเสียสังเคราะห์ด้วยกระบวนการกรองโดยโซเดียม ประกอบด้วยจำนวนตัวแปรอิสระ 3 ตัว คือ สารอินทรีย์ ค่าพีเอช และเวลา จากตารางที่ 2.5 α_D มีค่าเท่ากับ 1.682 ซึ่งเป็นค่าที่แสดงระยะห่างของตัวแปรเข้ารหัส (Code Vale) ระหว่างจุดศูนย์กลางกับแนวแกน ดังนั้นตัวแปรจะถูกนำเข้ารหัสโดยกำหนดระดับค่า กลาง และสูง ของรหัสเป็น -1.682 0 และ +1.682 ตามลำดับ และแสดงความสัมพันธ์ระหว่างค่าจริง (Actual Value) และค่าเข้ารหัสของตัวแปรอิสระแต่ละตัว ตามตารางที่ 3-1

3.5.2.2 ขั้นตอนดำเนินการทดลอง

ก) หาปริมาณโซเดียมที่ผลิตได้จากเครื่องผลิตโซเดียมตริก (Iodometric Method) แสดงดังภาพที่ ก-3 (รายละเอียดการวิเคราะห์อยู่ในภาคผนวก ก)

ข) ต่ออุปกรณ์ดังภาพที่ 3-3

ค) เตรียมตัวอย่างน้ำเสียสังเคราะห์ ซึ่งประกอบไปด้วยหมึกฐานน้ำหรือหมึกเฟล็คโซ ปริมาตร 18 มิลลิลิตร กับน้ำ 1 ลิตร คนให้ละลายเข้ากัน และใส่สารเพอร์ซัลเฟดลงไป 2 กรัม เพื่อทำให้น้ำเสียสังเคราะห์ดกตะกอน จากนั้นแยกน้ำเสียสังเคราะห์และตะกอนออกจากกัน

ตารางที่ 3-1 ความสัมพันธ์ระหว่างค่าจริงและค่าเข้ารหัสของตัวแปรอิสระแต่ละตัว

ตัวแปรอิสระ	ความสัมพันธ์ระหว่างค่าจริงและค่าเข้ารหัส				
	-1.682	-1.000	0	+1.000	+1.682
ภาระ(mg/l)	650	915	1300	1700	1950
พีเอช	3	5	7	9	11
เวลา (นาที)	10	20	35	50	60

จากตารางที่ 2-5 จะเห็นว่าเมื่อจำนวนตัวแปรอิสระเท่ากับ 3 ตัว จะทำให้เกิดจำนวนการทดลองรวมทั้งหมด 20 การทดลอง ตามตารางที่ 3-2

ตารางที่ 3-2 การออกแบบส่วนประสมกลวงในการทดลองส่วนที่ 1 สำหรับตัวแปรอิสระ 3 ตัว

ลำดับที่	ค่าเข้ารหัสของตัวแปรอิสระ		
	ภาระสารอินทรีร์ (X_1)	พีโอดีช (X_2)	เวลา (X_3)
1	0	0	0
2	0	-1.682	0
3	-1	1	-1
4	0	0	1.682
5	0	0	0
6	0	0	0
7	-1	-1	1
8	1.682	0	0
9	1	-1	-1
10	0	0	0
11	1	1	-1
12	0	1.682	0
13	0	0	0
14	1	1	1
15	0	0	0
16	0	0	-1.682
17	-1	-1	-1
18	-1.682	0	0
19	-1	1	1
20	1	-1	1

ง) นำน้ำเสียสังเคราะห์ที่ผ่านการแยกตะกอนแล้ว ไปตรวจวัดซีโอดี พบว่า ซีโอดี มีค่าเท่ากับ 1,950 มิลลิกรัม/ลิตร จากนั้นนำน้ำเสียสังเคราะห์ที่ได้นำมาเจือจาง เพื่อให้ได้ซีโอดี ตามตารางที่ 3-1 โดยเจือจางน้ำเสียสังเคราะห์ให้ได้ 35 50 75 และ 90 เปอร์เซ็นต์ โดยปริมาตร ซึ่งจะทำให้ได้ซีโอดี เท่ากับ 650 915 1300 และ 1,700 มิลลิกรัม/ลิตร ตามลำดับ

จ) ทำการทดลอง 20 การทดลองตามสภาวะของแต่ละการทดลองตามตารางที่ 3-2 ซึ่งในแต่ละการทดลองจะควบคุมอัตราการไหลของอากาศผ่านเครื่องผลิตโอโซน คงที่ที่ 700 ลูกบาศก์เซนติเมตร/นาที โดยการปรับวาวล์ที่เครื่องวัดอัตราการไหล ซึ่งในการทดลองแต่ละการทดลองจะใช้รีามานน้ำเสียสังเคราะห์ 500 มิลลิลิตร และนำน้ำเสียสังเคราะห์ทั้งก่อนและหลังการบำบัดมาวิเคราะห์หาค่าสี

ฉ) บันทึกผลการทดลอง และคำนวณหาประสิทธิภาพในการกำจัดสี ในแต่ละการทดลอง ดังสมการ

$$\text{ประสิทธิภาพการกำจัดสี (\%)} = \frac{\text{ค่าสีก่อนโอโซเนชัน - ค่าสีหลังโอโซเนชัน}}{\text{ค่าสีก่อนโอโซเนชัน}} \times 100 \quad (3-1)$$

ช) นำข้อมูลที่ได้จากการทดลองไปคำนวณและวิเคราะห์ผล โดยวิธีการทางสถิติ

ช) สร้างแบบจำลองทางคณิตศาสตร์ และวิเคราะห์สัมประสิทธิ์ ในแบบจำลอง

ฉ) ทวนยผลตอบจากแบบจำลองคณิตศาสตร์ และตรวจสอบ ความถูกต้องของแบบจำลอง

ญ) หาสภาวะที่เหมาะสมของกระบวนการโอโซเนชัน และทำการทดลอง เพื่อยืนยันผลที่สภาวะดังกล่าว

3.5.3 วิธีการทดลองในส่วนที่ 2 มีขั้นตอนดังนี้

3.5.3.1 การออกแบบการทดลอง

การออกแบบการทดลองส่วนที่ 2 เพื่อหาสภาวะที่เหมาะสมในการกำจัดความชื้นของน้ำเสีย สังเคราะห์ด้วยกระบวนการโอโซเนชันร่วมกับการลอยตะกอน ด้วยหลักการละลายของอากาศ และหาสภาวะที่เหมาะสมในการทำลายเสียรภาพของอนุภาค colloidal ประกอบด้วยจำนวน ตัวแปรอิสระ 3 ตัวแปร คือ อัตราส่วนวีเอาร์ ค่าพีเอช และเวลา จากตารางที่ 2.5 α_0 มีค่าเท่ากับ 1.682 ดังนั้นตัวแปรจะถูกนำเสนอเป็นตัวแปรโดยกำหนดตัวบวก กลาง และสูง ของรหัสเป็น -1.682 0 และ +1.682 ตามลำดับ และแสดงความสัมพันธ์ระหว่างค่าจริง (Actual Value) และ ค่าเข้ารหัสของตัวแปรอิสระแต่ละตัว ตามตารางที่ 3-3

ตารางที่ 3-3 ความสัมพันธ์ระหว่างค่าจริงและค่าเข้ารหัสของตัวแปรอิสระแต่ละตัว

ตัวแปรอิสระ	ความสัมพันธ์ระหว่างค่าจริงและค่าเข้ารหัส				
	-1.682	-1.000	0	+1.000	+1.682
อัตราส่วนวีอาร์ (%)	5	10	18	25	30
พีอีช	3	5	7	9	11
เวลา (นาที)	25	32	43	53	60

จากตารางที่ 2-5 จะเห็นว่าเมื่อจำนวนตัวแปรอิสระเท่ากับ 3 ตัว จะทำให้เกิดจำนวนการทดลองรวมทั้งหมด 20 การทดลอง ตามตารางที่ 3-4

3.5.3.2 ขั้นตอนดำเนินการทดลอง

- ก) หาปริมาณโอลิฟที่ผลิตได้จากเครื่องผลิตโอลิฟ โดยวิธีอิโนโடเมตริก
- ข) เตรียมตัวอย่างน้ำเสียสังเคราะห์ ซึ่งประกอบไปด้วยหมึกกรูาน้ำหรือหมึกเฟลีคโซ ปริมาตร 18 มิลลิลิตร กับน้ำ 1 ลิตร คนให้ละลายเข้ากัน และใส่สารเพอร์แซลเพดลงไป 2 กรัม เพื่อทำให้น้ำเสียสังเคราะห์ติดต่อกัน จากนั้นแยกน้ำเสียสังเคราะห์และตะกอนออกจากกัน

ตารางที่ 3-4 การออกแบบส่วนบประมาณกลางในการทดลองส่วนที่ 2 สำหรับตัวแปรอิสระ 3 ตัว

ลำดับที่	ค่าเข้ารหัสของตัวแปรอิสระ		
	อัตราส่วนวีอาร์ (X_1)	พีอีช (X_2)	เวลา (X_3)
1	1.682	0	0
2	0	0	0
3	-1	-1	1
4	0	0	0
5	-1.682	0	0
6	0	0	0
7	-1	-1	-1
8	-1	1	1
9	0	0	1.682
10	0	-1.682	0

ตารางที่ 3-4 (ต่อ)

ลำดับที่	ค่าเข้ารหัสของตัวแปรอิสระ		
	อัตราส่วนวีอาร์ (X_1)	พีโอดี (X_2)	เวลา (X_3)
11	0	1.682	0
12	1	1	-1
13	-1	1	-1
14	0	0	0
15	1	1	1
16	0	0	0
17	0	0	0
18	1	-1	-1
19	1	-1	-1
20	0	0	-1.682

- ก) นำน้ำเสียสังเคราะห์มานิเคราะห์ความชุ่นและค่าศักย์ชีด้า
 ก) ต่ออุปกรณ์ดังภาพที่ 3-4
 จ) เดิมน้ำเข้าถังความดัน 5 ลิตร จากนั้นอัดอากาศจากเครื่องอัดอากาศ
 ให้เข้าสู่ถังความดัน 4 บาร์เกจ
 ฉ) เปิดปั๊มน้ำให้น้ำไหลวนภายในถังความดันเป็นเวลา 10 นาที
 ช) นำน้ำเสียสังเคราะห์ ที่เตรียมได้จากข้อ 3.5.2.2.2 500 มิลลิลิตร
 มาปรับพีโอดี ตามตารางที่ 3-4 จากนั้นวิเคราะห์ค่าศักย์ชีด้า แล้วนำน้ำเสียสังเคราะห์ที่ผ่าน
 การปรับพีโอดีแล้วมาใส่ในถังloyตะกอน
 ช) อัดไอโซนเข้าสู่ถังloyตะกอนโดยใช้เวลาตามตารางที่ 3-4 ซึ่งในการ
 ทดลองจะควบคุมอัตราการไหลของไอโซนให้คงที่ที่ 700 ลูกบาศก์เซนติเมตร/นาที โดยการ
 ปรับวาร์วที่เครื่องวัดอัตราการไหล จากนั้นเม็ดวาร์วจากด้านล่างถังloyตะกอนเพื่อนำน้ำ
 ด้วยยานมานิเคราะห์ค่าศักย์ชีด้าอีกรั้ง
 ฌ) ปรับอัตราส่วนวีอาร์ ตามตารางที่ 3-4 เพื่อลอยตะกอน โดยเริ่มจาก
 ปรับวาร์ลูรูเข็มให้มีอัตราการไหลของน้ำจากถังความดันเข้าสู่ถังloyตะกอน เท่ากับ 500
 มิลลิลิตร/นาที จากนั้นจึงปิดวาร์ว เพื่อให้น้ำจากถังความดันเข้าสู่ถังloyตะกอน โดยนิยาม
 อัตราส่วนวีอาร์ ดังนี้

$$\text{อัตราส่วนวีอาร์ (\%)} = \frac{\text{ปริมาตรน้ำจากถังความดัน} \times 100}{\text{ปริมาตรสารแขวนลอย}} \quad (3-2)$$

ญ) รองฟองอากาศฟองสุดท้ายลอยพันความสูงของน้ำ 500 มิลลิเมตร จากนั้นเปิดวาล์วจากด้านล่างถังลอยตะกอน เพื่อน้ำตัวอย่างที่ผ่านการลอยตะกอนมาวิเคราะห์ความชื้น

ฎ) ทำความสะอาดถังลอยตะกอน

ฏ) ทำการทดลอง 20 การทดลอง ตามสภาวะของแต่ละการทดลองตามตารางที่ 3-4

ฐ) บันทึกผลการทดลองและคำนวณหาประสิทธิภาพ ในการกำจัดความชื้นในแต่ละการทดลอง ดังสมการ

$$\text{ประสิทธิภาพการกำจัดความชื้น (\%)} = \frac{\text{ความชื้นก่อนลอยตะกอน} - \text{ความชื้นหลังลอยตะกอน}}{\text{ความชื้นก่อนลอยตะกอน}} \times 100$$

(3-3)

๗) นำข้อมูลไปคำนวณและวิเคราะห์ผลโดยวิธีการทำงานสถิติ

๘) สร้างแบบจำลองทางคณิตศาสตร์ และวิเคราะห์สัมประสิทธิ์

ในแบบจำลอง

๙) นำรายผลตอบจากแบบจำลองคณิตศาสตร์ และตรวจสอบ

ความถูกต้องของแบบจำลอง

๑) การหาสภาวะที่เหมาะสมในการกำจัดความชื้น และหาสภาวะ

ที่เหมาะสมในการกำจัดเสถียรภาพของอนุภาคคลอลลอยด์ โดยใช้ศักย์ซึ่ด้าเป็นค่าที่แสดงถึงเสถียรภาพของระบบคลอลลอยด์

๒) คำนวณหาเบอร์เช็นด์ประสิทธิภาพ ของชุดอุปกรณ์ลอยตะกอน

การคำนวณเบอร์เช็นด์ประสิทธิภาพของชุดอุปกรณ์ลอยตะกอน

เนื่องจากประสิทธิภาพการกำจัดความชื้น เป็นการคำนวณที่ยังไม่ได้นักผลของการเจือจางสารแขวนลอยด้วยน้ำจากถังความดัน จึงต้องคำนวณผลของการเจือจางของน้ำจากถังความดัน เพื่อหาค่าประสิทธิภาพของชุดอุปกรณ์ลอยตะกอน ให้ใกล้เคียงความเป็นจริงมากที่สุด โดยที่ประสิทธิภาพที่นำมาคิดได้จากการคำนวณค่าความชื้นที่เปลี่ยนไป และหักผลของการเจือจางสารแขวนลอยด้วยน้ำจากถังความดัน โดยกำหนดให้ที่เวลาเริ่มต้นคือ เวลาที่น้ำจากถังความดันเข้าถังลอยตะกอนครบตามจำนวนเบอร์เช็นด์วีอาร์ และที่เวลาในการเก็บตัวอย่างคือ เวลา หลังจากทำการลอยตะกอนจนอากาศฟองสุดท้ายลอยพันความสูงของน้ำ 500 มิลลิเมตร

$$\text{ประสิทธิภาพ} (\%) = \frac{[(y_I \times V_I) + (y_R \times V_R)] - [(y_f \times V_f) + (y_p \times V_p)]}{(y_I \times V_I) + (y_R \times V_R)} \times 100 \quad (3-4)$$

โดยที่ y_I คือ ค่าความชุ่นของน้ำด้วยปั่ง (เอ็นทีบี)

y_f คือ ค่าความชุ่นของน้ำด้วยหลังทดสอบ (เอ็นทีบี)

y_R คือ ค่าความชุ่นของน้ำจากถังความดัน (เอ็นทีบี)

y_p คือ ค่าความชุ่นของตะกอนที่ลอยขึ้นด้านบน (เอ็นทีบี)

V_I คือ ปริมาตรน้ำด้วยปั่งเริ่มต้น (ลิตร)

V_f คือ ปริมาตรน้ำด้วยหลังทดสอบ (ลิตร)

V_R คือ ปริมาตรน้ำจากถังความดันที่เข้าสู่ถังลอยตะกอน (ลิตร)

V_p คือ ปริมาตรน้ำที่ติดไปกับตะกอนที่ลอยขึ้นข้างบน (ลิตร)

เนื่องจากน้ำในถังความดันที่ใช้เป็นน้ำประปา ซึ่งค่าความชุ่นมีค่าน้อยมาก (y_R เข้าใกล้ศูนย์) และปริมาตรของน้ำที่ติดไปกับตะกอน ที่ลอยขึ้นด้านบน มีค่าน้อยมาก (V_p มีค่าน้อยมาก เมื่อเทียบกับ V_f จึงสามารถ忽略ทิ้งได้) ดังนั้นสมการที่ 3-4 จึงลดรูปเป็น

$$\text{ประสิทธิภาพ} (\%) = \frac{(y_I \times V_I) - (y_f \times V_f)}{(y_I \times V_I)} \times 100 \quad (3-5)$$

บทที่ 4

ผลและวิจารณ์การทดลอง

4.1 ปริมาณของโอโซนที่ผลิตได้จากเครื่องผลิตโอโซน

ผลการวิเคราะห์ปริมาณโอโซนที่ผลิตได้ (Ozone dose) จากเครื่องผลิตโอโซน พบว่ามีค่าระหว่าง 22.8-27.6 มิลลิกรัม/ชั่วโมง โดยทำการวิเคราะห์ก่อนทำการทดลองเป็นจำนวน 40 ครั้ง ซึ่งปริมาณโอโซนที่ผลิตได้มีค่าเฉลี่ยเท่ากับ 26.19 มิลลิกรัม/ชั่วโมง

4.2 คุณภาพน้ำเสีย

น้ำเสียที่ใช้ในงานวิจัยเป็นน้ำเสียสังเคราะห์ที่เตรียมขึ้นจาก การนำวัสดุดินจากโรงงานอินเดอร์ริง มาคลายน้ำ ในงานวิจัยได้เก็บตัวอย่างน้ำเสีย ตั้งแต่วันที่ 10 พ.ย. 2547 ถึงวันที่ 15 ธ.ค. 2547 เป็นจำนวน 6 ครั้ง โดยเก็บตัวอย่างน้ำเสียหลังตากgonด้วยสารเฟอรัสซัลเฟต ณ. ตำแหน่ง บ่อตากgonเคมี จากนั้นนำมารวิเคราะห์พารามิเตอร์ต่างๆ ในห้องปฏิบัติการ ผลการวิเคราะห์แสดงดังตารางที่ ข-1

4.3 การวิเคราะห์หาพื้นผิวผลตอบ

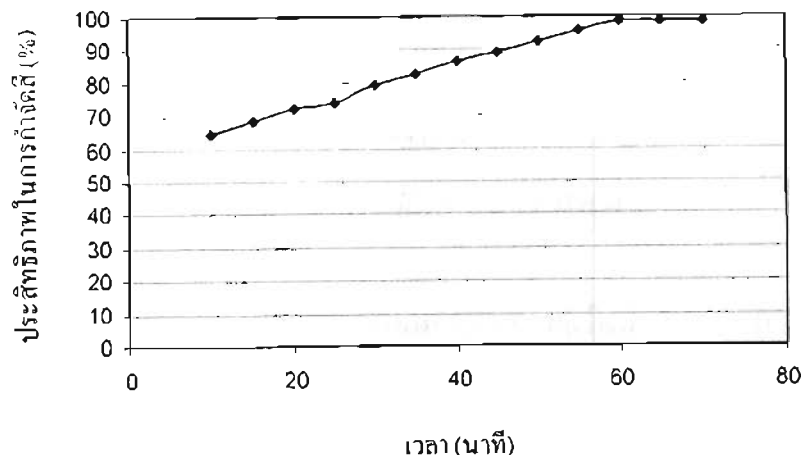
4.3.1 ประสิทธิภาพการกำจัดสี

4.3.1.1 การกำหนดขอบเขตในการทดลองเพื่อหาประสิทธิภาพในการกำจัดสี ก่อนการออกแบบการทดลองเพื่อศึกษาประสิทธิภาพในการกำจัดสี จะต้องทำการทดลองเพื่อหาขอบเขตของเวลาในการโอโซเนชัน ผลที่ได้แสดงดังภาพที่ 4-1

จากการที่ 4-1 จะเห็นว่าประสิทธิภาพในการกำจัดสีเพิ่มขึ้นเมื่อเวลาเพิ่มแต่ประสิทธิภาพในการกำจัดสีจะเริ่มคงที่ที่เวลาในการโอโซเนชัน 60 นาที ดังนั้นขอบเขตของเวลาในการโอโซเนชันที่ใช้ในการออกแบบการทดลองจะอยู่ระหว่าง 10-60 นาที และในการกำหนดขอบเขต ภาระสารอินทรีย์ของน้ำเสียสังเคราะห์ จะใช้ค่าซีโอดีเฉลี่ยหลังตากgonของน้ำเสียจากโรงงาน (ประมาณ 1300 มิลลิกรัม/ลิตร) เป็นค่ากลางในการออกแบบการทดลอง ดังนั้นในการออกแบบ การทดลองจะได้ขอบเขตของภาระอินทรีย์ของน้ำเสียสังเคราะห์อยู่ระหว่าง 650-1,950 มิลลิกรัม/ลิตร

4.3.1.2 ผลการวิเคราะห์ทางสถิติของประสิทธิภาพในการกำจัดสี

หลังจากที่ได้ทำการทดลองเพื่อหาประสิทธิภาพ ในการกำจัดสีตามที่ได้ออกแบบ การทดลองในตารางที่ 3-2 จากนั้นนำผลการทดลองที่ได้มารวิเคราะห์โดยวิธีทางสถิติ ผลการวิเคราะห์แสดงดังตารางที่ 4-1



ภาพที่ 4-1 ประสิทธิภาพในการกำจัดสีที่เวลาในการโอมิโซเนชันต่างๆ ที่ซีไอดี เท่ากับ 1,940 มิลลิกรัม/ลิตร และพีเอช เท่ากับ 4.3

ตารางที่ 4-1 ผลการวิเคราะห์ทางสถิติของประสิทธิภาพในการกำจัดสี โดยมีระดับนัยสำคัญที่ 0.05

The analysis was done using coded units.						
Estimated Regression Coefficients for %color removal						
Term	Coef	SE Coef	T	P		
Constant	77.945	1.624	48.005	0.000		
organic	-6.675	1.077	-6.196	0.000		
pH	2.901	1.077	2.693	0.023		
Time	6.966	1.077	6.467	0.000		
organic * organic	2.986	1.049	2.848	0.017		
pH*pH	0.713	1.049	0.680	0.512		
Time*Time	-0.517	1.049	-0.493	0.632		
organic * pH	-2.276	1.408	-1.617	0.137		
organic * Time	2.681	1.408	1.905	0.086		
p!!*Time	-0.261	1.408	-0.186	0.856		
S = 3.981	R-Sq = 91.1%	R-Sq(adj) = 83.1%				
Analysis of Variance for %color removal						
Source	DF	Seq SS	Adj SS	Adj MS	F	P
Regression	9	1627.48	1627.48	180.831	11.41	0.000
Linear	3	1386.28	1386.28	462.093	29.16	0.000
Square	3	141.69	141.69	47.231	2.98	0.083
Interaction	3	99.51	99.51	33.170	2.09	0.165
Residual Error	10	158.49	158.49	15.849		
Lack-of-Fit	5	157.73	157.73	31.547	207.89	0.000
Pure Error	5	0.76	0.76	0.152		
Total	19	1785.97				

ตารางที่ 4-1 (ต่อ)

The analysis was done using coded units.	
Estimated Regression Coefficients for %color removal using data in uncoded units	
Term	Coeff
Constant	109.443
organic	-0.0682526
pH	2.93289
Time	0.0775388
organic * organic	0.0000199925
pH*pH	0.126052
Time*Time	-0.00234106
organic * pH	-0.00247623
organic * Time	0.000466690
pH*Time	-0.00738927

จากตารางที่ 4-1 สามารถสรุปผลการวิเคราะห์ทางสถิติ ที่ระดับนัยสำคัญ 0.05 ได้ดังนี้

1. ผลจากปัจจัยทั้งสามปัจจัย ได้แก่ ภาระสารอินทรีย์ ค่าพีเอช และเวลา มีนัยสำคัญทางสถิติ เนื่องจากค่าพีของปัจจัยทั้งสามมีค่าน้อยกว่าระดับนัยสำคัญ โดยมีสัมประสิทธิ์การถดถอย (Regression Coefficients) สำหรับดัชน้ำแปรภาระสารอินทรีย์เป็นลบ หมายความว่า ถ้ากำหนดปัจจัยอื่นๆ คงที่ การเพิ่มภาระสารอินทรีย์จะทำให้ประสิทธิภาพในการกำจัดสี มีแนวโน้มลดลง สำหรับค่าสัมประสิทธิ์การถดถอยของดัชน้ำแปรพีเอชและเวลา มีค่าเป็นบวก หมายความว่า ถ้ากำหนดปัจจัยอื่นๆ คงที่ การเพิ่มพีเอชและเวลา จะทำให้ประสิทธิภาพในการกำจัดสีแนวโน้มเพิ่มขึ้น

2. อิทธิพลหลักในอันดับที่สองที่มีนัยสำคัญทางสถิติ คือ ภาระสารอินทรีย์ เนื่องจากค่าพีของ Organic * Organic มีค่าน้อยกว่าระดับนัยสำคัญ แสดงว่า ความสัมพันธ์ระหว่างภาระสารอินทรีย์และประสิทธิภาพในการกำจัดสีเป็นไปตามสันโดง แต่ค่าพีเอชและเวลาไม่มีความสัมพันธ์ กับประสิทธิภาพการกำจัดสีเป็นเส้นตรง

3. อิทธิพลร่วมของปัจจัยไม่มีนัยสำคัญทางสถิติ เนื่องจากค่าพีของอิทธิพลร่วมของ ปัจจัยมากกว่าระดับนัยสำคัญ หมายความว่า การเปลี่ยนแปลงของภาระสารอินทรีย์ ค่าพีเอช และเวลา ไม่มีผลต่อกัน

4. สำหรับแบบจำลองการถดถอยแบบกำลังสองเดิมรูป (Full Quadratic Model) ซึ่งให้ค่า สัมประสิทธิ์การตัดสินใจ (R^2) เท่ากับ 0.91 แสดงดังสมการ

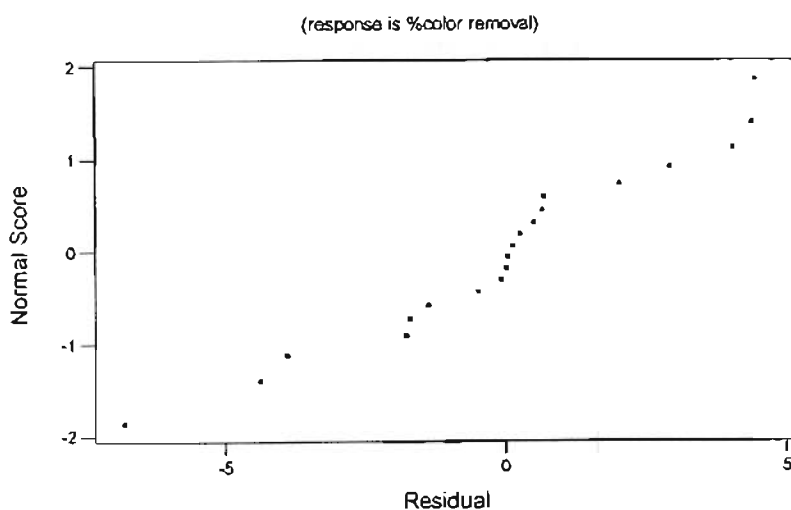
$$Y = 109.443 - 0.0638X_1 + 2.9329X_2 + 0.0775X_3 + 0.00002X_1^2 + 0.1260X_2^2 - 0.0023X_3^2 - 0.0024X_1X_2 + 0.0004X_1X_3 - 0.0073X_2X_3 \quad (4-1)$$

- โดยที่ Y คือ ประสิทธิภาพในการกำจัดสี (%)
 X_1 คือ ภาระสารอินทรีย์ (มิลลิกรัม/ลิตร)
 X_2 คือ พีเอช
 X_3 คือ เวลาในการโอดูโอโซเนชัน (นาที)

5. ตารางที่ 4-2 แสดงค่าการเปรียบเทียบค่าผลตอบที่ได้จากการทดลองและการทำนายตามสมการและจากผลการทดสอบแล็กออกฟิต (Lack of Fit) พบว่า แบบจำลองการทดลองที่ได้ยังไม่สามารถพิสูจน์ได้ดีเพียงพอ เนื่องจากค่าพีของแล็กออกฟิต มีค่าน้อยกว่าระดับนัยสำคัญ

6. กราฟความน่าจะเป็นปกติของส่วนตกลง ของแบบจำลองของประสิทธิภาพในการกำจัดสี แสดงดังภาพที่ 4-2 ซึ่งจากภาพจะเห็นได้ว่ากราฟมีแนวโน้มเป็นเส้นตรง แสดงว่า แบบจำลองนี้มีส่วนตกลงกระจายแบบปกติเป็นไปตามข้อสมมุติฐานทางสถิติ

Normal Probability Plot of the Residuals



ภาพที่ 4-2 กราฟความน่าจะเป็นปกติของส่วนตกลงของแบบจำลองของประสิทธิภาพ
ในการกำจัดสี

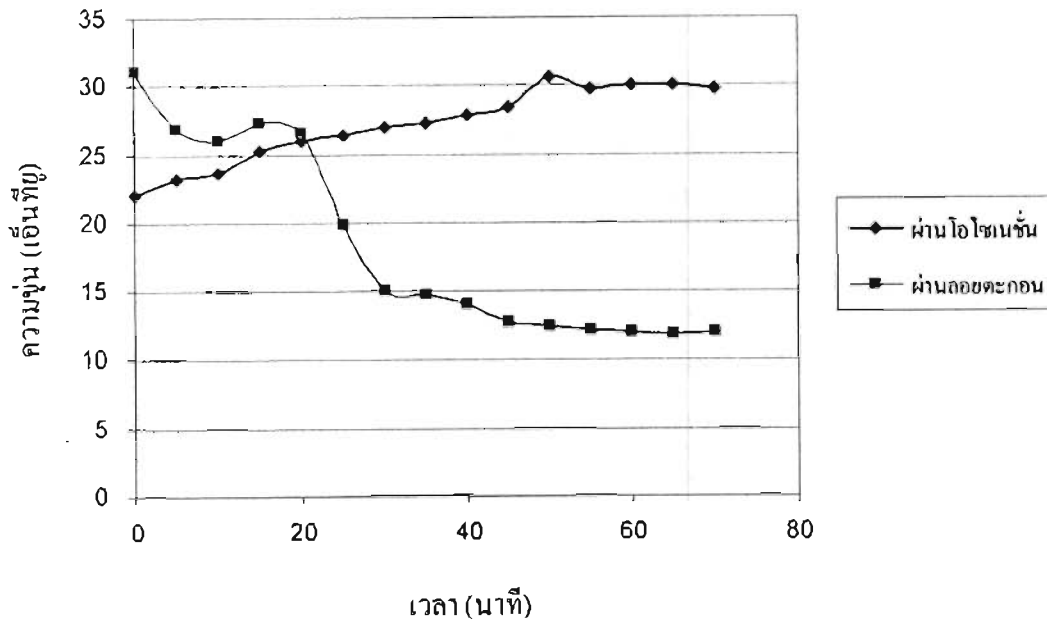
ผลการวิเคราะห์ทางสถิติของประสิทธิภาพในการกำจัดสี มีความสอดคล้องกับการศึกษาของ Konsowa [33] และ Ensar และคณะ [42] ซึ่งพบว่า โอดูโอโซน มีประสิทธิภาพในการกำจัดสี ได้เป็นอย่างดี โดยที่ประสิทธิภาพในการกำจัดสีจะเพิ่มขึ้นเมื่อเพิ่มค่าพีเอช และจะลดลงเมื่อเพิ่มภาระสารอินทรีย์ และจากการศึกษาของ Chalor Jarusuttirak [36] พบว่า ประสิทธิภาพในการกำจัดสีขึ้นอยู่กับระยะเวลาที่ใช้ในการทำปฏิกิริยา เมื่อระยะเวลาในการทำปฏิกิริยามากขึ้น จะช่วยให้ประสิทธิภาพในการกำจัดสีเพิ่มขึ้นด้วย

**ตารางที่ 4-2 การเปรียบเทียบค่าผลตอบที่ได้จากการทดลองและการทำนายของแบบจำลอง
การลดด้อยของประสิทธิภาพในการกำจัดสี**

ลำดับ	ประสิทธิภาพกำจัดสีที่ได้จากการทดลอง (%)	ประสิทธิภาพกำจัดสีที่ได้จากการทำนาย (%)	ค่าความแตกต่าง (%)
1	78.220	77.945	0.275
2	71.180	75.082	-3.902
3	89.630	88.956	0.674
4	91.140	88.198	2.942
5	77.480	77.945	-0.465
6	78.100	77.945	0.155
7	85.420	87.171	-1.751
8	70.790	75.165	-4.375
9	68.320	63.918	4.402
10	77.890	77.945	-0.055
11	70.160	65.691	4.469
12	84.900	84.842	0.058
13	78.660	77.945	0.715
14	83.110	84.463	-1.353
15	77.980	77.945	0.035
16	57.980	64.766	-6.786
17	82.150	78.079	4.071
18	98.150	97.618	0.532
19	95.320	97.004	-1.684
20	85.780	83.736	2.044

4.3.2 ประสิทธิภาพการกำจัดความชุ่น

4.3.2.1 การหาขอบเขตในการทดลองส่วนเพื่อหาประสิทธิภาพการกำจัดความชุ่น ก่อนการออกแบบการทดลองเพื่อศึกษาประสิทธิภาพในการกำจัดความชุ่น จะต้องทำการทดลองเพื่อกำหนดขอบเขตของตัวแปรอิสระ ผลที่ได้แสดงดังภาพที่ 4-3 และภาพที่ 4-5

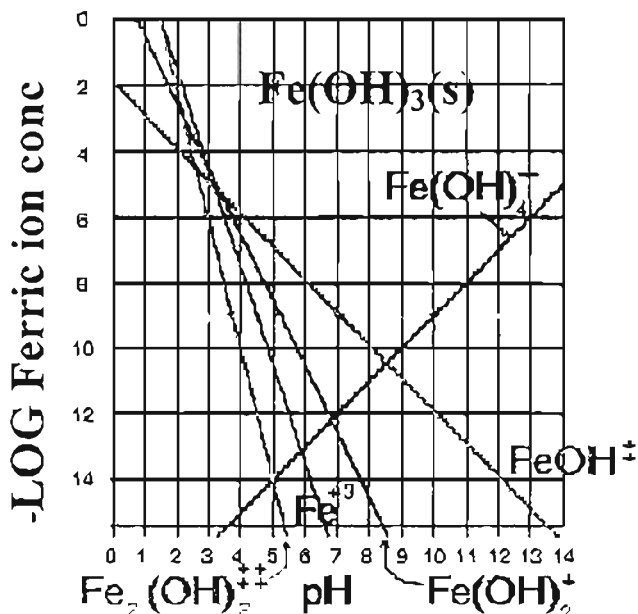


ภาพที่ 4-3 กราฟความสัมพันธ์ระหว่างความชุ่มกับเวลาในการโอโซเนชัน ที่คิวอี เท่ากับ 1,960 มิลลิกรัม/ลิตร ความชุ่ม เท่ากับ 22 เอินทีบี พีเอช เท่ากับ 4.2 ทดลองที่ อัตราส่วนวีอาร์ เท่ากับ 25 เปอร์เซ็นต์

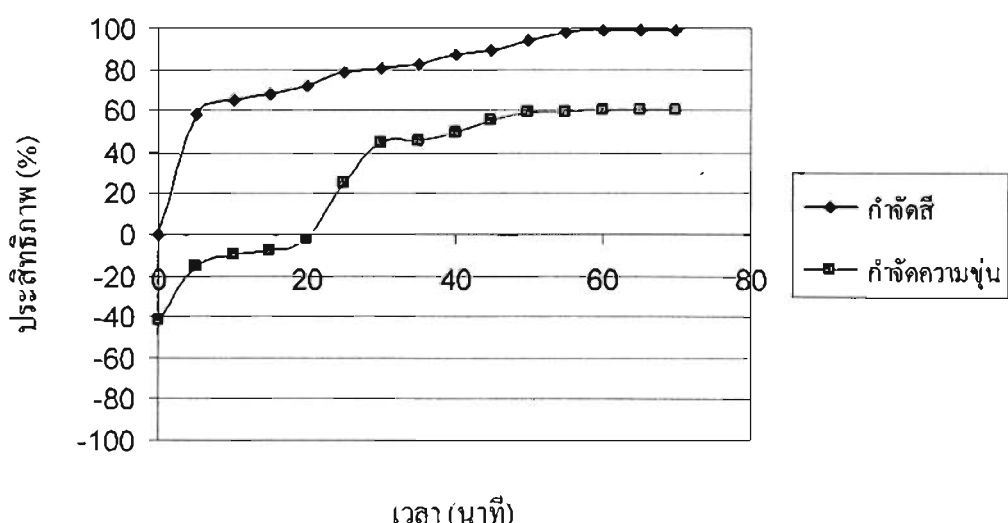
จากภาพที่ 4-3 แสดงให้เห็นว่าเมื่อน้ำนำ้าเสียสังเคราะห์ ผ่านกระบวนการโอโซเนชัน ความชุ่มจะเพิ่มขึ้นตามเวลา อาจเป็น เพราะโอโซนจะเข้าไปออกซิไดร์เหล็กที่ละลายอยู่ในรูป เฟอรัส (Fentous, Fe^{2+}) ไปเป็นเฟอริก (femic, Fe^{3+}) ซึ่งจะถูกไฮดรอลิซไปเป็นเฟอริกไฮดรอกไซด์ (Ferric Hydroxide, Fe(OH)_3) และตกตะกอนออกจากสารละลาย [1] ทำให้น้ำภาคแขวนลอย อยู่ในน้ำเพิ่มขึ้น ซึ่งผลของความชุ่มที่เพิ่มขึ้นสอดคล้องกับภาพที่ 4-4 พบว่า ที่ค่าพีเอช เท่ากับ 4.2 และความเข้มข้นของเฟอริกไฮดอน เท่ากับ 0.076 มอล/ลิตร เฟอริกไฮดอนจะอยู่ในรูปของ เฟอริกไฮดรอกไซด์

หลังจากนั้นนำ้าที่ผ่านกระบวนการโอโซเนชันไปลอกตะกอน ที่อัตราส่วนวีอาร์ คงที่ เท่ากับ 25 เปอร์เซ็นต์ พบว่า กราฟเส้นนี้สามารถถูกแบ่งออกเป็น 2 ส่วน คือ ส่วนที่ 1 ที่เวลา ในการโอโซเนชัน ระหว่าง 0-20 นาที ความชุ่มหลังผ่านการลอกตะกอนจะมีค่าเพิ่มขึ้นจาก หลังการผ่านกระบวนการโอโซเนชัน และส่วนที่ 2 ที่เวลาในการโอโซเนชันมากกว่า 20 นาที ความชุ่มหลังผ่านการลอกตะกอน จะลดลงจากหลังการผ่านกระบวนการโอโซเนชัน และจาก ภาพที่ 4-5 พบว่า ที่เวลาในการโอโซเนชันตั้งแต่ 25 นาทีขึ้นไป ประสิทธิภาพในการกำจัด ความชุ่มหลังการลอกตะกอนเพิ่มขึ้นเมื่อเพิ่มเวลาในการโอโซเนชัน เนื่องจากที่ได้กล่าวไว้ข้างต้น นอกจากโอโซนสามารถออกซิไดร์เหล็กในรูปสารละลาย (Soluble Form) ให้อยู่ในรูปที่ไม่ละลาย (Insoluble Form) ทำให้เกิดเป็นอนุภาคแขวนลอยมากขึ้น โอโซนยังสามารถสร้างตะกอน ได้เป็นอย่างดี โดยการเข้าไปทำลายเส้นใยภาพของอนุภาคคลอยด์ ทำให้เกิดการรวมตัว

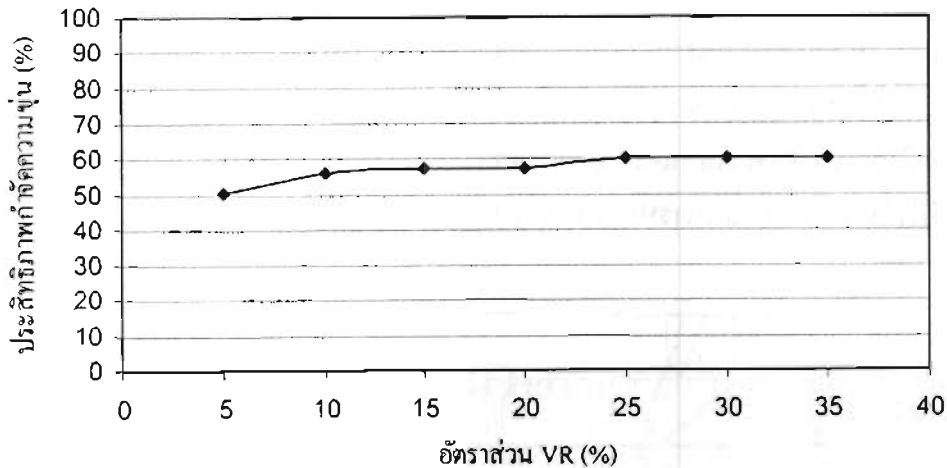
เป็นตะกอน ดังนั้นเมื่อเวลาในการโอโซเนชันเพิ่มขึ้น จะทำให้ความเข้มข้นของสารเแขวนลอยสูงขึ้นและเกิดตะกอนมากขึ้น โดยกาสที่ฟองอากาศมาสัมผัสกับสารเแขวนลอยย่อมมีมากขึ้นด้วยประสิทธิภาพในการกำจัดความชุ่นจะเริ่มคงที่ที่เวลา 60 นาที ดังนั้นขอบเขตของการใช้เวลาในการโอโซเนชันที่ใช้ในการออกแบบการทดลองอยู่ระหว่าง 25-60 นาที



ภาพที่ 4-4 กราฟความสัมพันธ์ระหว่างค่า pH และความเข้มข้นของเฟอริคไอออน [43]

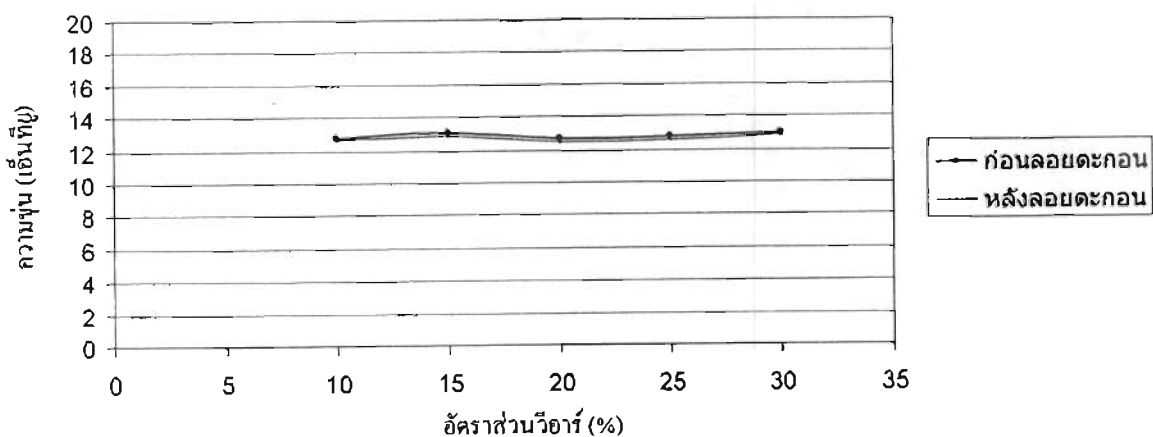


ภาพที่ 4-5 ประสิทธิภาพในการกำจัดสีและความชุ่นที่เวลาในการโอโซเนชันต่างๆ
ที่ซีโอดี เท่ากับ 1,960 มิลิกรัม/ลิตร ความชุ่น เท่ากับ 22 เอินทีบี พีเอช
เท่ากับ 4.2 ทดลองที่อัตราส่วนวีอาร์ เท่ากับ 25 เปอร์เซ็นต์



ภาพที่ 4-6 ประสิทธิภาพในการจำกัดความชุ่นที่อัตราส่วนวีอาร์ต่างๆ ที่ซีโอดี เท่ากับ 1,960 มิลลิกรัม/ลิตร ความชุ่นเริ่มต้น เท่ากับ 22 เอ็นที่บู พีโอช เท่ากับ 4.2 ทดลองที่เวลาในการออกซิเจนชั้น เท่ากับ 60 นาที

จากภาพที่ 4-6 แสดงให้เห็นว่า ประสิทธิภาพในการจำกัดความชุ่นมีแนวโน้มเพิ่มขึ้น เมื่อเพิ่มอัตราส่วนวีอาร์ และประสิทธิภาพจะเริ่มคงที่ที่อัตราส่วนวีอาร์เท่ากับ 30 เปอร์เซ็นต์ ดังนั้นขอบเขตของอัตราส่วนวีอาร์ ที่ใช้ในการออกแบบการทดลองอยู่ระหว่าง 5-30 เปอร์เซ็นต์ ในการทดลองเพื่อหาประสิทธิภาพการจำกัดความชุ่น ถ้าภาระสารอินทรีย์มีค่าซีโอดี เท่ากับค่าซีโอดีเฉลี่ยหลังดักตะกอนของน้ำเสียจากโรงงาน (ประมาณ 1,300 มิลลิกรัม/ลิตร) ผลของประสิทธิภาพการจำกัดความชุ่นที่อัตราส่วนวีอาร์ต่างๆ แสดงดังภาพที่ 4-7



ภาพที่ 4-7 กราฟความสัมพันธ์ระหว่างความชุ่นกับอัตราส่วนวีอาร์ ที่ซีโอดีเริ่มต้น เท่ากับ 1,305 มิลลิกรัม/ลิตร ความชุ่นเริ่มต้น เท่ากับ 11.6 เอ็นที่บู พีโอช เท่ากับ 4.1 ทดลองที่เวลาในการออกซิเจนชั้น เท่ากับ 30 นาที

จากภาพที่ 4-7 พบว่า เมื่อการสารอินทรีย์มีค่าซีโอดีเท่ากับ 1,305 มิลลิกรัม/ลิตร จะไม่แสดงความแตกต่างของความชุนก่อนและหลังการลองตะกอนอย่างชัดเจน ดังนั้นในการทดลองหาประสิทธิภาพในการกำจัดความชุน จึงเลือกใช้สารอินทรีย์ของน้ำเสียสังเคราะห์ที่มีค่าซีโอดีเท่ากับ 1,965 ซึ่งเป็นค่าซีโอดีของน้ำเสียหลังตัดตะกอนของโรงงานที่มีค่าตะกอนแขวนลอยเกินมาตรฐานคุณภาพน้ำทิ้งจากโรงงานที่กำหนดไว้ คือต้องไม่เกิน 150 มิลลิกรัม/ลิตร [44]

4.3.2.2 ผลการวิเคราะห์ทางสถิติของประสิทธิภาพในการกำจัดความชุน

หลังจากที่ได้ทำการทดลองเพื่อหาประสิทธิภาพในการกำจัดความชุน ตามที่ได้ออกแบบการทดลองใน ตารางที่ 3-4 จานวนนำผลการทดลองที่ได้มารวบรวมโดยวิธีการทางสถิติ ผลการวิเคราะห์แสดงดังตารางที่ 4-3

**ตารางที่ 4-3 ผลการวิเคราะห์ทางสถิติของประสิทธิภาพการกำจัดความชุน
โดยมีระดับนัยสำคัญที่ 0.05**

The analysis was done using coded units.					
Estimated Regression Coefficients for %turbid					
Term	Coef	SE Coef	T	P	
Constant	58.7727	0.4124	142.527	0.000	
VR	4.9365	0.2736	18.043	0.000	
pH	1.7559	0.2736	6.418	0.000	
Time	2.5256	0.2736	9.231	0.000	
VR*VR	-0.0223	0.2663	-0.084	0.935	
pH*pH	-0.7753	0.2663	-2.911	0.016	
Time*Time	-0.3581	0.2663	-1.345	0.208	
VR*pH	-0.5937	0.3575	-1.661	0.128	
VR*Time	-0.7337	0.3575	-2.053	0.067	
pH*Time	-0.3512	0.3575	-0.983	0.349	
S = 1.011	R-Sq = 97.9%	R-Sq(adj) = 96.0%			
Term	Coef	SE Coef	T	P	
Constant	58.7727	0.4124	142.527	0.000	
VR	4.9365	0.2736	18.043	0.000	
pH	1.7559	0.2736	6.418	0.000	
Time	2.5256	0.2736	9.231	0.000	
VR*VR	-0.0223	0.2663	-0.084	0.935	
pH*pH	-0.7753	0.2663	-2.911	0.016	
Time*Time	-0.3581	0.2663	-1.345	0.208	
VR*pH	-0.5937	0.3575	-1.661	0.128	
VR*Time	-0.7337	0.3575	-2.053	0.067	
pH*Time	-0.3512	0.3575	-0.983	0.349	
S = 1.011	R-Sq = 97.9%	R-Sq(adj) = 96.0%			

ตารางที่ 4-3 (ต่อ)

The analysis was done using coded units.						
Analysis of Variance for %turbid removal						
Source	DF	Seq SS	Adj SS	Adj MS	F	P
Regression	9	480.045	480.045	53.338	52.18	0.000
Linear	3	462.023	462.023	154.008	150.65	0.000
Square	3	9.908	9.908	3.303	3.23	0.069
Interaction	3	8.114	8.114	2.705	2.65	0.106
Residual Error	10	10.223	10.223	1.022		
Lack-of-Fit	5	8.334	8.334	1.667	4.41	0.065
Pure Error	5	1.889	1.889	0.378		
Total	19	490.268				

Estimated Regression Coefficients for %turbid removal using data in uncoded units						
Term	Coeff					
Constant	3.45927					
VR	1.31661					
pH	3.84812					
Time	0.789248					
VR*VR	-0.000403114					
pH*pH	-0.137062					
Time*Time	-0.00330771					
VR*pH	-0.0335876					
VR*Time	-0.00948735					
pH*Time	-0.0141926					

จากตารางที่ 4-3 สามารถสรุปผลการวิเคราะห์ทางสถิติ ที่ระดับนัยสำคัญ 0.05 ได้ดังนี้

1. อิทธิพลหลักที่มีต่อประสิทธิภาพในการกำจัดความชุ่นเกิดขึ้นทั้งสามปัจจัย ได้แก่ อัตราส่วนวีอาร์ พีเอช และเวลาในการโอโซเนชัน เนื่องจากค่าพีของปัจจัยทั้งสามมีค่าน้อยกว่า ระดับนัยสำคัญ โดยมีค่าสัมประสิทธิ์การถดถอยสำหรับตัวแปรทั้งสามเป็นบวก หมายความว่า หากกำหนดปัจจัยอื่นคงที่ เมื่อเพิ่มอัตราส่วนวีอาร์ พีเอช และเวลา จะทำให้ประสิทธิภาพในการกำจัดความชุ่นมีแนวโน้มเพิ่มขึ้น

2. อิทธิพลหลักในอันดับที่สองที่มีนัยสำคัญทางสถิติ คือ พีเอช เนื่องจากค่าพีของ pH * pH มีค่าน้อยกว่าระดับนัยสำคัญ แสดงว่า ความสัมพันธ์ระหว่างพีเอชและประสิทธิภาพในการกำจัดความชุ่นเป็นไปตามเส้นโค้ง แต่อัตราส่วนวีอาร์ และเวลาในการโอโซเนชัน มีความสัมพันธ์กับประสิทธิภาพการกำจัดความชุ่นเป็นเส้นตรง

3. อิทธิพลร่วมของปัจจัยไม่มีนัยสำคัญทางสถิติ เนื่องจากค่าพีของอิทธิพลร่วมของ ปัจจัยมากกว่าระดับนัยสำคัญ หมายความว่า การเปลี่ยนแปลงของอัตราส่วนวีอาร์ พีเอช และ เวลาในการโอโซเนชัน ไม่มีผลต่อกัน

4. สำหรับแบบจำลองการถดถอยแบบกำลังสองเดิมรูป (Full Quadratic Model) ซึ่งให้ค่าสัมประสิทธิ์การดัดสินใจ (R^2) เท่ากับ 0.979 แสดงดังสมการ

$$Y = 3.45927 + 1.31661X_1 + 3.84812X_2 + 0.789248X_3 - 0.000403114X_1^2 - 0.137062X_2^2 \\ - 0.00330771X_3^2 - 0.0335876X_1X_2 + 0.00948735X_1X_3 - 0.0141926X_2X_3 \quad (4-2)$$

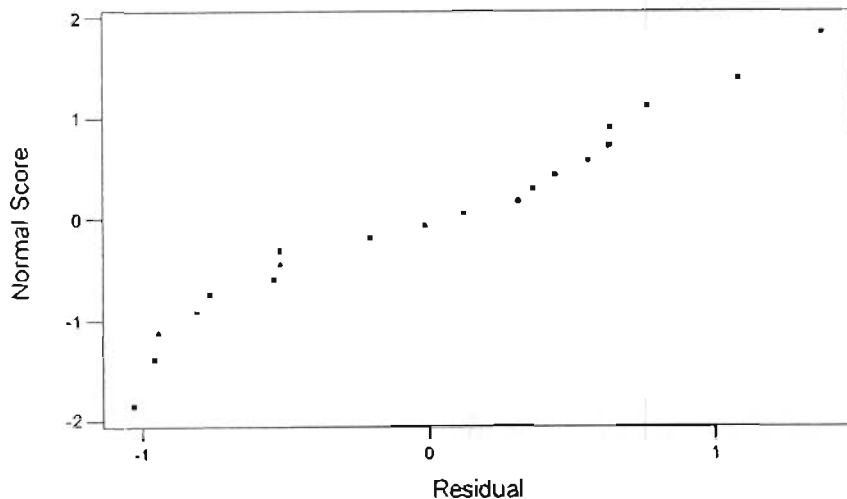
โดยที่ Y คือ ประสิทธิภาพในการกำจัดความชุ่น
 X_1 คือ อัตราส่วนวีอาร์ (%)
 X_2 คือ พีเอช
 X_3 คือ เวลาในการโอโซเนชัน (นาที)

5. ตารางที่ 4-4 แสดงค่าการเปรียบเทียบค่าผลตอบที่ได้จากการทดลอง และการทำนาย ตามสมการและจากผลการทดสอบแล็กออกพิต (Lack of Fit) พบว่า แบบจำลองการทดสอบที่ได้สามารถพิจข้อมูลได้ดีเพียงพอ เนื่องจากค่าพีของแล็กออกพิต มีค่ามากกว่าระดับนัยสำคัญ

6. กราฟความน่าจะเป็นปกติของส่วนเด็ก้าง ของแบบจำลองของประสิทธิภาพในการกำจัดความชุ่น แสดงดังภาพที่ 4-8 ซึ่งจากภาพจะเห็นได้ว่ากราฟมีแนวโน้มเป็นเส้นตรง แสดงว่า แบบจำลองนี้มีส่วนเด็ก้างกระจายแบบปกติเป็นไปตามข้อสมมุติฐานทางสถิติ

ผลการวิเคราะห์ทางสถิติของประสิทธิภาพในการกำจัดความชุ่น มีความสอดคล้องกับการศึกษาของ Shamrani และคณะ [45] ซึ่งพบว่า ปริมาณของฟองอากาศมีผลต่อประสิทธิภาพในการกำจัดความชุ่น โดยฟองอากาศที่มากขึ้นจะสามารถถอยอนุภาคแขวนลงอยู่ขึ้นไปสู่ผิวน้ำ ได้มากขึ้นเป็นการเพิ่มประสิทธิภาพในการกำจัดความชุ่น งานวิจัยนี้แสดงปริมาณของฟองอากาศในเทอมของอัตราส่วนวีอาร์ โดยการเพิ่มอัตราส่วนวีอาร์จะทำให้เกิดฟองอากาศมากขึ้น นอกจากนั้นพบว่า การทำให้อนุภาคแขวนถอยรวมตัวกัน (Flocculation) ก่อนการลอยตะกอนเป็นการเพิ่มประสิทธิภาพในการกำจัดความชุ่น ซึ่งการทำให้ระบบ colloidal มีค่าศักย์ชีด้าเท่ากับศูนย์ จะทำให้ประสิทธิภาพในการกำจัดความชุ่นมีค่ามากที่สุด จากผลการวิเคราะห์ทางสถิติพบว่า การเพิ่มพีเอชและเวลาในการโอโซเนชันถึงสภาวะที่เหมาะสม จะทำให้ค่าศักย์ชีด้ามีค่าเข้าใกล้ศูนย์มากที่สุด

Normal Probability Plot of the Residuals
(response is %turbid removal)



ภาพที่ 4-8 กราฟความน่าจะเป็นปกติของส่วนตอกรังของแบบจำลองของ
ประสิทธิภาพ ในการกำจัดความชุ่น

ตารางที่ 4-4 การเปรียบเทียบค่าผลตอบที่ได้จากการทดลองและการทำนายของแบบจำลอง
การทดสอบของประสิทธิภาพในการกำจัดความชุ่น

ลำดับ	ประสิทธิภาพกำจัด ความชุ่นที่ได้จากการ ทดลอง (%)	ประสิทธิภาพกำจัด ความชุ่นที่ได้จากการ ทำนาย (%)	ค่าความแตกต่าง (%)
1	66.49	67.012	-0.522
2	58.23	58.773	-0.543
3	52.91	53.941	-1.031
4	57.83	58.773	-0.943
5	51.49	50.408	1.082
6	58.76	58.773	-0.013
7	47.09	46.72	0.37
8	56.98	57.938	-0.958
9	63.38	62.007	1.373
10	53.42	53.627	-0.207
11	60.3	59.533	0.767

ตารางที่ 4-4 (ต่อ)

ลำดับ	ประสิทธิภาพกำจัด ความชุ่นที่ได้จากการ ทดลอง (%)	ประสิทธิภาพกำจัด ความชุ่นที่ได้จากการ ทำนาย (%)	ค่าความแตกต่าง (%)
12	62.91	62.275	0.635
13	51.6	52.122	-0.522
14	59.22	58.773	0.447
15	64.39	65.156	-0.766
16	59.09	58.773	0.317
17	59.41	58.773	0.637
18	59.81	59.248	0.562
19	63.66	63.534	0.126
20	52.7	53.512	-0.812

4.3.3 ศักย์ชีด้า

ผลการวิเคราะห์ทางสถิติของค่าศักย์ชีด้า แสดงในตารางที่ 4-5

ตารางที่ 4-5 ผลการวิเคราะห์ทางสถิติของค่าศักย์ชีด้า

The analysis was done using coded units.					
Estimated Regression Coefficients for zetapotential					
Term	Coef	SE Coef	T	P	
Constant	2.013	0.2508	8.029	0.000	
pH	-4.391	0.1960	-22.405	0.000	
Time	-1.355	0.1960	-6.911	0.000	
pH*pH	-1.398	0.1899	-7.364	0.000	
Time*Time	-0.408	0.1899	-2.150	0.050	
pH*Time	-0.437	0.2561	-1.708	0.110	
$S = 0.7243$ $R-Sq = 97.8\%$ $R-Sq(\text{adj}) = 97.0\%$					

ตารางที่ 4-5 ผลการวิเคราะห์ทางสถิติของค่าศักย์ชีต้า

The analysis was done using coded units.						
Analysis of Variance for zetapotential						
Source	DF	Seq SS	Adj SS	Adj MS	F	P
Regression	5	319.567	319.567	63.913	121.82	0.000
Linear	2	288.422	288.422	144.211	274.87	0.000
Square	2	29.614	29.614	14.807	28.22	0.000
Interaction	1	1.531	1.531	1.531	2.92	0.110
Residual Error	14	7.345	7.345	0.525		
Lack-of-Fit	3	7.091	7.091	2.364	102.47	0.000
Pure Error	11	0.254	0.254	0.023		
Total	19	326.912				
Estimated Regression Coefficients for zetapotential using data in uncoded units						
Term		Coef				
Constant		-3.70670				
pH		2.36497				
Time		0.313940				
pH*pH		-0.247144				
Time*Time		-0.00376916				
pH*Time		-0.0176777				

จากตารางที่ 4-5 สามารถสรุปผลการวิเคราะห์ทางสถิติ ที่ระดับนัยสำคัญ 0.05 ได้ดังนี้

1. อิทธิพลหลักที่มีต่อค่าศักย์ชีต้า ได้แก่ pH และเวลาในการโอโซเนชัน เนื่องจากค่าพี ของปัจจัยทั้งสองมีค่าน้อยกว่าระดับนัยสำคัญ โดยมีค่าสัมประสิทธิ์การถดถอยล้วนตัวแปรทั้งสามเป็นบวก หมายความว่า หากกำหนดปัจจัยอื่นคงที่ เมื่อเพิ่มพีเอชและเวลาในการโอโซเนชัน จะทำให้ค่าศักย์ชีต้ามีแนวโน้มเป็นบวกน้อยลงและมีความเป็นลบมากขึ้น

2. อิทธิพลหลักในอันดับที่สองที่มีนัยสำคัญทางสถิติ คือ การสารอินทรีย์ เนื่องจากค่าพี ของ pH * pH มีค่าน้อยกว่าระดับนัยสำคัญ แสดงว่า ความสัมพันธ์ระหว่างพีเอชและค่าศักย์ชีต้า เป็นไปตามสันโถง แต่เวลาในการโอโซเนชันมีความสัมพันธ์กับค่าศักย์ชีต้าเป็นเส้นตรง

3. อิทธิพลร่วมของปัจจัยไม่มีนัยสำคัญทางสถิติ เนื่องจากค่าพีของอิทธิพลร่วมของปัจจัย มากกว่าระดับนัยสำคัญ หมายความว่า การเปลี่ยนแปลงของพีเอชและเวลาในการโอโซเนชัน ไม่มีผลต่อกัน

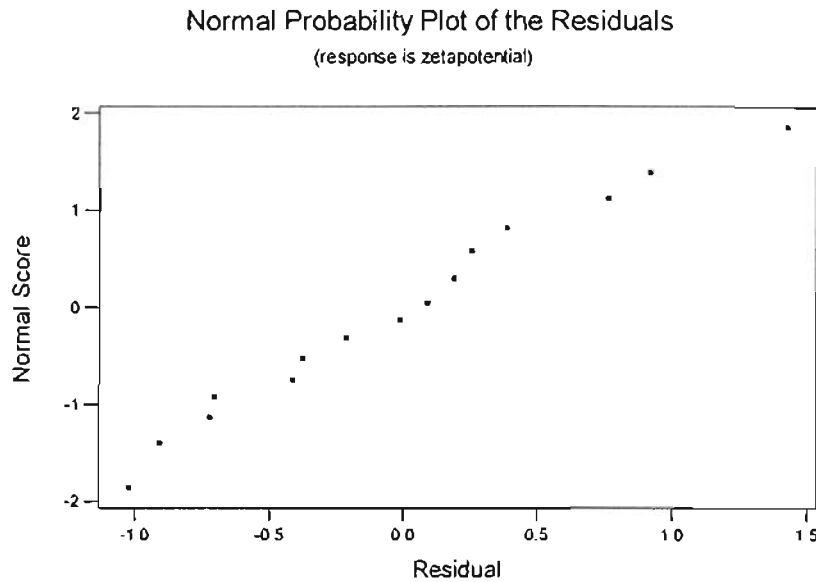
4. สำหรับแบบจำลองการถดถอย ซึ่งให้ค่า สัมประสิทธิ์การตัดสินใจ (R^2) เท่ากับ 0.978 แสดงดังสมการ

$$\begin{aligned}
 Y = & -3.70670 + 2.36497X_1 + 0.313940X_2 - 0.247144X_1^2 - 0.00376916X_2^2 \\
 & - 0.0176777X_1X_2
 \end{aligned} \tag{4-3}$$

โดยที่ Y คือ ค่าศักย์ชีต้า
 X_1 คือ พีเอช
 X_2 คือ เวลาในการโอโซเนชัน (นาที)

5. ตารางที่ 4-6 แสดงค่าการเปรียบเทียบค่าผลตอบที่ได้จากการทดลอง และการทำนาย ตามสมการและจากผลการทดสอบแล็อกออกฟิต (Lack of Fit) พบว่า แบบจำลองการถดถอย ที่ได้ยังไม่สามารถพิสูจน์ได้ดีเพียงพอ เนื่องจากค่าพีของแล็อกออกฟิต มีค่าน้อยกว่าระดับนัยสำคัญ

6. กราฟความน่าจะเป็นปกติของส่วนตกลงของแบบจำลองของศักย์ชีต้า แสดงดังภาพที่ 4-9 ซึ่งจากภาพจะเห็นได้ว่ากราฟมีแนวโน้มเป็นเส้นตรง แสดงว่า แบบจำลองนี้มีส่วนตกลง กระจายแบบปกติเป็นไปตามข้อสมมุตฐานทางสถิติ



ภาพที่ 4-9 กราฟความน่าจะเป็นปกติของส่วนตกลงของแบบจำลองของศักย์ชีต้า

ตารางที่ 4-6 การเปรียบเทียบค่าผลตอบที่ได้จากการทดลองและการทำนายของแบบจำลอง
การทดสอบของค่าศักย์ชีต้า

ลำดับ	ค่าศักย์ชีต้าที่ได้จากการทดลอง	ค่าศักย์ชีต้าที่ได้จากการทำนาย	ค่าความแตกต่าง
1	2.000	2.013	-0.013
2	2.400	2.013	0.387
3	3.300	3.681	-0.381
4	2.100	2.013	0.087
5	2.200	2.013	0.187
6	2.000	2.013	-0.013
7	5.300	5.516	-0.216
8	-6.700	-5.976	-0.724
9	-0.500	-1.491	0.919
10	5.700	5.444	0.256
11	-7.900	-9.326	1.426
12	-3.300	-2.392	-0.908
13	-3.100	-2.392	-0.708
14	2.200	2.013	0.187
15	-7.000	-5.976	-1.024
16	2.200	2.013	0.187
17	2.400	2.013	0.387
18	5.100	5.516	-0.416
19	3.300	3.681	-0.381
20	3.900	3.137	0.763

4.4 การหาสภาวะที่เหมาะสม

4.4.1 การหาสภาวะที่เหมาะสมของกระบวนการໂອໂโซเนชัน

ในการวิเคราะห์สภาวะที่เหมาะสมของกระบวนการໂອໂโซเนชัน จะใช้แบบจำลอง
การทดสอบ ตามสมการที่ 4-1 โดยกำหนดค่าเป้าหมายของประสิทธิภาพในการกำจัดสีเท่ากับ

100 เปอร์เซ็นต์ จากผลการคำนวณทำให้ได้สภาวะที่เหมาะสมหมายค่า แต่สภาวะที่เลือกให้เป็นสภาวะที่เหมาะสมที่สุด คือ ที่ภาระสารอินทรีย์ เท่ากับ 650 มิลลิกรัม/ลิตร ค่าพีเอช เท่ากับ 8.7 และเวลาในการโอดิโซเนชันเท่ากับ 20 นาที เนื่องจากเป็นสภาวะที่ใช้เวลาในการโอดิโซเนชันน้อยที่สุดที่ค่าพีเอชหลังการปรับไม่เกินมาตรฐานคุณภาพน้ำทั้งจากโรงงานที่กำหนดไว้ว่า ค่าพีเอชต้องมีค่าอยู่ระหว่าง 5.5-9 [44] จากนั้นได้ทำการทดลองที่สภาวะที่เหมาะสมที่ได้ (ภาระสารอินทรีย์ เท่ากับ 665 มิลลิกรัม/ลิตร ค่าพีเอช เท่ากับ 8.8 และ เวลาในการโอดิโซเนชัน เท่ากับ 20 นาที) ผลที่ได้คือ ประสิทธิภาพในการกำจัดสี เท่ากับ 98.5 เปอร์เซ็นต์ ซึ่งผลที่ได้จากการทดลองนี้มีความแตกต่างจากผลการทำนายโดยใช้แบบจำลองเพียง 1.5 เปอร์เซ็นต์

4.4.2 การหาสภาวะที่เหมาะสมของกระบวนการโอดิโซเนชันร่วมกับการลอยดะกอน

ในการวิเคราะห์หาสภาวะที่เหมาะสมของกระบวนการโอดิโซเนชัน ร่วมกับการลอยดะกอน จะใช้แบบจำลองการทดลอง ตามสมการที่ 4-2 เพื่อหาสภาวะที่เหมาะสมในการกำจัดความชุ่น และตามสมการที่ 4-3 เพื่อหาสภาวะที่เหมาะสมในการทำลายเส้นใยภาพของคอลลอยด์เพื่อให้ได้จุดไอโซอิเล็กทริก คือจุดที่ศักย์ชีด้า เท่ากับ 0 มิลลิโวลต์ จากผลการทำให้ได้สภาวะที่เหมาะสม แสดงดังตารางที่ 4-7 แสดงดังตารางที่ 4-7

ตารางที่ 4-7 สภาวะที่เหมาะสมของกระบวนการโอดิโซเนชันร่วมกับการลอยดะกอน

สภาวะที่เหมาะสม ผลตอบ	อัตราส่วนวี jar (%)	ค่าพีเอช	เวลา (นาที)	ค่าที่ได้จากการทำนาย
กำจัดความชุ่น(%)	30	7.3	60	68
ศักย์ชีด้า (มิลลิโวลต์)	-	6.8	56	0

หลังจากนั้นทำการทดลองที่สภาวะที่เหมาะสมที่ได้ดังกล่าว แล้วนำมาเปรียบเทียบกับผลที่ได้จากการทำนาย ผลที่ได้แสดงดังตารางที่ 4-8

ตารางที่ 4-8 การเปรียบเทียบค่าผลตอบจากการวิเคราะห์ทางสถิติและผลการทดลอง

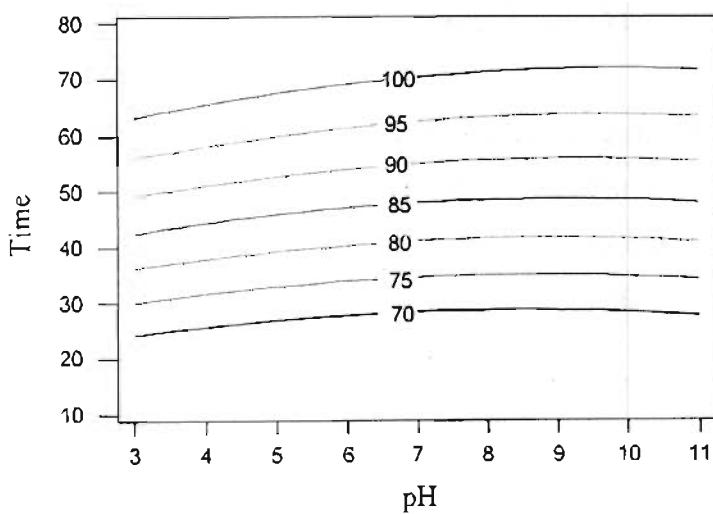
ผลตอบ	ค่าที่ได้จากการทดลอง	ค่าที่ได้จากการทำนาย	ค่าความแตกต่าง (%)
กำจัดความชุ่น(%)	67.56	68	0.64
ศักย์ชีด้า (มิลลิโวลต์)	-0.2	0	-

จากที่ได้กล่าวมาเป็นการหาสภาวะที่เหมาะสมของแต่ละพารามิเตอร์ ได้แก่ ประสิทธิภาพในการกำจัดสี ประสิทธิภาพในการกำจัดความชุ่น และการหาสภาวะที่ทำให้เกิดจุดไอโซอิเล็กทริก ซึ่งเป็นจุดที่อนุภาค colloidal รวมตัวกันได้ดีที่สุด

ในงานวิจัยนี้ได้เลือกสภาวะที่เหมาะสมในการกำจัดความชุ่ม เพื่อใช้ในการบำบัดน้ำเสียขั้นดันของโรงงาน คือ ที่อัตราส่วนวีอาร์ เท่ากับ 30 เปอร์เซ็นต์ ค่าพีเอช เท่ากับ 7.3 และเวลาในการโอดูเนชัน 60 นาที จากสมการการลดถอย ที่สภาวะนี้จะได้ ประสิทธิภาพในการกำจัดสี เท่ากับ 100 เปอร์เซ็นต์ ศักย์ศีริต้า เท่ากับ 2.08 มิลลิโวลล์ และประสิทธิภาพในการกำจัดความชุ่ม เท่ากับ 68 เปอร์เซ็นต์

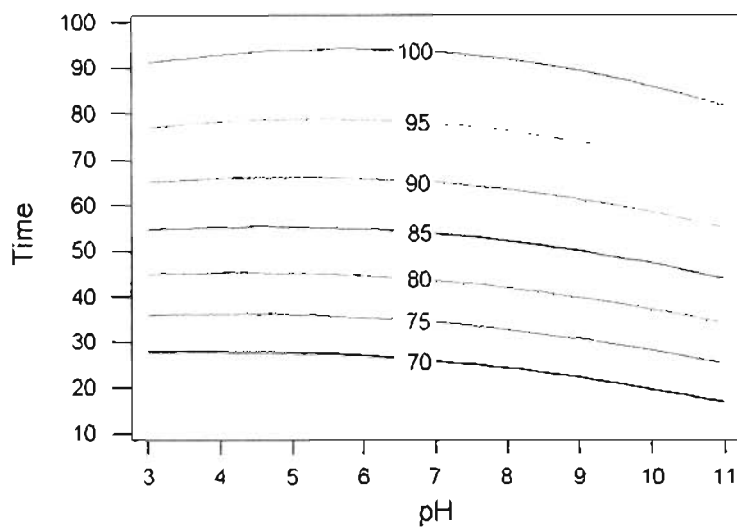
4.4.2.1 สภาวะที่เหมาะสมตามแบบจำลองที่ประสิทธิภาพ ในการกำจัดสี 100 เปอร์เซ็นต์

ในหัวข้อนี้จะกล่าวถึงการใช้แบบจำลองการลดถอย ตามสมการที่ 4-1 เพื่อคำนวณของประสิทธิภาพในการกำจัดสีของน้ำเสียจากโรงงาน ตามสภาวะที่สารอินทรีย์มีค่าซีโอดี เท่ากับค่าซีโอดีที่ได้จากการวิเคราะห์น้ำเสียหลังตกรตะกอนจากโรงงาน โดยคำนวณที่ค่าซีโอดี สูงที่สุด ค่ากลาง ($(ค่าสูงที่สุด + ค่าต่ำที่สุด)/2$) และค่าต่ำที่สุด ซึ่งแสดงดังตารางที่ ข-1 ผลจาก การคำนวณแสดงดังภาพที่ 4-10 ถึง ภาพที่ 4-12



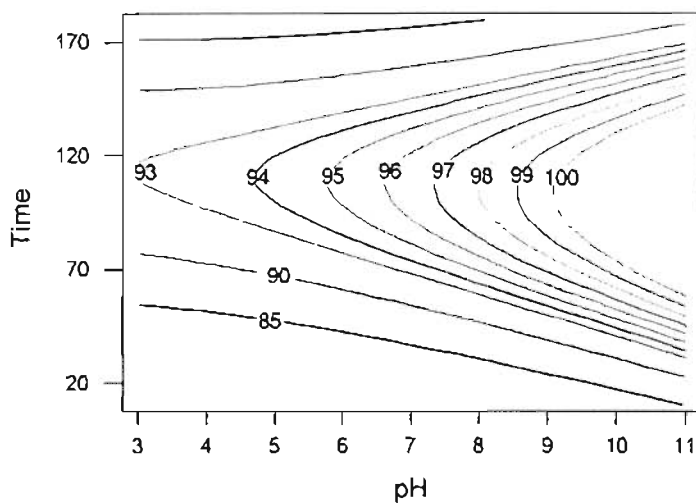
ภาพที่ 4-10 กราฟความสัมพันธ์ระหว่างพีเอชและเวลาในการโอดูเนชัน ที่สารอินทรีย์คงที่ที่ 1,965 มิลลิกรัม/ลิตร ที่ประสิทธิภาพในการกำจัดสีต่างๆ

จากภาพที่ 4-10 พบว่า ที่สารอินทรีย์ 1,965 มิลลิกรัม/ลิตร ซึ่งมีค่าพีเอช เท่ากับ 4.8 จะใช้เวลาในการโอดูเนชัน 66 นาที เพื่อให้ได้ประสิทธิภาพในการกำจัดสี เท่ากับ 100 เปอร์เซ็นต์



ภาพที่ 4-11 กราฟความสัมพันธ์ระหว่างพีเอชและเวลาในการอิโโซเนชัน ที่สารอินทรีย์คงที่ที่ 1,490 มิลลิกรัม/ลิตร ที่ประสิทธิภาพในการกำจัดสีต่างๆ

จากภาพที่ 4-11 พบร้า ที่สารอินทรีย์ 1,490 มิลลิกรัม/ลิตร ซึ่งมีค่าพีเอช เท่ากับ 5.08 จะใช้เวลาในการอิโซเนชัน 98 นาที เพื่อให้ได้ประสิทธิภาพในการกำจัดสี เท่ากับ 100 เปอร์เซ็นต์



ภาพที่ 4-12 กราฟความสัมพันธ์ระหว่างพีเอชและเวลาในการอิโซเนชัน ที่สารอินทรีย์คงที่ที่ 1,015 มิลลิกรัม/ลิตร ที่ประสิทธิภาพในการกำจัดสีต่างๆ

จากภาพที่ 4-12 พบว่า ที่ภาวะสารอินทรีย์ 1,015 มิลลิกรัม/ลิตร ซึ่งมีค่าพีเอชเท่ากับ 5.36 ไม่สามารถกำจัดสีให้ได้ประสิทธิภาพ 100 เปอร์เซ็นต์ ที่สภาวะนี้ได้ นอกจากการปรับค่าพีเอชของน้ำเสียให้ได้อย่างน้อยที่สุดเป็น 9.2 ซึ่งเกินค่ามาตรฐานคุณภาพน้ำทิ้งจากโรงงานที่กำหนดไว้ว่าค่าพีเอช ต้องมีค่าอยู่ระหว่าง 5.5-9 [44] และเวลาในการออกไซเนชันเท่ากับ 100 นาที เพื่อให้ได้ประสิทธิภาพในการกำจัดสี 100 เปอร์เซ็นต์

4.4.2.2 สภาวะที่เหมาะสมตามแบบจำลองที่ค่าพีเอช เท่ากับ 7.3

ในหัวข้อนี้จะกล่าวถึงการใช้แบบจำลองการทดลอง ตามสมการที่ 4-1 เพื่อคำนวณของประสิทธิภาพในการกำจัดสีของน้ำเสียจากโรงงาน ตามสภาวะที่ภาวะสารอินทรีย้มีค่าซีโอดีเท่ากับค่าซีโอดีที่ได้จากการวิเคราะห์น้ำเสียหลังตัดก่อนจากโรงงาน โดยคำนวณผลที่ค่าซีโอดีสูงที่สุด ค่ากลาง และค่าต่ำที่สุด ที่ค่าพีเอช เท่ากับ 7.3 (พีเอชที่เหมาะสมของกระบวนการกำจัดความชุ่น) ผลจากการคำนวณแสดงดังตารางที่ 4-9

ตารางที่ 4-9 สภาวะที่เหมาะสมตามแบบจำลองที่ค่าพีเอช เท่ากับ 7.3

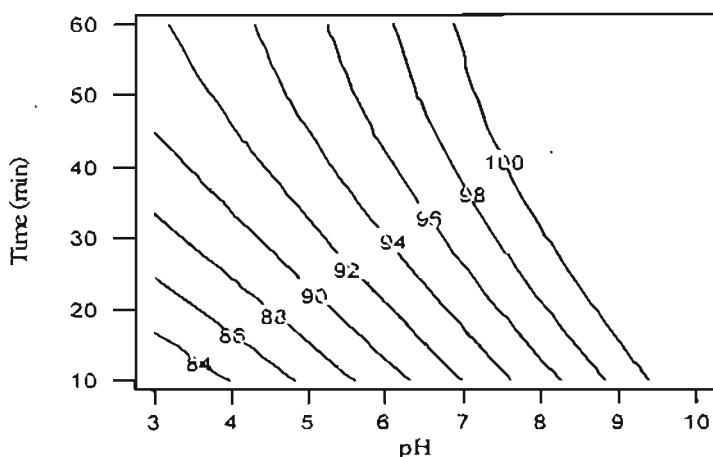
สภาวะที่	ภาวะสารอินทรีย์ (มิลลิกรัม/ลิตร)	เวลาโอโซเนชัน (นาที)	ประสิทธิภาพในการ กำจัดสี (%)
1	1965	69	100
2	1490	96	100
3	1015	110	97

4.5 ผลของค่าพีเอชต่อประสิทธิภาพในการกำจัดสีและกำจัดความชุ่น

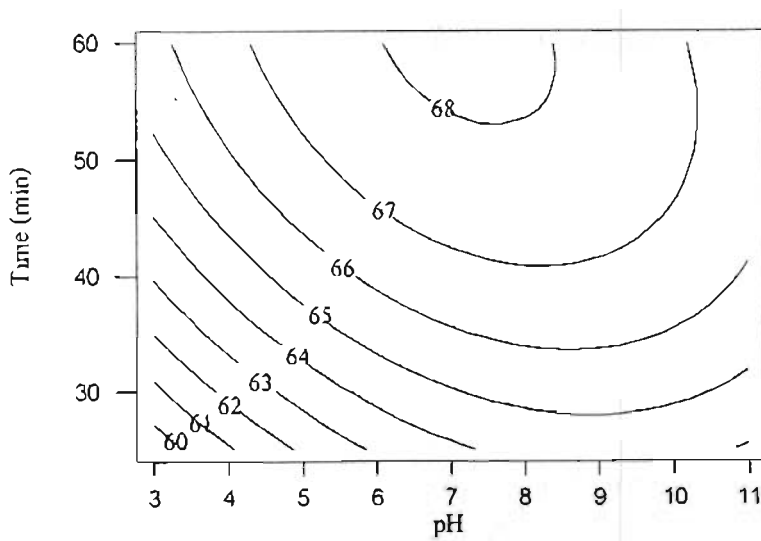
ภาพที่ 4-13 เป็นกราฟแสดงความสัมพันธ์ระหว่างค่าพีเอช และเวลาในการออกไซเนชันที่ภาวะสารอินทรีย์คงที่ที่ 650 มิลลิกรัม/ลิตร ที่ประสิทธิภาพการกำจัดสีต่างๆ ซึ่งจากการจะเห็นว่าที่ค่าพีเอชคงที่ค่านี้ ประสิทธิภาพในการกำจัดสีจะเพิ่มขึ้นเมื่อเวลาในการออกไซเนชันเพิ่มขึ้น และที่เวลาในการออกไซเนชันค่านี้ ประสิทธิภาพในการกำจัดสีจะมีแนวโน้มเพิ่มขึ้น เมื่อเพิ่มค่าพีเอช นอกจานั้นเวลาที่ใช้ในการกำจัดสีให้สมบูรณ์จะลดลงเมื่อเพิ่มค่าพีเอช

ภาพที่ 4-14 เป็นกราฟแสดงความสัมพันธ์ระหว่างค่าพีเอช และเวลาในการออกไซเนชันที่อัตราส่วนวีอาร์ คงที่ที่ 30 เปอร์เซ็นต์ ที่ประสิทธิภาพในการกำจัดความชุ่นต่างๆ ซึ่งจากการจะเห็นว่าที่ค่าพีเอชคงที่ค่านี้ ประสิทธิภาพในการกำจัดความชุ่นจะเพิ่มขึ้นเมื่อเวลาในการออกไซเนชันเพิ่มขึ้น และที่เวลาในการออกไซเนชันค่านี้ ประสิทธิภาพในการกำจัดความชุ่นจะมีแนวโน้มเพิ่มขึ้นเมื่อเพิ่มค่าพีเอช ปัจจัยที่มีผลต่อการถ่ายศักย์ของโอโซนคือ อุณหภูมิ ตัวบัญชั้ง (Scavenger) และค่าพีเอช [20] การเปลี่ยนแปลงค่าพีเอชยังมีผลต่อความสามารถในการออกซิไดซ์กับสารอินทรีย์ของโอโซน โดยทำให้ตัวบัญชั้นในการออกเดชันของโอโซน (Oxidation

Potential) ซึ่งมีค่าลดลงจาก 2.07 โวลต์ ที่สภาวะกรด เป็น 1.4 โวลต์ ที่สภาวะด่าง [46] และเป็นตัวกำหนดเส้นทางทำปฏิกิริยาของโอโซน โดยที่โอโซนสามารถทำปฏิกิริยาได้ทั้งทางตรงและทางอ้อม ซึ่งในสภาวะที่เป็นกรด โอโซนจะเข้าทำปฏิกิริยากับสารอินทรีย์โดยตรง ส่วนในสภาวะที่เป็นด่างจะเกิดการสลายตัวของโอโซน ซึ่งถูกเร่งโดยดัรริเริม (Initiator) เช่น ไฮดรอกซิลเรดิคอล ไฮโดร Peroxide ออกไซด์เรดิคอล ไฮโดรไดโรกออกไซด์เรดิคอล และไฮโดรเตตระออกไซด์เรดิคอล ซึ่งในกลุ่มของออกซิแคนท์ลำดับที่สอง เช่น ไฮดรอกซิลเรดิคอล มีออกซิเดชันสูงที่สุดคือ 2.8 โวลต์ [20] ถึงแม้ว่าบทบาทในการออกซิไดซ์ของโอโซนจะลดลง เมื่อพิเชิงเพิ่มขึ้นแต่บทบาทของออกซิแคนท์ลำดับที่สองมีค่าเพิ่มขึ้น ผลจากภาพที่ 4-13 และภาพที่ 4-14 อธิบายได้ว่า ไฮดรอกไซด์ไฮroxide ออกโซนจะเป็นดัรริเริมให้เกิดการสลายตัวของโอโซน และเกิดกลุ่มของออกซิแคนท์ลำดับที่สองขึ้นตามที่ได้กล่าวไว้ข้างต้น ซึ่งในกลุ่มของออกซิแคนท์ลำดับที่สองจะมีไฮดรอกซิลเรดิคอล ที่มีความสามารถในการออกซิไดซ์สารอินทรีย์ได้ดีกว่าโอโซน จึงทำให้ประสิทธิภาพในการลดลงของสีเพิ่มขึ้นเมื่อเพิ่มค่าพีเอช นอกจากนั้น ไฮดรอกซิลเรดิคอล ทำให้ความสามารถในการออกซิไดซ์สารอินทรีย์ให้อยู่ในรูปที่ไม่ละลายน้ำเพิ่มขึ้น ทำให้เกิดเป็นอนุภาคแขวนลอยมากขึ้น และการดูดซับไฮดรอกไซด์ไฮroxide ที่ผิวของอนุภาคคลออลอยด์ ทำให้เกิดการสร้างตะกอน โดยไฮดรอกไซด์ไฮroxide จะทำให้ความเข้มข้นของสารแขวนลอยสูงขึ้นและเกิดการรวมตัวของตะกอนมากขึ้น โอกาสที่ฟองอากาศมาสัมผัสกับสารแขวนลอยย่อมมีมากขึ้น ด้วยทำให้ประสิทธิภาพในการกำจัดความชุ่นเพิ่มขึ้น [47]

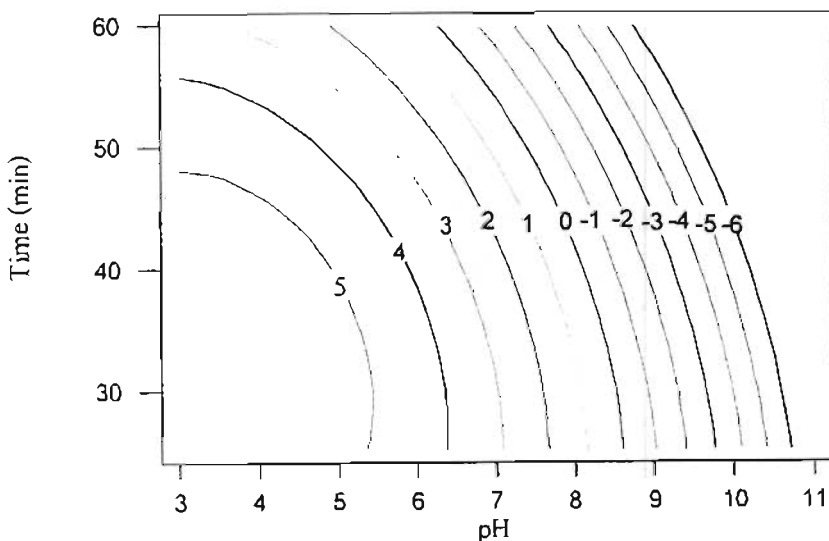


ภาพที่ 4-13 กราฟความสัมพันธ์ระหว่างพีเอชและเวลาในการโอโซนเข็น ที่ภาวะสารอินทรีย์คงที่ที่ 650 มิลลิกรัม/ลิตร ที่ประสิทธิภาพในการกำจัดสีต่างๆ



ภาพที่ 4-14 กราฟความสัมพันธ์ระหว่างพีเอชและเวลาในการโอดิโซเนชัน ที่อัตราส่วนวีอาร์ คงที่ที่ 30 เบอร์เช็นต์ ภาระสารอินทรีย์ เท่ากับ 1,960 มิลลิกรัม/ลิตร ที่ ประสิทธิภาพในการกำจัดความชุ่นต่างๆ

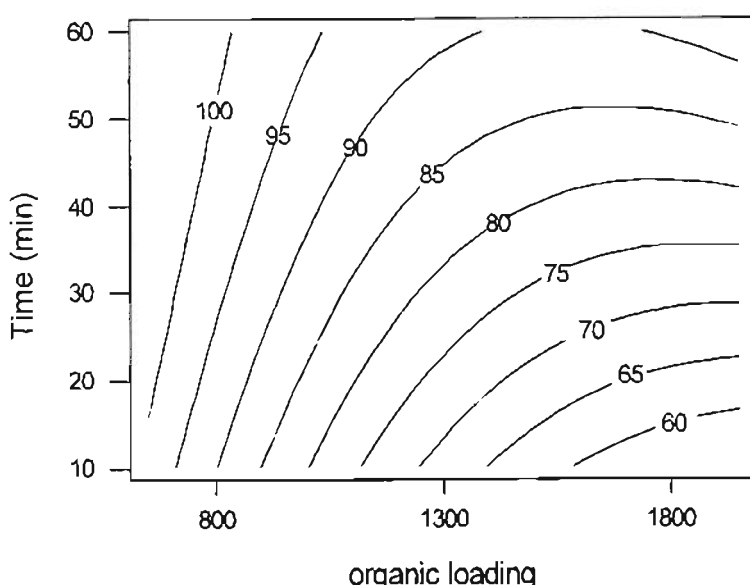
4.6 ผลของพีเอชต่อค่าศักย์ชีต้า



ภาพที่ 4-15 กราฟความสัมพันธ์ระหว่างพีเอชและเวลาในการโอดิโซเนชัน ที่ภาระสารอินทรีย์ เท่ากับ 1,960 มิลลิกรัม/ลิตร ที่ศักย์ชีต้าต่างๆ

จากภาพที่ 4-15 พบว่า ที่เวลาในการโอโซเนชันค่าหนึ่ง ศักย์ด้วยจะมีค่าเป็นวงกลดลง และมีค่าเป็นลบเพิ่มขึ้นเมื่อเพิ่มค่าพีเอช เป็นผลมาจากการดูดซับของไฮดรอกซิลไอออนที่ผิว ของอนุภาคคอลลอยด์ [31] และที่ค่าพีเอชคงที่ค่าหนึ่ง เมื่อเวลาในการโอโซเนชันเพิ่มขึ้น ศักย์ด้วยจะมีค่าเป็นวงกลดลงและมีค่าเป็นลบเพิ่มขึ้นเช่นกัน เนื่องจากปฏิกิริยาระหว่าง ไฮดรอกไซด์ไอออนและโอโซนในขั้นตอนเริ่มต้นของปฏิกิริยาทางอ้อม ทำให้เกิดซูเปอร์ออกไซด์ แอนโนนเรดิคอล ซึ่งเป็นประจุลบ [20] จากนั้นจะถูกดูดซับที่ขั้นของประจุ ถ้าอนุภาคมีศักย์ด้วย เป็นบวก ประจุลบนี้จะเข้าไปสบเทินประจุบวกที่ขั้นของประจุ และเมื่อเวลาในการโอโซเนชัน เพิ่มขึ้นจะทำให้เกิดประจุลบถูกดูดซับที่ขั้นของประจุเพิ่มขึ้น ทำให้ศักย์ด้วยของอนุภาค กลายเป็นลบ แต่ถ้าอนุภาคมีศักย์ด้วยเป็นลบจะทำให้มีประจุลบเพิ่มขึ้นที่ขั้นของประจุเป็นการ เพิ่มเสถียรภาพของระบบคอลลอยด์ [32]

4.7 ผลของการสารอินทรีย์ต่อประสิทธิภาพในการกำจัดสี

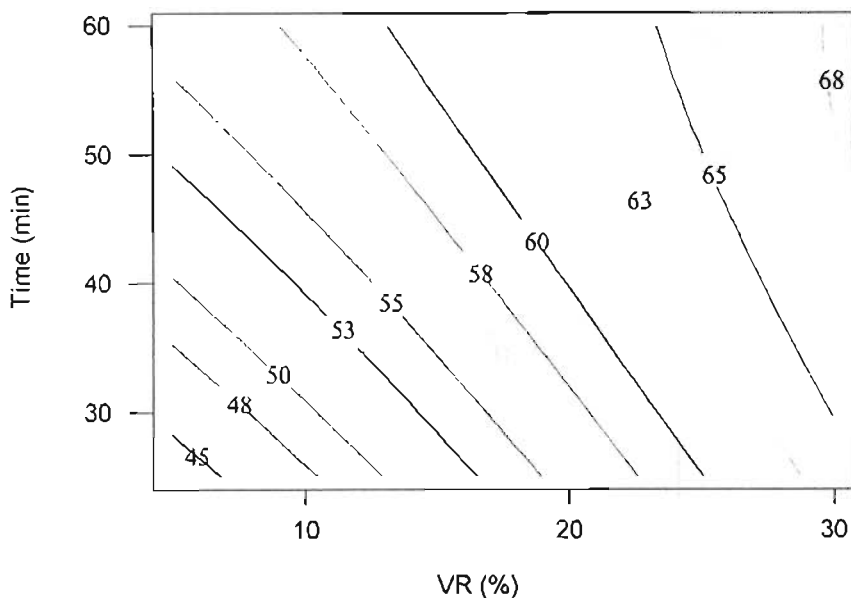


ภาพที่ 4-16 กราฟความสัมพันธ์ระหว่างพีเอชและเวลาในการโอโซเนชัน ที่พีเอชคงที่ ที่ 8.7 ที่ประสิทธิภาพในการกำจัดสีต่างๆ

จากภาพที่ 4-16 พบว่า ประสิทธิภาพในการกำจัดสีเพิ่มขึ้นเมื่อเพิ่มเวลาในการโอโซเนชัน เนื่องจากการนำบัดสีของน้ำเสียสังเคราะห์ด้วยกระบวนการโอโซเนชัน จะเป็นการออกซิไดซ์ สารอินทรีย์ที่ทำให้เกิดสี โดยโอโซนจะเข้าไปออกซิไดซ์โครงเอมฟอร์ซึ่งเป็นส่วนของโมเลกุลของ สารอินทรีย์ที่เชื่อมต่อกันด้วยพันธะคู่ โดยโอโซนจะเข้าไปทำลายพันธะทั้งทางตรงและทางอ้อม

ทำให้ได้โน๊มเลกุลที่มีขนาดเล็กลง ซึ่งไม่ดูดซับแสงที่สามารถมองเห็นได้ เป็นสาเหตุที่ทำให้สีของน้ำเสียลดลง

4.8 ผลของอัตราส่วนวิอาร์ต่อประสิทธิภาพในการกำจัดความชุ่น



ภาพที่ 4-17 กราฟความสัมพันธ์ระหว่างอัตราส่วนวิอาร์และเวลาในการโอโซเนชัน ภาระสารอินทรีย์ เท่ากับ 1,960 มิลลิกรัม/ลิตร พีเอช เท่ากับ 7.3 ที่ประสิทธิภาพในการกำจัดความชุ่นต่างๆ

จากภาพที่ 4-17 พบว่าที่เวลาในการโอโซเนชันคงที่ ประสิทธิภาพในการกำจัดความชุ่นเพิ่มขึ้นเมื่อเพิ่มอัตราส่วนวิอาร์ เพราะเกิดฟองอากาศที่มากขึ้นloyตะกอนนี้ไปสู่ผิวน้ำ

บทที่ 5

สรุปผลการทดลองและข้อเสนอแนะ

5.1 สรุปผลการทดลอง

ในงานวิจัยนี้ได้ทำการทดลองเพื่อหาสภาวะที่เหมาะสมในการกำจัดสีและความชุ่นของน้ำเสียสังเคราะห์ซึ่งเดรียมจากหมึกเฟคโซ่ และหาสภาวะที่เหมาะสมในการทำลายสีโดยรากพืชของอนุภาค colloidal โดยวิธีการออกแบบส่วนประสมกลาง ด้วยกระบวนการไอโซเนชันร่วมกับการลอยตะกอนด้วยหลักการละลายของอากาศ โดยใช้การออกแบบส่วนประสมกลางซึ่งผลจากการวิเคราะห์ทางสถิติสรุปได้ดังนี้

5.1.1 กระบวนการไอโซเนชันสามารถกำจัดสีได้เป็นอย่างดี ซึ่งปัจจัยที่มีผลต่อประสิทธิภาพในการกำจัดสี คือ ภาระสารอินทรีย์ พีเอชและเวลาในการไอโซเนชัน โดยที่ประสิทธิภาพในการกำจัดสีจะเพิ่มขึ้นเมื่อเพิ่มพีเอชและเวลาในการไอโซเนชัน แต่ประสิทธิภาพในการกำจัดสีจะลดลงเมื่อเพิ่มภาระสารอินทรีย์

5.1.2 สภาวะที่เหมาะสมที่ทำให้ได้ประสิทธิภาพในการกำจัดสีเท่ากับ 100 เปอร์เซ็นต์ คือ ภาระสารอินทรีย์ เท่ากับ 650 มิลลิกรัม/ลิตร ค่าพีเอช เท่ากับ 8.7 และเวลาในการไอโซเนชัน เท่ากับ 20 นาที จากนั้นได้ทำการทดลองที่สภาวะที่เหมาะสมที่ได้ (ภาระสารอินทรีย์ เท่ากับ 665 มิลลิกรัม/ลิตร ค่าพีเอช เท่ากับ 8.8 และ เวลาในการไอโซเนชัน เท่ากับ 20 นาที) ผลที่ได้คือ ประสิทธิภาพในการกำจัดสี เท่ากับ 98.5 เปอร์เซ็นต์ ซึ่งผลที่ได้จากการทดลองนี้มีความแตกต่างจากผลการทำนายโดยใช้แบบจำลองเพียง 1.5 เปอร์เซ็นต์

5.1.3 ปัจจัยที่มีผลต่อประสิทธิภาพในการกำจัดความชุ่น คือ อัตราส่วนวีอาร์ พีเอชและเวลาในการไอโซเนชัน โดยที่ประสิทธิภาพในการกำจัดความชุ่นจะเพิ่มขึ้น เมื่อเพิ่มอัตราส่วนวีอาร์ พีเอชและเวลาในการไอโซเนชัน

5.1.4 สภาวะที่เหมาะสมที่ทำให้ได้ประสิทธิภาพในการกำจัดความชุ่นเท่ากับ 68 เปอร์เซ็นต์ คือ อัตราส่วนวีอาร์ เท่ากับ 30 เปอร์เซ็นต์ ค่าพีเอช เท่ากับ 7.3 และเวลาในการไอโซเนชัน เท่ากับ 60 นาที จากนั้นได้ทำการทดลองที่สภาวะเหมาะสมที่ได้ ผลที่ได้คือ ประสิทธิภาพในการกำจัดความชุ่น เท่ากับ 67.56 เปอร์เซ็นต์ ซึ่งผลที่ได้นี้มีความแตกต่างจากผลการทำนายโดยใช้แบบจำลองเพียง 0.64 เปอร์เซ็นต์ สรุปจากการทดลองได้ว่า การใช้ไอโซนร่วมกับการลอยตะกอนไม่สามารถกำจัดความชุ่นได้ดีเพียงพอ

5.1.5 ปัจจัยที่มีผลต่อค่าศักย์ชีต้า คือ ค่าพีเอชและเวลาในการไอโซเนชัน โดยเมื่อเพิ่มค่าพีเอชและเวลาในการไอโซเนชัน จะทำให้ค่าศักย์ชีต้ามีแนวโน้มเป็นบวกน้อยลงและมีความเป็นลบมากขึ้น

5.1.6 สมภาวะที่เหมาะสมในการทำลายเสถียรภาพของกolloidal ไอโซอิเลคทริก คือ ค่าพีเอช เท่ากับ 6.8 และเวลาในการไอโซเนชัน เท่ากับ 56 นาที จากนั้นได้ทำการทดลองที่สมภาวะเหมาะสมที่ได้ ผลของศักย์ชีด้าที่ได้เท่ากับ -0.2 มิลลิโวลต์ เพื่อให้ได้จุด

5.1.7 ในงานวิจัยนี้ได้เลือกสมภาวะที่เหมาะสมในการกำจัดความชุ่น เพื่อใช้ในการบำบัดน้ำเสียขั้นต้นของโรงงาน คือ ที่อัตราส่วนวีอาร์ เท่ากับ 30 เปอร์เซ็นต์ ค่าพีเอช เท่ากับ 7.3 และเวลาในการไอโซเนชัน 60 นาที สามารถการทดสอบที่สมภาวะนี้จะได้ ประสิทธิภาพในการกำจัดสี เท่ากับ 100 เปอร์เซ็นต์ ศักย์ชีด้า เท่ากับ -2.08 มิลลิโวลต์ และประสิทธิภาพในการกำจัดความชุ่น เท่ากับ 68 เปอร์เซ็นต์

5.2 ข้อเสนอแนะ

จากการทดลองพบว่าการใช้ไอโซน ร่วมกับการลอยตะกอนไม่สามารถกำจัดความชุ่นได้เพียงพอ ดังนั้นควรมีการศึกษาเพิ่มเติมเพื่อเพิ่มประสิทธิภาพในการกำจัดความชุ่นให้ดียิ่งขึ้น ดังต่อไปนี้

5.2.1 ศึกษาการเพิ่มความเข้มข้นของไอโซนในการบำบัดที่มีต่อประสิทธิภาพในการกำจัดความชุ่น จากการศึกษาของ สารกมล [48] พบว่า เมื่อบริมาณของไอโซนเพิ่มขึ้น ตะกอนแขวนลอยหลังจากอัดไอโซนและปล่อยให้ตกลง (Suspended Solid) มีค่าลดลง เนื่องจากไอโซนทำการเปลี่ยนประจุที่ผิวของอนุภาคให้เป็นกลาง ทำให้เกิดการจับตัวของอนุภาคกolloidal เป็นตะกอนที่มากขึ้นและมีขนาดใหญ่ขึ้นแตกต่างกันลงมา และจากการศึกษาของ Fukushi และคณะ [47] พบว่าตะกอนขนาดใหญ่จะทำให้ฟองอากาศมีโอกาสสัมผัสได้มากกว่าเป็นการเพิ่มประสิทธิภาพในการกำจัดความชุ่น

5.2.2 ศึกษาขนาดของฟองอากาศที่มีต่อประสิทธิภาพ ในการกำจัดความชุ่นจากการศึกษาของ Shamrani, et al. [43] พบว่า ฟองอากาศขนาดเล็กจะมีความเร็วในการลอยตัวขึ้นสูง ผิวน้ำได้มากกว่าฟองอากาศขนาดใหญ่ ทำให้ฟองอากาศขนาดเล็กอยู่ในถังลอยตะกอนนานกว่า เป็นการเพิ่มโอกาสในการสัมผัสระหว่างฟองอากาศและตะกอนแขวนลอย ซึ่งเป็นการเพิ่มประสิทธิภาพในการกำจัดความชุ่น

5.2.3 ศึกษาการบำบัดน้ำเสียโดยกระบวนการไอโซเนชัน ร่วมกับการลอยตะกอนด้วยหลักการละลายของอากาศ โดยปรับค่ากาง LANG ของสารอินทรีย์เป็น 1,490 มิลลิกรัม/ลิตร ((ค่าซีไอดีสูงสุด + ค่าซีไอดีต่ำสุด/2) ข้อมูลตามตารางที่ ข-1 เพื่อใช้ในการออกแบบการทดลอง ทำให้ได้ข้อมูลของสารอินทรีย์ เท่ากับ 745-2,235 มิลลิกรัม/ลิตร ซึ่งเป็นการขยายขอบเขตของสารอินทรีย์ เพื่อรับรับสารอินทรีย์ของน้ำเสียจากโรงงานที่สูงขึ้นจากน้ำเสียที่เก็บมาไว้เคราะห์เพื่อใช้ในงานวิจัย ซึ่งมีค่าซีไอดีสูงสุด เท่ากับ 1,950 มิลลิกรัม/ลิตร

เอกสารอ้างอิง

1. Lin, S. H. and K. L. Yeh. "Looking to treat wastewater. Try ozone." Chemical Engineer. 6 (1993) : 112-116.
2. สุรพล รักปทุม. โอโซนเพื่อชีวิตและสิ่งแวดล้อม. พิมพ์ครั้งที่ 1. กรุงเทพมหานคร : โรงพิมพ์ภาพพิมพ์, 2543.
3. Liakou, S., M. Kornaros and G. Lyberatos. "Ozonation of azo dyes." Water Science Technology. 35 (1997) : 279-286.
4. เปี้ยมศักดิ์ เมนะเศาด. แหล่งนำ้ากับปัญหาหมลพิษ. พิมพ์ครั้งที่ 5. กรุงเทพมหานคร: โรงพิมพ์จุฬาลงกรณ์มหาวิทยาลัย, 2536.
5. Cooper, P. "Removing Color from Dyehouse Wastewater." Journal of Society of Dyer & Colourists. 109 (1993) : 1-3.
6. Chang, D. S. and P. C. Singer. "The Impact of Ozonation on Particle Stability and the Removal of TOC and THM Precursors." J.AWWA. 83(3), (1991) : 71-78.
7. บำรเมศ ชูดิมา. การออกแบบการทดลองทางวิศวกรรม. พิมพ์ครั้งที่ 1. กรุงเทพมหานคร : บริษัท ต้านสุขภาพการพิมพ์ จำกัด, 2545.
8. "Kerma." Encyclopedia of Chemical Technology. 3 (1999) : 821-875.
9. เกเรย์ศักดิ์ อุดมสินโรณ. การบำบัดน้ำเสีย. พิมพ์ครั้งที่ 2. กรุงเทพมหานคร: สำนักพิมพ์สยามสเดชั่นเนอร์ชัฟพลาย, 2542.
10. Manley, T. C. and S. J. Niegowski. "Ozone." Encyclopedia of Chemical Technology. 14 (1967) : 410-432.
11. สุรพล รักปทุม. โอโซนเพื่อชีวิตและสิ่งแวดล้อม. พิมพ์ครั้งที่ 1. กรุงเทพมหานคร: โรงพิมพ์ภาพพิมพ์, 2543.
12. มั่นสิน ตันตระเวศร์. วิศวกรรมการประปา เล่ม 2. กรุงเทพมหานคร : จุฬาลงกรณ์มหาวิทยาลัย, 2539
13. Sawyer, C. N. and P. L. McCarthy. Chemistry for Sanitary Engineering. New York : McGraw-Hill Book Co., 1978.
14. Venosa, A. D. "Effectiveness of ozone as a municipal wastewater disinfectant." Annual Water Pollution Control Federation Conference. Atlanta, (1983) : 32-35.
15. Available online at http://www.ozoneapplication.com/info/ozone_properties.htm.
16. Available online at www.kratongplanning.com

17. Available online at www.eng.cmu.ac.th
18. Cheremisinoff, N. P. and P. N cheremisinoff. Water treatment and Waste Recovery Advanced Technology and Applications. New Jersey: Prentice Hall Inc., 1993.
19. Majumdar, S. B. and O. J. Sproul. "Technical and Economic Aspects of Water and Wastewater Ozonation." Water Research. 9 (1974) : 253-260.
20. Gottschalk, C., A. Libra and A. Saupe. Ozonation of Water and Waste Water. Germany: Wiley-VCH Verlag GmbH., 2000.
21. Staehelin, J. and J. Hoigne. "Decomposition of Ozone in Water: Rate of Initiation by Hydroxide Ion and Hydrogen peroxide." Environmental Science and Technology. 16 (1982) : 676-681.
22. Hoigne, J. and H. Bader. "Determination of Ozone in Water by the Indigo Methode." Water Research. 15 (1981) : 449-456.
23. สุเมธ ชวาเดช. การพัฒนากระบวนการออกแบบอุปกรณ์สำหรับการบำบัดน้ำเสีย. วิทยานิพนธ์วิศวกรรมศาสตรมหาบัณฑิต วิทยาลัยปิโตรเคมีและปิโตรเคมี จุฬาลงกรณ์มหาวิทยาลัย, 2541.
24. Douglas, C. M. Design and analysis of experiment. 6th ed. U.S.A.: John Wiley & Sons Inc., 2005.
25. Myers, R. H. Response Surface Methodology Process and Product Optimization Using Designed Experiments. New York: John Wiley & Sons Inc., 1995.
26. เกรียงศักดิ์ อุดมสินโรจน์. วิศวกรรมการกำจัดน้ำเสีย เล่ม 2. พิมพ์ครั้งที่ 3. กรุงเทพมหานคร : สำนักพิมพ์มิตรราการพิมพ์, 2539.
27. Montgomery, J. M. Water Treatment Principles and Design. New York: John Wiley & Sons Inc., 1985.
28. อนุรักษ์ ปิติรักษ์สกุล. "การถอยด้วยแบบการละลายอากาศ." วารสารวิชาการพระจอมเกล้าพระนครเหนือ. 6 (2538) : 39-45.
29. Vrablik, E.R. "Fundamental Principle of DAF of Industrial Waste." Proc. 14th Ind. Waste Conference, Eng. Bull Purdue University, Ext Ser No. 104 (1959) : 743-779.
30. Islam, A. M., B. Z. Chowdhry and M. J. Snowden. "Heteroaggregation in colloidal Dispersions." Advanced Colloid Interface Science. 62 (1995) : 109-136.
31. Milton, J. R. Surfactants and Interfacial Phenomena. 2nd ed. U.S.A.: John Wiley & Sons Inc., 1988.
32. Mike, K. "Zetapotential." Zetapotential Training Course. Malvern, (2001)

33. Konsowa, A. H. "Decolorization of wastewater containing direct dye by ozonation in a batch bubble column reactor." Desalination. 158 (2003) : 233-240.
34. Antonio, M., E. Santiago and S. Gabriele. "How and Why Combine Chemical and Biological Processes for Wastewater Treatment." Water Science Technology. 35 (1997) : 321- 327.
35. Alfafara, C.G., V.P. Migo, J.A. Amarante, R.F. Dallo and M. Matsumura. "Ozone Treatment of Distillery Stop Waste." IAWQ Asia-Pacific Regional Conference, Taipei. 7th (1999) : 565-570.
36. Chalor Jarusuttthirak. Treatment of Textile Dyeing Wastewater by Ozone and Polyaluminium Chloride (PAC). AIT Thesis no.EV.95-7, Asian Institute of Technology, 1995.
37. Tzitzi, M., D.V. Vayenas and G. Lyberatos. "Pretreatment of textile industry wastewater with ozone." Water Science Technology. 29 (1994) :151-160.
38. Sheng H. Lin and Wen Y. Liu. "Treatment of textile wastewater by ozonation in packed-bed reactor." Environmental Technology. 15 (1994) : 299-311.
39. Beszedits, S. "Ozonation to decolor textile effluents." American Dyestuff Reporter. (August 1980) : 37-40.
40. Malik, P.K. and S.K. Saha. "Oxidation of direct dyes with hydrogen peroxide using ferrous ion as catalyst." Separation and Purification Technology. 31 (2003) : 241-250.
41. Liakou, S., S. Pavlou and G. Lyberatos. "Ozonation of azo dyes." Wat. Sci. Tech. 35(4), (1997) : 279-286.
42. Ensar, O., K. Bulent and C. Zeynep. "Ozonation of aqueous Bomaplex Red CR-L dye in a semi-batch reactor." Dyes and Pigment. 64 (2005) : 101-108.
43. Available online at <http://www.rpi.edu/dept/chem-eng/Biotech-Environ/EQUILIBRIUM/iron.htm>
44. Available online at <http://pcdv1.pcd.go.th/Information/Regulations/WaterQuality/EffluentsThai.htm>
45. Shamrani, A. A., A. James and H. Xiao. "Destabilisation of oil-water emulsions and separation by dissolved air flotation." Water Research. 36 (2002) : 1503-1512.
46. Hoigne, J. and H. Bader. "A role of hydroxyl radical reactions in ozonation processes in aqueous solution." Water Research. 10 (1976) : 376-386.

47. Fukushi, K., Y. Matsui and N. Tambo. "Dissolved air flotation : experiments and kinetic analysis." Journal of Water Supply : Research Technology-Aqua. 47 (1998) : 76-86.
48. ชารกนล ภารพานิช. ผลของไอโอนที่มีต่อการปรับปรุงคุณภาพน้ำทึ้งจากโรงงานกระดาษ." วิทยานิพนธ์วิศวกรรมศาสตรมหาบัณฑิต มหาวิทยาลัยเกษตรศาสตร์

ภาคผนวก ก

การหาค่าพารามิเตอร์ต่างๆ

1. การหาปริมาณตะกอนแขวนลอย (Suspended Solids)

เครื่องมือและอุปกรณ์

1. กระดาษกรองไยแก้ว GF/C เส้นผ่าศูนย์กลาง 7 เซนติเมตร
2. กระดาษกรองไยแก้ว GF/C เส้นผ่าศูนย์กลาง 1.2 เซนติเมตร
3. เครื่องดูดอากาศ
4. ตู้อบความร้อน
5. โถทำแห้ง
6. เครื่องชั่ง

วิธีการวิเคราะห์

1. อบกระดาษกรองให้แห้งที่อุณหภูมิ 103-105 องศาเซลเซียส นาน 1 ชั่วโมง ทิ้งให้เย็น ในโถทำแห้งแล้วซับหน้าหนังกระดาษกรอง สมมุติว่าเป็น A มิลลิกรัม

2. วางกระดาษกรองลงบนกระดาษกรองที่ต่อเข้ากับเครื่องดูดอากาศ
3. ใช้น้ำกลันฉีดกระดาษกรองให้เปียกและให้ถูกดูดดีดแน่นกับกระดาษกรอง
4. กรองด้วยน้ำตามปริมาตรที่ต้องการโดยอาศัยแรงดูดซ้าย
5. ใช้น้ำกลันฉีดล้างข่องแข็งที่ติดอยู่ข้างกระดาษกรองหมดและรอจนกว่าจะแห้ง
6. ปิดเครื่องดูดอากาศ ใช้ปากคีบคีบกระดาษกรองใส่ภาชนะที่ไฟ
7. นำไปอบในตู้อบแห้งที่อุณหภูมิ 103-105 องศาเซลเซียส จนกว่าจะแห้งให้เวลา 1 ชั่วโมง

8. ทิ้งให้เย็นเท่าอุณหภูมิห้องในโถทำแห้ง แล้วซับหน้าหนังกระดาษกรองใหม่ สมมุติว่าเป็น B มิลลิกรัม

การคำนวณ

$$\text{ปริมาณตะกอนแขวนลอย (มิลลิกรัม/ลิตร)} = \frac{\text{น้ำหนักที่เพิ่มขึ้น (B-A) } \times 1000}{\text{มิลลิลิตรของตัวอย่างที่ใช้}} \quad (n-1)$$

2. การหาค่าความขุ่น (Turbidity)

โดยใช้เครื่องวัดความขุ่น ของบริษัท เจนเวย์ (JENWAY) รุ่น 6035 โดยใช้สารละลายน้ำตาล 20 เอ็นทีบี

วิธีการวิเคราะห์

1. เปิดเครื่องโดยกดปุ่ม I/O หน้าจอจะขึ้น _____ ให้เลือกหน่วยโดยกดปุ่ม RANGE
2. วอร์มเครื่องประมาณ 15 นาที เชคคุณย์โดยใช้เซลล์ใส่น้ำกลัน ใส่ลงในช่องว่างสำหรับใส่เซลล์
3. กดปุ่ม ZERO รอประมาณ 3 วินาที เพื่อเชคคุณย์ แล้วจึงนำเซลล์ออก

4. ใส่เซลล์ที่บรรจุสารละลายน้ำมาระดูที่ 20 เอ็นทีบี ลงไปสู่หัวรับใส่เซลล์ กดปุ่ม CAL (ในกรณีที่เครื่องอ่านแล้วถ้าไม่ตรงกับ 20 เอ็นทีบี ให้ใช้ปุ่ม) ในการปรับค่าให้อ่านได้ 20 เอ็นทีบี แล้วกดปุ่ม CAL อีกครั้ง

5. นำเซลล์สารละลายน้ำมาระดูที่ต้องการจะวัดลงไป กดปุ่ม READ เพื่อวัดความชุน หน่วยเป็น เอ็นทีบี

6. ระวังอย่าให้มีฟองอากาศในสารตัวอย่าง และเช็ดเซลล์ให้สะอาดอย่าให้มีรอยนิ้วมือ ก่อนจะใส่เซลล์ลงในช่องใส่เซลล์

7. การทำความสะอาดเซลล์ให้ล้างด้วยน้ำกลั่นหลายๆ ครั้งและห้ามใช้แอลกอฮอล์เพาะ จะทำให้เซลล์เกิดรอยขีดข่วน ในการที่จะทำการวัดสารตัวอย่างให้ล้างเซลล์ด้วยสารตัวอย่าง 1 หรือ 2 ครั้ง ก่อนที่จะวัดความชุน

3. การหาค่าความเป็นกรดด่าง (pH)

โดยใช้เครื่องวัดค่าพีเอช รุ่น 1120 ของบริษัท เมทเลอร์ โทledo (METTLER TOLEDO) วิธีการวิเคราะห์

1. นำน้ำตัวอย่าง 50 มิลลิลิตร ใส่ในบิกเกอร์ขนาด 50 มิลลิลิตร
2. ฉีดล้างแห่งวัดค่าพีเอชด้วยน้ำกลั่น
3. นำแห่งวัดค่าพีเอชซึ่งลงในบิกเกอร์ แล้ววัดค่าที่ได้จากเครื่อง

4. การหาค่าสี

โดยใช้เครื่องสเปกโตรโฟโตมิเตอร์ (Spectrophotometer) ของ บริษัท ยูนิแคม (UNICAM) รุ่น UV 500 จากนั้นนำค่าการดูดกลืนแสง (Absorbance) ที่ได้มาเปรียบเทียบกับ ภาพที่ ก-1 เพื่อหาค่าสี

วิธีการวิเคราะห์

1. เปิดเครื่องสเปกโตรโฟโตมิเตอร์ ขึ้นกว่า HOME ให้กดปุ่ม Remote ที่อยู่บนเครื่อง และกดปุ่ม F1 ที่คีบอร์ดของเครื่องคอมพิวเตอร์ เพื่อทำการเชื่อมต่อระหว่างเครื่องสเปกโตรโฟโตมิเตอร์ กับคอมพิวเตอร์

2. เข้าโปรแกรมโดยคลิกที่ไอคอน UV 500

3. ทำการเปิดหลอดกำเนิดแสงที่หน้าต่าง Status จากนั้นคลิกที่ปุ่ม D₂ จะขึ้นหน้าต่าง Lamps คลิกที่ปุ่ม Switch Lamp On รอประมาณ 3 นาที ปุ่ม D₂ จะเปลี่ยนจากสีเทาเป็นสีฟ้า คลิกปุ่ม OK

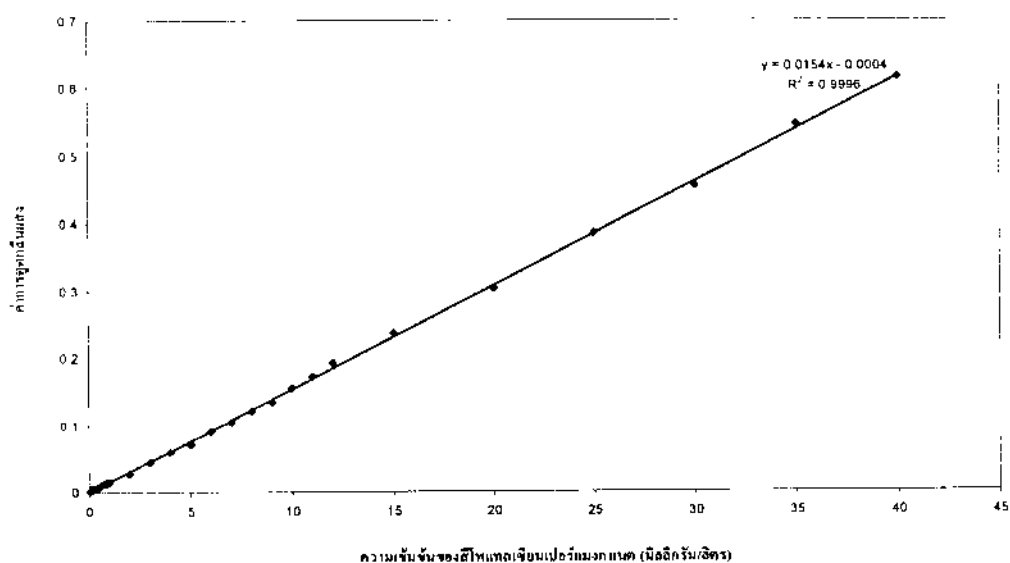
4. ปรับความยาวคลื่นที่ต้องการใช้ที่หน้าต่าง Fixed Method โดยคลิกที่ช่อง Wavelengths และใส่ค่าที่ต้องการ ซึ่งในการทดลองจะใช้ความยาวคลื่นเท่ากับ 526 นาโนเมตร เนื่องจาก ภาพที่ ก-2 แสดงให้เห็นว่า สารโพแทสเซียมเปอร์เมงกานेटจะดูดกลืนแสงได้สูงสุด ที่ความยาวคลื่น 526 นาโนเมตร

5. ตั้งค่าการวัดซ้ำที่ช่อง Cycles

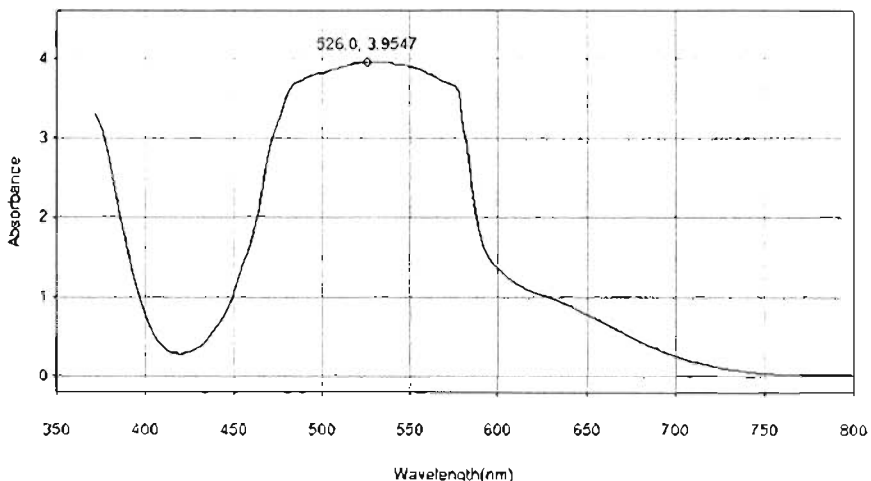
6. ก่อนการวัดจะต้องทำการวัดแบงค์ทุกครั้ง การวัดแบงค์ทำโดยนำหัวกลิ้นใส่ลงในเซลล์บูร์กัน 2 เซลล์ และนำไปใส่ในเครื่องสเปคโทรโฟโตมิเตอร์ โดยให้ด้านไสอยู่ด้านหน้าแล้วทำการดึงค่าศูนย์ โดยคลิกปุ่ม Command → Zero → Proceed

7. หลังจากดึงค่าศูนย์แล้วนำเซลล์บูร์กัน Sample ออกรมาล้างแล้วใส่สารที่ต้องการจะวัดจากนั้นให้กดปุ่ม Run เพื่อทำการวัดค่า แล้วเครื่องจะขึ้นหน้าจอให้เปลี่ยนชื่อ ให้คลิกตรงคำว่า Sample และใส่ชื่อที่ต้องการ

8. อ่านค่าที่วัดได้ และทำการเปลี่ยนตัวอย่างใหม่ โดยที่ก่อนการวัดสารตัวใหม่ต้องล้างเซลล์บูร์กันด้วยหัวกลิ้นทุกครั้ง



ภาพที่ ก-1 กราฟมาตรฐานระหว่างความเข้มข้นของสีพิมพ์แทกตีเซียมเปอร์เมงกานาตและค่าการดูดกลืนแสง



ภาพที่ ก-2 กราฟแสดงค่าการดูดกลืนแสงของสารโพแทสเซียมเบอร์แมงกานेट

5. การหาค่าศักย์ชีด้า (Zetapotential)

โดยใช้เครื่องวัดศักย์ชีด้า (Zetapotential Analyzer) ของบริษัท มาลเวิร์น (Malvern) รุ่น 3000 HAS

วิธีการวิเคราะห์

1. เปิดเครื่องวัดศักย์ชีด้าและเครื่องคอมพิวเตอร์
2. เข้าโปรแกรมโดยคลิกที่ไอคอน Zetasizer 3000HS-Standard และกดปุ่ม Zeta ที่เป็นไอคอนที่อยู่บนเมนูบาร์ รอประมาณ 15 นาที
3. เข้า Measure → Document จาก Menu List ทำการตั้งชื่อสารที่ช่อง Sample Detail คลิก OK รอประมาณ 30 วินาที เพื่อให้เครื่องทำอุณหภูมิตามที่ตั้งไว้ คือ 25 องศาเซลเซียส
4. ทำการฉีดสารเข้าไปประมาณ 3 มิลลิลิตร และกดปุ่ม GO ในการวัดเครื่องจะทำการวัดซ้ำให้ 3 ครั้ง

6. การหาค่าซีโอดี

โดยใช้เครื่องปฏิกรณ์ซีโอดี (COD Reactor) ของ บริษัทแฮช (HACH) รุ่น 45600 และเครื่องสเปกโทรโฟโตมิเตอร์ (Spectrophotometer) ของ บริษัท แฮช (HACH) รุ่น DR/2010

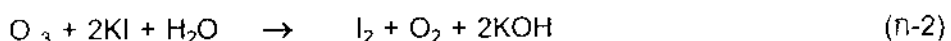
วิธีการวิเคราะห์

1. นำน้ำด้วยยาง 2 มิลลิลิตร ใส่ในหลอดรีเอเจนท์ (Reagent) ของบริษัทแฮช (HACH)
2. ทำแบงค์ โดยนำน้ำกลิ้น 2 มิลลิลิตร ใส่ในหลอดรีเอเจนท์
3. นำหลอดรีเอเจนท์ไปปั๊มในเครื่องปฏิกรณ์ซีโอดี ที่อุณหภูมิ 150 องศาเซลเซียส เป็นเวลา 2 ชั่วโมง

4. ทิ้งให้เย็นที่อุณหภูมิห้อง แล้วนำหลอดรีเอเจนท์ไปวัดค่าซีโอดี โดยใช้เครื่องเครื่องสเปคโทรโฟโตเมตร์ ใช้โปรแกรม 435 ที่ความยาวคลื่น 620 นาโนเมตร

7. การหาปริมาณไอโซน

หาปริมาณของไอโซนที่ผลิตได้จากเครื่องเครื่องผลิตไอโซนโดยวิธีไอโอดเมติก (Iodometric Method) เป็นการวัดปริมาณไอโซนในรูปสารละลาย (Solution Phase) อาศัยหลักการทำปฏิกิริยาที่รวดเร็วระหว่างไอโซนและไอโอดีด ดังสมการที่ ก-2



จากสมการที่ ก-2 สามารถวัดปริมาณไอโซนได้โดยทำการติดเทปกันไอโอดีนที่เกิดจากปฏิกิริยาระหว่างไอโซนกับโพแทสเซียมไออกไซเดท์ ด้วยโซเดียมไฮโอดีซัลเฟต และใช้น้ำแข็งเป็นอินดิเคเตอร์

วิธีการวิเคราะห์

1. ต่อเครื่องผลิตไอโซนเข้ากับขวดรูปชัมพู่ในที่ 1 และ 2 ตามภาพที่ ก-3 ซึ่งแต่ละใบบรรจุสารละลายโพแทสเซียมไออกไซเดท์ 2 เปอร์เซ็นต์ อุญ 400 มิลลิลิตร หลังจากนั้นทำการเปิดเครื่องผลิตไอโซนเป็นเวลา 60 นาที

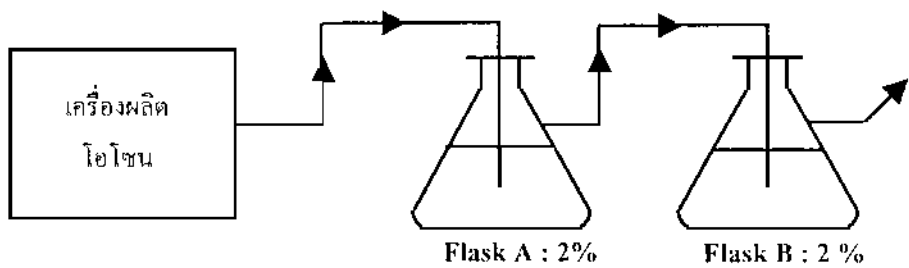
2. เมื่อครบตามเวลาการทำงานของเครื่องผลิตไอโซนแล้ว นำสารละลายโพแทสเซียมไออกไซเดท์จากขวดรูปชัมพู่ในที่ 1 และ 2 มาติดเทปกับสารละลายโซเดียมไฮโอดีซัลเฟตจนกระหงได้สารละลายสีเหลืองอ่อน แล้วเดินน้ำแข็งลงไป 4 มิลลิลิตร ได้สารละลายสีน้ำเงิน แล้วนำไปติดเทปกับสารละลายโซเดียมไฮโอดีซัลเฟต จนกระหงสีน้ำเงินหายไป บันทึกปริมาณของสารละลายโซเดียมไฮโอดีซัลเฟตที่ใช้ไปในขวดรูปชัมพู่ในที่ 1 และ 2

3. คำนวณอัตราการผลิตไอโซนจากเครื่องผลิตไอโซน ตามสมการ ก-3

$$\text{POR} = (V_{\text{titrant 1}} \times N_1 + V_{\text{titrant 2}} \times N_2) \times 24 \quad (\text{ก-3})$$

โดยที่ POR คือ อัตราของไอโซนที่ผลิตได้จากเครื่องผลิตไอโซน (มิลลิกรัม/ชั่วโมง)

$V_{\text{titrant 1}}$ และ $V_{\text{titrant 2}}$ คือ ปริมาตรของโซเดียมไฮโอดีซัลเฟต เข้มข้น 0.1 นอร์มัล ในขวดรูปชัมพู่ (flash) ในที่ 1 และ 2 ตามลำดับ



ภาพที่ ก-3 การทดลองหาปริมาณออกซิเจนที่ผลิตได้จากการเครื่องมือทดสอบ

ภาคผนวก ข

ผลการทดสอบ

ตารางที่ ข-1 ผลการวิเคราะห์คุณภาพน้ำเสีย

วันที่ เก็บตัวอย่าง	ซีโตตี (mg/l)	ตะกอนแขวนลอย (mg/l)	ความชื้น (N.T.U.)	พารามิเตอร์			
				ก้อน	หลัง	ผิวน้ำ	ต่ำสี (mg/l) ต่ำค่า (mV)
10/11/04	16800	1420	930	106	686	38.3	5.66 4.7 20.18 5.1
17/11/04	15850	1110	780	122	593	39.2	6.64 3.22 13.22 5
24/11/04	17650	1965	1140	171	624	53.7	6.93 4.8 25.35 6.3
2/12/04	15550	1015	730	95	575	36.8	7.75 5.36 12.76 4.1
8/12/04	16400	1290	870	127	653	42.3	6.62 4.3 16.31 5.8
15/12/04	15950	1040	690	108	564	37.6	5.78 3.82 11.89 3.1
เฉลี่ย	16367	1306	860	121.5	633	41.32	6.56 4.36 16.61 4.7

ตารางที่ ข-2 ประสิทธิภาพในการกำจัดสีที่เวลาในการโอมิโซเนชันต่างๆ ที่ซีไอดี เท่ากับ 1,940 มิลลิกรัม/ลิตร และพีเอช เท่ากับ 4.3

เวลาโอมิโซเนชัน (นาที)	ก่อนโอมิโซเนชัน		หลังโอมิโซเนชัน		ประสิทธิภาพ การกำจัดสี (%)
	ค่าการดูดกลืนแสง	ค่าสี (mg/l)	ค่าการดูดกลืนแสง	ค่าสี (mg/l)	
10	0.4868	31.6364	0.1710	11.1328	64.81
15	0.4866	31.6234	0.1539	10.0183	68.32
20	0.4859	31.5779	0.1350	8.7913	72.16
25	0.4871	31.6558	0.1259	8.1989	74.1
30	0.4868	31.6364	0.1005	6.5519	79.29
35	0.4891	31.7857	0.0838	5.4703	82.79
40	0.4882	31.7273	0.0660	4.3149	86.4
45	0.4882	31.7273	0.0534	3.4963	88.98
50	0.4880	31.7143	0.0357	2.3469	92.6
55	0.4877	31.6948	0.0205	1.3565	95.72
60	0.4876	31.6883	0.0070	0.4817	98.48
65	0.4796	31.1688	0.0085	0.5766	98.15
70	0.4861	31.5909	0.0074	0.5055	98.4

ตารางที่ ข-3 ผลของประสีทึกรากพาราเจดส์ต่อสารเคมี

ลำดับที่	ภาระสารอินทรีร์ (mg/l)	พิษกร (นาที)	เวลา (นาที)	ก่อนโออกแน่น		หลังโออกแน่น		ปรับเปลี่ยนทางการ กำจัด (%)
				ค่าเสี่ยง (mg/l)	ค่าการดูดซึมน้ำเสีย	ค่าเสี่ยง (mg/l)	ค่าเสี่ยง (%)	
1	1300	7	35	0.3852	25.0390	0.0836	5.4545	78.22
2	1300	3	35	0.3780	24.5714	0.1087	7.0844	71.18
3	915	9	20	0.2246	14.6104	0.0229	1.5130	89.63
4	1300	7	60	0.3365	21.8766	0.0294	1.9351	91.14
5	1300	7	35	0.3852	25.0390	0.0864	5.6364	77.48
6	1300	7	35	0.3852	25.0390	0.0840	5.4805	78.1
7	915	5	50	0.2239	14.5649	0.0323	2.1234	85.42
8	1950	7	35	0.4771	31.0065	0.1391	9.0584	70.79
9	1700	5	20	0.4125	26.8117	0.1304	8.4935	68.32
10	1300	7	35	0.3852	25.0390	0.0849	5.5390	77.89
11	1700	9	20	0.4234	27.5195	0.1261	8.2143	70.16
12	1300	11	35	0.3687	23.9675	0.0553	3.6169	84.90
13	1300	7	35	0.3852	25.0390	0.0819	5.3442	78.66
14	1700	9	50	0.4234	27.5195	0.0712	4.6494	83.11
15	1300	7	35	0.3852	25.0390	0.0845	5.5130	77.98
16	1300	7	10	0.3852	25.0390	0.1616	10.5195	57.98
17	915	5	20	0.2239	14.5649	0.0396	2.5974	82.15
18	650	7	35	0.1498	9.7532	0.0024	0.1818	98.15
19	915	9	50	0.2246	14.6104	0.0101	0.6818	95.32
20	1700	5	50	0.4125	26.8117	0.0583	3.8117	85.78

**ตารางที่ ข-4 ประสิทธิภาพในการกำจัดสีและความชุ่นที่เวลาในการไอโซเนชันด่างๆ
ที่ซีโอดี เท่ากับ 1,960 มิลลิกรัม/ลิตร ความชุ่นเริ่มต้น เท่ากับ 22 N.T.U.
พีเอช เท่ากับ 4.2 ทดลองที่อัตราส่วนวิอาาร์ เท่ากับ 25%**

เวลาไอโซเนชัน (นาที)	ประสิทธิภาพ กำจัดสี (%)	ความชุ่นหลัง ไอโซเนชัน (N.T.U.)	ความชุ่นหลัง ถอยตะกอน (N.T.U.)	ประสิทธิภาพกำจัดความชุ่น หลังถอยตะกอน (%)
0	0	22	31.10	-41.36
5	58.14	23.20	26.80	-15.52
10	64.91	23.60	26.00	-10.17
15	67.63	25.30	27.20	-7.51
20	72.31	26.00	26.60	-2.31
25	78.62	26.40	19.80	25.00
30	80.11	27.00	15.00	44.44
35	82.87	27.00	14.80	45.19
40	87.25	27.80	14.00	49.64
45	89.47	28.50	12.70	55.44
50	93.72	30.60	12.40	59.48
55	97.80	29.70	12.10	59.26
60	99.12	30.00	11.90	60.33
65	99.10	30.00	11.80	60.67
70	98.85	29.80	11.90	60.07

ตารางที่ ข-5 ประสิทธิภาพในการกำจัดความชุ่นที่อัตราส่วนวีอาร์ต่างๆ ที่ซีโอดี เท่ากับ 1,960 มิลลิกรัม/ลิตร ความชุ่นเริ่มต้น เท่ากับ 22 N.T.U. พีเอช เท่ากับ 4.2 เวลาในการไอโซเนชัน เท่ากับ 60 นาที

อัตราส่วนVR (%)	ความชุ่นหลัง (N.T.U.)	ความชุ่นหลัง ลอยตะกอน (N.T.U.)	ประสิทธิภาพกำจัดความชุ่น หลังลอยตะกอน (%)
5	29.80	14.80	50.33
10	29.50	13.00	55.93
15	30.80	13.20	57.14
20	30.50	13.10	57.05
25	30.00	12.00	60.00
30	29.50	11.70	60.34
35	29.00	11.60	60.00

ตารางที่ ข-6 ประสิทธิภาพในการกำจัดความชุ่นหลังลอยตะกอนที่อัตราส่วนวีอาร์ต่างๆ ที่ซีโอดีเท่ากับ 1,310 ความชุ่นเริ่มต้น เท่ากับ 11.6 เอ็นที尤 พีเอช เท่ากับ 4.1 เวลาในการไอโซเนชัน เท่ากับ 30 นาที

อัตราส่วน VR (%)	ความชุ่นหลัง ไอโซน (N.T.U.)	ความชุ่นหลังลอย ตะกอน (N.T.U.)	ประสิทธิภาพการกำจัดความชุ่น หลัง ลอยตะกอน (%)
10	12.80	12.70	0.78
15	13.10	12.90	1.53
20	12.70	12.50	1.57
25	12.80	12.60	1.56
30	13.00	12.90	0.77

ตารางที่ ข-7 ผลรวมประสีกิจภาพในการกำจัดความชื้นและประสีกิจภาพชุดอุปกรณ์ผลิตตะอนที่ถูกภาวะต่างๆที่สำคัญ เท่ากับ 1,960 นิลลิตรรัม/ลิตร
ความชื้นเริ่มต้น เท่ากับ 22 N.T.U. พื้นที่เริ่มต้น เท่ากับ 4.2

ลำดับที่	อัตราส่วนVR (%)	พื้นที่	เวลาโดยใช้เครื่อง (นาที)	ความชื้นหนัก โภชนาชั่น (N.T.U.)	ความชื้นหลังผลิตตะอน (N.T.U.)	ประสิทธิภาพกำจัดความชื้น (%)	ประสิทธิภาพชุดอุปกรณ์ ลดยัตนะกอน (%)
1	30	7	43	31.23	10.47	66.49	56.42
2	18	7	43	31.20	13.03	58.23	50.72
3	10	5	53	31.50	14.83	52.91	48.21
4	18	7	43	31.07	13.1	57.83	50.25
5	5	7	43	31.33	15.2	51.49	49.06
6	18	7	43	31.20	12.87	58.76	51.33
7	10	5	32	28.10	14.87	47.09	41.79
8	10	9	53	32.93	14.17	56.98	52.67
9	18	7	60	34.87	12.77	63.38	56.79
10	18	3	43	28.27	13.17	53.42	45.03
11	18	11	43	33.67	13.37	60.30	53.14
12	25	9	32	30.47	11.3	62.91	53.64
13	10	9	32	30.30	14.67	51.60	46.74
14	18	7	43	31.63	12.9	59.22	51.87
15	25	9	53	32.67	11.63	64.39	55.5
16	18	7	43	31.53	12.9	59.09	51.72
17	18	7	43	31.53	12.8	59.41	52.1
18	25	5	32	28.37	11.4	59.81	49.77
19	25	5	53	31.37	11.4	63.66	54.57
20	18	7	25	27.13	12.83	52.70	44.2

ตารางที่ ข-8 ผลของศักย์ซีด้าที่สภาวะต่างๆ ที่ซีโอดี เท่ากับ 1,960 มิลลิกรัม/ลิตร พีเอช
เริ่มต้นเท่ากับ 4.2 ศักย์ซีด้าเริ่มต้น เท่ากับ 7.8 มิลลิโวลล์

ลำดับที่	อัตราส่วน VR (%)	พีเอช	เวลาโอโซเนชัน (นาที)	ศักย์ซีด้าหลังปรับพีเอช (mV)	ศักย์ซีด้าหลัง โอโซเนชัน (mV)
1	30	7	43	5.4	2
2	18	7	43	5	2.4
3	10	5	53	7.1	3.3
4	18	7	43	5.4	2.1
5	5	7	43	5.1	2.2
6	18	7	43	5	2
7	10	5	32	6.9	5.3
8	10	9	53	-1	-6.7
9	18	7	60	5.1	-0.5
10	18	3	43	8.8	5.7
11	18	11	43	-2.6	-7.9
12	25	9	32	-1.2	-3.3
13	10	9	32	-1.4	-3.1
14	18	7	43	5.7	2.2
15	25	9	53	-1.2	-7
16	18	7	43	5.3	2.2
17	18	7	43	5.6	2.4
18	25	5	32	7.1	5.1
19	25	5	53	7	3.3
20	18	7	25	5.1	3.9

ประวัติผู้วิจัย

ชื่อ : นางสาวอรุณดา ขันตีกุล
ชื่อวิทยานิพนธ์ : การบرمัดน้ำเสียจากโรงงานหมึกพิมพ์โดยกระบวนการไอโซเนชันร่วมกับการถอยดะกอน ด้วยหลักการละลายของอากาศ
สาขาวิชา : วิศวกรรมเคมี

ประวัติ

สถานที่ติดต่อ ภาควิชาวิศวกรรมเคมี คณะวิศวกรรมศาสตร์ สถาบันเทคโนโลยีพระจอมเกล้าฯ พระนครเหนือ 1518 ถนนพิบูลสงคราม แขวงบางซื่อ เขตบางซื่อ จังหวัดกรุงเทพมหานคร 10800 โทรศัพท์ 0-2913-2500-24 ต่อ 8236, 8230 โทรสาร 0-2587-0024

ประวัติการศึกษา ปี พ.ศ. 2540-2544 สำเร็จการศึกษาปริญญาวิศวกรรมศาสตรบัณฑิต สาขาวิศวกรรมเคมีคณะวิศวกรรมศาสตร์ มหาวิทยาลัยมหิดล

ประวัติการฝึกงาน เมษายน - พฤษภาคม 2543 บริษัท ฝ่ากีน จำกัด (มหาชน)

ประวัติการทำงาน ตุลาคม 2543 - เมษายน 2546 บริษัท เมดิทอกป จำกัด ตำแหน่ง Product Specialist

ผลงานทางวิชาการ การประยุกต์ใช้ฟลัมโพลิเมอร์ในเครื่องแยกเปลี่ยนความร้อน